

В. А. РАФИКОВ

СОСТОЯНИЕ
АРАЛСКОГО МОРЯ И ПРИАРАЛЯ
ДО 2020 ГОДА



44

АКАДЕМИЯ НАУК РЕСПУБЛИКИ УЗБЕКИСТАН
ИНСТИТУТ СЕЙСМОЛОГИИ
ОТДЕЛ ГЕОГРАФИИ

Книга должна быть
возвращена не позже
указанного здесь срока
штраф

Количество предыдущих
выдач

В.А. РАФИКОВ

СОСТОЯНИЕ

АРАЛЬСКОГО МОРЯ И ПРИАРАЛЬЯ
ДО 2020 ГОДА

- 3915 -

O'ZBEKISTON RESPUBLIKASI OLIY TALIM,
FAN VA INNOVATSIALAR VAZRIGI
CHIRCHIQ DAVLAT PEDAGOGIKA UNIVERSITETI
AXBOROT RESURS MARKAZI

Ташкент, 2014.

ВВЕДЕНИЕ

Приаралье и Аральское море – классический регион по прогнозированию трансформации геосистем, научные принципы и методы прогнозирования аридных геосистем, природные и антропогенные факторы прогнозирования геосистем, прогнозы изменения геосистем опустынивающей части дельты Амулары и обсохшей части дна Аральского моря, прогноз изменений гидрологических и гидрохимических условий Аральского моря до 2020 г.

Научно обоснованы принципы, и методы прогнозирования изменений аридных геосистем опустынивающей части дельты Амулары и обсохшей части дна Аральского моря до 2020 г., выявлены и всесторонне обоснованы основные природные и антропогенные факторы прогнозирования региона. Прогнозирование трансформации природных комплексов дельты Амулары осуществляется на основе физико-географических микрорайонов, охватывающих группы геосистем одинаковых по степени водно-геохимического развития, а осущности моря по определенным изобатам.

Прогноз состояния гидрологического режима моря осуществлен на основе притока объема речных вод из русла Амулары (Акдары) в различных вариантах в Аральское (Большое) море.

Книга предназначена для географов, гидрологов, экологов и специалистов в области охраны окружающей среды, а также для студентов Вузов географического факультета.

Ответственный редактор - доктор технических наук, профессор М.А. Якубов

Рецензенты: доктор географических наук, профессор А.А. Абдулкасимов
доктор географических наук, А.К. Уразбаев

Утверждено Ученым советом Института сейсмологии АН РУЗ,
от 18 марта 2014 г., протокол №4

независимого демократического Узбекистана дает немало примеров того, как развитие производительных сил, освоение новых территорий происходили без ущерба для природной среды.

В основных документах экономического и социального развития Республики Узбекистан, утвержденных на сессиях Олий Мажлиса и Качестве одной из основных задач ускоренного развития производительных сил страны намечено усилить охрану природы и связи Президент Республики Узбекистан И.А.Каримов пишет: «... если принять во внимание относительно высокий прирост населения, ускоренные процессы урбанизации и отвода плодородных земель под развитие городов, жилищное строительство, создание новых предприятий, сети инженерных и транспортных коммуникаций, то в ближайшие годы, уже на рубеже ХХI века, проблема обеспеченности земельными ресурсами может еще больше обостриться» [1].

Последовательно используя и обогащая научную теорию, правительство Узбекистана и узбекский народ всегда проявляли в своей практической работе большую заботу об охране окружающей среды. В 1992-1993 гг. Кабинет Министров Республики Узбекистан принял ряд законов и постановлений об усилении охраны природы и улучшении использования природных ресурсов. Эти постановления являются хозяйственными органов по научных и проектных организаций, природной среды и ее ресурсов. В постановлении Кабинета Министров было подчеркнуто: «Улучшать охрану природы, усилить работу по сохранности сельскохозяйственных угодий, улучшать мелиоративное состояние орошаемых земель, усилить управление водозащитных зон на водохранилищах и других водоемах, реках, магистральных каналах и коллекторах, а также прочих источниках воды в Республике Узбекистан».

В связи с этим методологической основой решения проблемы сохранения Аральского моря и поэтапного восстановления природного комплекса Республики должны стать научные разработки и принципиальная концепция, выдвинутые в работах Президента Республики Узбекистан И.А.Каримова для переходного периода к рыночной экономике, и его положения по Аравальному кризису [2].

В настоящее время естественные ландшафты аридной зоны Узбекистана качественно преобразуются в культурные, достигнуто благодаря учету закономерностей развития природы при ее эксплуатации, прогнозированию изменения гео- и экосистем взаимодействия общества и природы достигается здесь именно в комплексного подхода к решению проблем охраны окружающей среды.

Однако, несмотря на это, реализация в 60-80 гг. крупных инженерно-технических и мелиоративных мероприятий в широких масштабах, паряду с большими позитивными результатами, приводят к новым и непредвиденным спортивам.

Макром примером «обратной реакции» природной среды на антропогенное вмешательство служит устойчивое снижение уровня Аравийского моря и интенсивное опустынивание дельты Амудары, находящейся непосредственно в результате интенсивного использования водных ресурсов в интересах ирригации и энергетики. Но, прежде всего, связано с трудностями достоверного прогноза интенсивности развития негативных явлений в результате антропогенного использования естественных ресурсов на сравнительно коротком времени. Поэтому представлений о научной ценности противоречий, возникающих между задачей необходимости привлечения и интенсивным использованием ее ресурсов.

На территории Аравийского моря и Прааралья происходят процессы, не имеющие аналогов в мировой практике, что и вызвало интерес автора к исследованием в этом регионе.

1. ПРОГНОЗИРОВАНИЕ ИЗМЕНЕНИЙ АРИДНЫХ ГЕОСИСТЕМ В УСЛОВИЯХ ПРОДОЛЖАЮЩЕЙСЯ ЭКОЛОГИЧЕСКОЙ ДЕСТАБИЛИЗАЦИИ В ПРИАРДЬЕ

В условиях интенсивного опустынивания целинной части дельты, равнины Приаралья определенное значение имеет прогноз их дальнейшего развития по мере падения зеркала Аравийского моря. Согласно В.Б.Сочаве (1978), географический прогноз мы понимаем как выработку представлений о природных географических системах будущего, их структуре, функционировании и об их динамических явлениях. Поэтому исследователь стремится дать наиболее достоверный и обоснованный прогноз изменений природных комплексов на предстоящее время, исходя из анализа и синтеза их структуры и функциональности природных процессов. В этом отношении нельзя не согласиться с И.П.Герасимовым (1966), что важнейшей задачей нынешних исследований должен быть обоснованный прогноз предстоящих изменений в природной среде. Прогноз, в связи с интенсивным развитием нежелательных природных явлений и процессов, в известной форме позволяет подготовиться к будущему.

1.1. Научное и прикладное значение прогноза изменения геосистем Приаралья и гидрологического состояния Аравийского моря

Устойчивое прогрессирующее изменение природной среды приводит в связи со снижением зеркала Арада диктует разработать

прогноз трансформации геосистем региона до определенного времени допустим, до 2015 г., или 2020 г. и т.д. Конечно, всех интересует конечный результат высыхания моря и в соответствии с этим состоящиеся природой среды Приаралья. Но это обстоятельство, возможно, будет происходить в отдаленном будущем, так как западная глубокая часть акватории моря вследствие относительной углубленности (минус 16 м абсолют.), очевидно, дольше еще будет сохраняться. В то время восточная часть Большого моря из-за мелководья будет высыхать относительно быстрее. Однако до полного высыхания восточной части Большого моря геосистемы осушки и акваториальные комплексы, возможно, претерпят ряд трансформаций. Их можно считать отдельными этапами изменения осушки моря.

В прикладном отношении особое значение имеет предвидение этих этапов изменений геосистем осушки моря. К тому же те природные явления и процессы, которые будут происходить на осушке моря, окажут непосредственное влияние на состояние природных комплексов дельтовых равнин Приаралья. В связи с этим, рассматривая осушку моря и Приаралье как парагенетические геосистемы, при прогнозировании следует иметь в виду синхронность в пространстве и во времени многих ожидаемых природных процессов.

Природа, бесценно, общечастично, так как, не имея глубоко научно-обоснованных материалов о будущем состоянии геосистем региона, нельзя устойчиво управлять негативными явлениями и качественно преобразовать природу в целесообразном направлении. Это же обстоятельство диктуется с другой стороны экологической дестабилизированностью региона, где ситуация природной среды из года в год ухудшается, продуктивность биологических, почвенных и других ресурсов снижается в ускоренном темпе, медико-гигиенические условия жизни населения остаются в недовольствительном состоянии. Ускоренное развитие опустынивания в регионе и выпекающиеся нестабильные природно-антропогенные процессы в широких масштабах обуславливают необходимость разработки научных прогнозов в различных вариантах.

При этом следует разработать прогноз изменения геосистем в условиях нормального устойчивого обновления экосистем департаментом спорадического обновления и не обновления ее западной и центральной частей, которые подвергаются интенсивному опустыниванию. Иными словами, чего можно ожидать в условиях полного регулирования развития процессов опустынивания, при частичном и практическом не применении соответствующих мероприятий. Этим можно в достаточной степени объяснить, что же нас ожидает в регионе при максимальном управлении динамики геосистем, при частичном применении или не применении вообще практических мероприятий. Именно в этом заключаются прогнозные разработки по общему

Практическое значение прогноза изменения геосистем региона определяется в подготовке соответствующих комплексов мероприятий для своевременного преодоления негативных природно-антропогенных явлений и процессов. Для того чтобы не наблюдалось последующих отрицательных последствий динамики геосистем, уже сейчас необходимо принимать соответствующие меры в оптимальных масштабах. Однако на основе внедренных практических мероприятий можно лишь полностью пресечь деятельность динамичных принципов процессов, порою некоторые из них полностью не улавливаются, с другой стороны, из-за неполной достоверности прогнозов разработок некоторые явления и процессы все-таки окажут пренебрежимое воздействие на окружающую среду в тех или иных областях.

1.2. Приаралье и Аральское море как классическое прогнозированию трансформации геосистем

Потенциальное изменение геосистем в Приаралье, в связи с антропогенным опустыниванием и высыханием моря в результате географического снижения зеркала Арала, ускоряет динамику гидро-географических процессов и явлений, а последнее интенсифицирует развитие природных комплексов. Здесь динамика климата и природных процессов наблюдается с большей активностью, чем в других регионах Центральной Азии. В этом смысле Приаралье и Аральское море - единственный регион, где

развитие геосистем происходит с большой активностью, причем в небольшом отрезке времени (1-3 месяца, 1-2 года) можно наблюдать зарождение и становление, а иногда и развитие в первом этапе морфологических единиц ландшафта, а также различных природных процессов.

В основе активного изменения геосистем здесь лежит высокая динамичность природных процессов (солненакопление, рассоление, дефляция, аккумуляция веществ, пойлем и снижение уровня грунтовых вод и т.д.) и в связи с этим трансформация режима грунтовых вод, смена почвенно-растительного покрова, образования золовых форм рельефа. Установлено, что чем выше степень активизации природных процессов, тем интенсивнее дифференциация осушки моря на морфологических частях ландшафта.

Из ранее проведенных научных исследований ясно, что в пределах осушки моря физико-географические процессы и явления происходят в определенной закономерности от коренного берега до самого урса воды волюма. Это обстоятельство способствует предсказанию того, что же можно ожидать через определенное время в структурно-динамическом состоянии геосистем. Иными словами, тенденции изменения геосистем обуславливают последовательную смешу природных комплексов строго в одном направлении, допустим, из гидроморфного ряда в автоморфный, т.е. из субаквальных геосистем в эловиальный (от болотно-солончаковых в золовые). Это же свойство важно при прогнозировании ландшафтов и их морфологических частей за промежутки времени.

Структурно-динамическое состояние геосистем дельтой Амудары из-за их неравномерного обводнения находится в различной стадии изменения. На тех участках (массивах), где обводнение экосистем почти не наблюдается, трансформации природных комплексов общеизвестна: в них происходит становление эловиальных свойств, характерных для зональных пустынных пандаифтов. В межрусовых понижениях, в которых наблюдается регулярное обводнение в различной степени, сохраняются в целом гидроморфные, а по периферии – полигидроморфные условия. Этим обусловлено развитие здесь преимущественно субаквальных и супераквальных геосистем.

Разнообразное и сложное структурно-динамическое состояние геосистем и их различная стадия развития обуславливают не только мозаичность их современного состояния, но и предопределают различный характер состояний гекомплексов к прогнозируемому времени, т.е. в будущем (допустим к 2015 г.) мы не должны ожидать однаковых результатов повсеместно. Следовательно, в преобладающей части территории следует ожидать разнокачественные геосистемы. В этом отношении необходимо иметь в виду условия рельефа и литологический состав грунтов. От свойства этих факторов зависит

функционирование «деятельности» остальных компонентов, особенно почвенных.

В пасточных понижениях западной и центральной частей дельты Амудары при прекращении обводнения следует ожидать поэтапное измениение геосистем.

Причины снижения уровня грунтовых вод не снизится ниже 5-7 м. Здесь будет функционировать почти все виды трансформации геосистем, от озерного до озимого включительно, в течение определенного времени. Источник изменения и функционирования тех или иных видов геосистем комплексов зависит от глубины затопления (определенные гидротехнические и степени и типов минерализации грунтовых вод). При этом на первом этапе снижение уровня грунтовых вод будет способствовать формированию и развитию отдельного спектра (ряда) геосистем, где различия между ними не очень конкретная и не резкая, а похожая друг на друга. Тогда как постепенное снижение уровня грунтовых вод позволит в будущем зарождению и становлению самостоятельных и резко отличающихся между собой геосистем от субаквальных до супераквальных грунтов.

В межречевых понижениях дельты Амудары вследствие функционирования исходящих токов влаги геосистемы стремятся к центральному эоловиальным свойства, следовательно, преобладание центрального рассоление в почвогрунтах оказывается на ускорении эоловии (засоления) на значительной площади преимущественно ветровыми (ветро) почв (пустыни-песчаных, такирных, остаточно-солончаковых), которые способствуют широкому распространению вертикоптических, галофитных и псаммофитных группировок. Естественно, что в автоморфных условиях золовые процессы становятся доминантами. Отсюда можно сделать важный вывод, что при функционировании эоловиально-глинистых грунтов следует ожидать преобладания суглинисто-глинистых динамических процессов при формировании типично-эоловых, песчаных и супесчаных золовых геосистем.

Геосистемы дельты Амудары в структурно-динамическом отношении имеют самые различные свойства: в восточной половине они с 60 % развиваются в автоморфной тенденции, здесь ландшафты уже проявлены типичные эоловиальные черты. Поэтому можно смело ожидать, что через определенное время в условиях исходящих токов вновь геосистемы останьных частей дельты также приобретают эоловиальные свойства. То же можно сказать о геосистемах осушки при гидроморфные комплексы со временем перейдут в автоморфные, начиная либо золовые, либо такирные в зависимости от состава почвогрунтов. Но это касается тех геосистем, которые подвергаются функционированию в течение 1961-2010 гг., в зоне маршей должны функционировать очень сильнозасоленные солончаки, которые могут не выживать даже однолетними солянками.

На вышеизложенном ясно, что дельтовая равнина Амудары и обширная часть дельты моря – это классические объекты аридной зоны по

прогнозированию трансформации геосистем. Интенсивный характер изменения природных комплексов диктует обоснование такого прогноза, который в течение определенного времени мог бы учитывать все особенности и детали их трансформации, особенно качественные пороговые явления и процессы, сказывающиеся на динамике (развитии) территории.

1.3. Научные принципы и методы прогнозирования изменения природных геосистем Приаралья до 2020 года

Главный принцип прогнозирования изменения геосистем историко-динамический, который основывается на исследовании и представление об истории геосистем региона даёт основание уверенно судить о дальнейших путях их естественной эволюции. К.К.Марков и соавторами (1973) пишет, что, как бы человечество ни влияло на развитие природы, в ближайшем будущем ее изменения будут определяться естественным ходом развития ее самой. Изучение тенденций такого развития в недавнем геологическом прошлом (плейстоцене и особенно голоцене) позволит подвести историческую основу для научного долгосрочного географического прогноза. Такую же мысль придерживаются Т.В.Звонкова (1975), Ф.Я.Артыкова, Г.Н. Трофимов, (2005) которые отмечают, что анализ прошлого позволяет установить устойчивые тенденции развития природной среды.

Нами на основе анализа эволюции палеоландшафтов дельтовых равнин Приаралья установлено, что им свойственны три этапа развития со временем их становления. В настоящее время в третьем этапе развития находятся ландшафты Акчадаринской, Жанадаринской дельты и восточная часть дельты Амулары. В связи с прекращением обводнения дельтовых равнин Амудары и Сырдарьи природные комплексы переходят в этап эоловального развития. Отсюда следует, что прогноз геосистем в историко-динамическом принципе наиболее объективный и он, в зависимости от закономерности развития природной среды в прошлом, способен дать достоверный прогноз будущих геосистем на определенное время.

В прогнозировании ландшафтов, как это справедливо отмечает В.А.Николаев, познание лишь естественных тенденций развития геосистем не обеспечивает их достоверного прогнозирования. Но естьенную эволюцию и динамику природных комплексов, так или иначе, накладываются процессы, обусловленные прямыми или косвенными антропогенными воздействиями. Они могут стимулировать или затормаживать их, вызывать к жизни новые, которые существенно изменят ландшафты в будущем. Следовательно, необходимо принять одним из важнейших – положение о взаимодействии природы и общественного производства. Прогноз должен суммировать естественные и антропогенные составляющие, динамику и развитие геосистем.

В Узбекии Приаралья природные комплексы, отличающиеся яркой динамичностью и имеющие различные тенденции изменения, могут меняться, глядя образом, антропогенным опустыниванием. Следовательно, влияние антропогенного фактора составляет в сумме трансформации геосистем доминирующую роль, что должно учитываться в первую очередь при прогнозировании их изменения к настоящим лагам.

1.1.Соков (1978) подчеркивал, что прогнозы строятся на основе

известных он говорит о необходимости использования в прогнозе самых прогностических методов исследования. Тем шире, полнее, комплексней прогноз, тем он более точен. Согласно Т.В. Звонковой (1975), прогноз как метод – прошлого, настоящего и будущего – основан на трех видах методов: исторических, то есть методах прошлого (анализа природной среды), диагностических – методах – настоящего (анализа прошлого-спектральных связей) и собственно прогностических методах будущего (экстраполяции устойчивых прогностических процессов прошлого и настоящего).

Для регионального прогноза важно определить устойчивые тенденции развития как региона в целом, так и геоструктурных видов ландшафтов. Порядок задачи решается преимущественно классическими (литориническими) методами, вторая – ландшафтными (природопонимный анализ современных ландшафтов, пространственно-временной и др.).

Линии развития ландшафтов территории за исторический период и ее гидротехническое состояние после регулирования гидротехники несут показывает, что в целом характерна тенденция общего падения уровня. Уменьшение площади субаквальных геосистем и усиление рилювиации территории супераквальных и эловиальных, связанное с уменьшением объема стока Амулары и Сырдарьи за счет развития притоков, снижением естественной волности рек и т.д. На фоне этой тенденции развития геосистем региона важно выявление дельтовых интенсивно развивающихся ландшафтов, которые в структуро-динамическом отношении становятся господствующими. К ним, в дельтах Амулары и Сырдарьи, относятся ячеистобугристые пески с аргирородными белосаксаульниками и джузунниками, юлгуновые терпандрии с черным саксаулом на солончаковых тахырных щебнях и юговенных солончаках и др., которые будут развиваться в ближайшие десятилетия при снижении уровня грунтовых вод ниже 8-10 м и более.

К настоящему времени, благодаря глубокой теоретической разработке ряда исследователей накопилось значительное количество методов прогнозирования геосистем и обогащена его методологическая база. На результате глубокого изучения структурно-динамического

состояния геосистем и их развития появился ряд научно обоснованных прогностических работ.

При прогнозировании изменения геосистем в результате опустынивания дельтовых равнин Южного Приаралья нами были использованы методы экстраполяции, аналогий, ландшафтно-индикационный, дистационный, картографический, математическое моделирование.

Дельта Амудары во многом отношении сходна с дельтой Аксакары, Жанаадары и Присарыкамыльской дельтой, которая сформировалась значительно раньше. На современной стадии развития геосистемы они находятся на одной ступени выше по сравнению с современными дельтами Сырдарьи и Амудары. Иными словами, они могут быть в определенной степени аналогами при прогнозировании геосистем современных аллювиальных равнин региона в условиях автоморфной тенденции развития, либо субзарельные дельтовые геосистемы уже давно пережили те стадии эволюции, которые наблюдаются сейчас в бывших живых частях современных дельт.

Метод экстраполяции позволяет перенести выявленные тенденции развития как во времени – от прошлого и настоящего к будущему, так и пространстве – от районов, где определенное событие произошло, к районам, где его следует ожидать. На повышенных участках рельефа, особенно на склонах прирусловых валов, в первой озерно-пойменного этапа развития ландшафтов современной дельты Амудары путем «фитильного» соленакопления происходит аккумуляция солей в зоне аэрации почв. В настоящее время эти участки превращены в геосистемы остаточных пухлых солончаков в сочетании с солончаковатыми тахирными почвами под соланиковыми карабарачниками в комплексе с караганниками. На основании этого можно уверенно предсказать развитие других солончаковых геосистем выпотного водного режима при условии снижения уровня грунтовых вод ниже 8–10 м.

На сильноопустыненных древесно-кустарниковых тугайных геосистемах в результате разведения прирусловой и русловой фации в настоящее время наблюдается становление золотых комплексов преимущественно отоленных барханов и буристых песков в комплексе с дефлиционными котловинами. Подобные же геосистемы на локальных участках формируются на днище русла Амудары путем разведения русловой фации. Эти предвестники будущих аллювиальных ландшафтов в дельтовой равнине Амудары свидетельствуют о начале рас пространения пустынных пестичных геосистем.

Таким образом, на основании экстраполяции тенденции развития отдельных геосистем среди прошлых и настоящих геокомплексов можно прогнозировать возможные ландшафты, которые будут доминировать в будущем.

Ландшафтно-индикационный метод в последнее время находит универсальное применение для разработки прогнозов природных

процессов. С.В. Викторов (1970) различает три типа ландшафтной индикации: 1) поганную индикацию (предсказание процесса), стадийно-прогностическую индикацию (определение процесса и его стадий в ходе их протекания) и ретроспективную (обнаружение течения какого-либо процесса в прошлом). Первый тип относится непосредственно к предсказанию будущего состояния геосистем.

М.Г. Илюшина (1970) среди случаев прогнозной индикации различает 1) поганную прогнозную индикацию и 2) ретроспективно-прогностическую индикацию. В первом случае она считает, что имеем дело с прогнозом в наиболее чистой его форме, т.е. используя определенную геосистему, мы прогнозируем ее дальнейшее течение. Прогноз здесь является в ретроспективном рассмотрении прошедших фаз процесса, откуда и получает свое название этот тип прогнозной индикации. М.Г. Илюшина, на основе этой методики довольно успешно обосновала будущий облик отдельных частей Жанаадаринской равнины после ее орошения и обводнения, которые еще не были пройдены при прогнозировании дельтовых равнин Аксакаринской дельты и некоторых участков Жанаадаринской дельты.

Ландшафтно-индикационный метод часто комплексируется с логическим анализом современных тенденций развития, который нами был широко использован при прогнозировании геосистем современных дельт Приаралья. Логический анализ современных тенденций развития геосистем в связи с определением является весьма продуктивным методом предсказания будущих геосистем дельтовых равнин. Переход геосистем прирусловых равнин, сложенных русловой фацией с древесно-кустарниковыми видами, из автоморфной из-за снижения уровня грунтовых вод и превращения обводнения, был выявлен уже в 1974–1976 гг. на основе ретроспективного анализа тенденций их развития. Этот прогноз в настоящее время достоверно оправдывается, так как в элементах автоморфной уже появились признаки автоморфных показателей. На прирусловых участках лугово-такирные почвы эволюционируют в такирные, почвенные солончаки – в остаточные или такирные в южных и пустынными песчаными почвами, и соответственно, вытекает растительный покров, наблюдается доминирование кипарисовиков, фрагифитов, интенсифицируются золевые процессы, определяющие становлению пестичных комплексов.

Нас более широкое применение получает дистационный метод определения изменений природной среды (Харин и др., 1983; Шишников, 1984). С его помощью можно изучить современную динамику

геосистем путем сравнения различных лет космоснимков и выявить определенные тенденции их развития. Нами были изучены и проанализированы сравнения космоснимков дельтовых равнин Южного Приаралья за 1972-1975; 1979-1981 и 1990-2012 гг., в среднем масштабе обсохшей части дна моря формируется новая дельта, которая интенсивно растет из года в год в субмеридиональном направлении по меру усыхания Аракса. На основании этого можно точно определить параметры и морфологическую структуру геосистем неодельты реки О.Н.Ефремова и В.И.Кравцова (1964) составили карту состояния дельты Амуударьи на основе дешифрирования космоснимков за 1975 г. Сравнение этой карты с топографической, разработанной в 1948 г. показало ясную картину динамики развития геосистем за 27 лет. С другой стороны, на основании этого можно выявить некоторые четко выраженные тенденции развития ландшафтов, таких как эрозионные, остаточно-солончаковые, такирные и др., которые в будущем станут господствующими.

В прогнозировании ландшафтов, кроме этого, был использован

картографический метод, основанный на сравнении картографических материалов разных лет и выявлении определенных тенденций развития геосистем, способствующих прогнозированию их к определенной лице.

О значении и кондиционности картографического метода в прогнозировании геосистем отмечали С.В.Викторов (1970); Т.Н.Звонкова (1972); С.Е.Сальников и др. (1975); А.М.Берлинт (1976); Н.И.Михайлов и др. (1978); А.Г.Исащенко (1980); В.Б.Сочава (1978); Л.И.Иващенко и др. (1980); А.А.Радиков (1994) и др.

В.Б.Сочава (1978) пишет: «Картографический метод, вообще существенный в учении о геосистемах, при разработке географического прогноза играет большую роль, особенно, если он сочетается с моделированием. Модель будущего геосистем, будущего накладывать на карту, чтобы приблизиться к выявлению прогноза, надо обеспечивать серией природных карт, в совокупности характеризующих геохоры покомпонентные и одновременно как целого».

В.Б.Сочава большое значение придавала корреляционным картам, отображающим пространственное размещение зависимостей, выраженных количественно, между различными географическими явлениями. Корреляционные карты – своего рода модели, позволяющие судить о том, как складываются ландшафтно-экологические связи в пространстве и как скажется изменение определенного фактора в компонентах, составляющих геосистему. Мнение В.Б.Сочавы о применении картографического метода в прогнозировании геосистем заслуживает пристального внимания, ибо именно картографические методы являются фундаментом или основанием разработки прогностических сообщений.

В этом отношении А.М.Берлинт (1976) дополняет, что карты дают помощь в накоплении исходной информации, ее обработке и проектировании и кончи составлением итоговых карт. Нанесение линий контуров на карту рассматривается как один из способов полной оценки эффективности картографического метода. Показано, что использование карт для получения знаний о явлении, происходящем современному исследованию, можно назвать «прогнозированием методом прогнозирования». При этом необходимо отметить, что это лишь один из методов, который следует применять в сочетании с другими географическими методами, чтобы в конечном итоге получить один из известных общенаучных методов – математическое моделирование, экспериментальное моделирование, численное моделирование, значение которого определяется. О важности применения данного метода в географии прошлое писали В.А.Николаев (1979), А.Г.Исащенко (1982) и др. А.Г.Исащенко отмечает, что «математическое моделирование в прогнозировании таких явлений, как изменение структуры геосистем, до сих пор не получило широкого распространения. Поэтому этот метод применен лишь при прогнозировании будущих явлений и, притом, требует весьма точных исходных данных».

1.4. Принципы факторов прогнозирования изменения геосистем

Приаралья

Любоверный прогноз изменения геосистем в значительной степени зависит от характера и взаимодействия определенных факторов, оказывающих влияние на их динамику. Наиболее интересный прогноз можно ожидать при условии учета влияния всех факторов на состояние объекта – структурно-динамическое состояние геосистем. Факторы могут быть природного и антропогенного происхождения, часто они воздействуют совместно. Выявление основных влияний этих факторов, особенно антропогенных, имеет принципиальное значение в прогнозировании состояния того или иного географического объекта. Влияние факторов в пространстве и во времени может подразделяться по отдельности и в комплексе. Поэтому

комплексного характера будет способствовать повышению достоверности предсказуемых явлений и процессов.

Главный приоритет в прогнозировании изменения природной среды принадлежит литолого-геоморфологическим факторам. Свойства литологического состава грунтов и их рельеф определяют основные тенденции трансформации геосистем, изменения распределенности поверхности, становления и развития ряда физико-географических процессов и явлений, и т.д. Эти природные факторы были рассмотрены в разработках А.Л.Рафикова, Г.Ф. Текухина, (1981); А.А.Рафикова (1982, 1990, 1994) и др., здесь основное внимание обращается на их более конкретные стороны или аспекты.

1.4.1. Дренажное влияние моря

Обсахание Аральского моря приводит к формированию региональной области разгрузки грунтовых вод всей территории Приаралья. При этом установлено, что по мере удаления от дренажного влияния Арала увеличиваются до определенной степени. Однако при этом необходимо учитывать ряд обстоятельств, по-разному сказывающихся на масштабах и интенсивности дренажного влияния котловины обсахающей части моря. В настоящее время, когда зерновой моря снизился почти на 30 м, радиус влияния линии величины в условиях равнинного рельефа достаточно велик. По данным В.С.Ковалева (1977), уровень Аральского моря влияет на грунтовые воды на расстоянии до 200 км от береговой линии. Конечно, это было характерно для периода до 60-х г. В настоящее время, когда уровень моря удалился от берегового берега более чем на 200 км в южной части осушки моря, радиус влияния на режим грунтовых вод, соответственно, увеличивается. Здесь следует учитывать еще условия рельефа и состав грунтов зоны влияния. Во всяком случае, при всех условиях дренажное влияние котловины становится более ощущимым. Раньше, когда уровень моря устойчиво находился на отметке свыше 53 м абсолютной высоты, наблюдалось своеобразное давление водных масс на сток протоков грунтовых вод, направленных к котловине Арала. Особенно типично происходило это в дельтовых равнинах Приаралья из-за незначительной расчлененности рельефа, в связи, с чем современные дельты Амударьи и Сырдарьи стали разинутыми гидроморфные природные комплексы в сочетании с озерно-болотными. В насторожее время в связи с исчезновением этого воздействия, бывшие промысловые гидроморфные геосистемы сменились на солончаковые гидроморфные и полугидроморфные.

Дренажное влияние котловины моря, главным образом, зависит от литологического состава донных отложений. Состав и свойства (водно-физические, химические) морских отложений обусловлены режимом грунтовых вод, особенно степенью отката. Согласно И.В.Рубанову

(1981), донные отложения сложены практически всеми размерностями (песчано-гравийная - от песков до глин. Пески представляют собой различные цвета: буроватые и дельтовые отложения, алевриты в пойменной зоне и береговые, глины и мергели собственно морские (литогенитические). Поверхностный слой донных осадков пойменной зоны в центральной части Большого моря и западной окраинной части сложен карбонатными глинами. Зоны развития грунтовой азотистой зоны вдоль восточного побережья моря, где ветровой и волновой режимами вдоль восточного побережья моря, где ветровой и волновой полосы достигает 80 км (на юго-востоке). Вокруг грунтовых полей пойменной зоны вдоль побережья моря, где ветровой и волновой полосы песков, развиты

нижней части осушки моря верхние слои (0-3 м) сложены песками и алевритами, а нижний слой (3-4 м) – глинистыми пойменными глинами. В связи с этим дренажное влияние на южной окраине Арала не преобладания песчано-алевритовых толщ в пойменной зоне, а также восточной части общего для притока подземного грунтовой платы должны быть более интенсивными. Однако в зоне южного южного острова Лазарева начинают преобладать толщи песчано-глинистых слоев, что будет сказываться на режиме подземных оттоков грунтовых потоков, возможно, резко будет изменяться верхний ток влаги.

1.4.2. Установление снижение уровня грунтовых вод и повышение степени их минерализации

Большое влияние в прогнозировании изменений геосистем оказывает несомненно состояния солевого режима почв, а через них – земельного земли развития растительности. Функциональная способность грунтовых вод обуславливается литолого-геоморфологическими условиями территории.

Нижняя Приаралье и обсахающей части дна моря уровень грунтовых вод имеет главным образом тенденцию постепенного понижения под воздействием суммарного испарения. Но различия в гидроморфологическом строении дельтовых равнин и осушки Каспийского моря определяют формирование различной степени снижения уровня грунтовой платы. При этом некоторые бессточные понижения грунтовых вод определяются, следуя учитывать их влияние на режим грунтовых вод, окружающих территории, а также формирование потока подземного потока грунтовой платы в районе озера Судочье и озера Тузгуй в годы относительного многоводья. Этот поток в годы обильного дна заливов Аджибай и Муйнакского залива и к концу 90-х годов приводит к подтоплению и затоплению (в местах их

Междотловинные повышенные части дельт и полосы эоловых песков вдоль коренного берега осушки моря в настоящее время имеют устойчивую тенденцию снижения уровня грунтовых вод, что обусловлено геоморфологическими условиями и составом грунтов, сказывающимися на горизонтальном оттоке потоков, а также незначительной степенью обводнения экосистем. Снижение уровня грунтовых вод также оказывается на дренирующем влиянии периферийных межрассловых понижений дельт и солончаковой равнины осушки моря, постепенно снижающейся к северу от песчаной полосы эоловых песков.

Основными ареалами питания грунтовых вод опустынивающейся части дельты Амудары считаются орошаемые земли, расположенные в южной половине, и небольшие участки освоенных земель (рисовые поля, кормовые угодья и т.д.) среди целинных массивов. Двигаясь в северном направлении (местами на северо-запад и северо-восток), потоки грунтовых вод освоенной полосы еще в контактной зоне с целинными землями находятся относительно близко (2-3 и 3-5 м) к поверхности субстрата, а дальше (на расстояние 1-2 км) сильно углубляются. Уровень грунтовых вод заметно приближается только к почвообразовательному процессу.

Степень минерализации и химический состав грунтовых вод обуславливаются условиями оттока, солевым режимом почвогрунтов и др. факторами. В Приаралье приток грунтовых вод более интенсивный, чем их отток на периферию или в области разгрузки. В целом практическая бессточность территории способствует расходу объема грунтовых вод на испарение, лишь некоторая часть их по отдельным внутригрунтовым песчано-алевритовым коридорам (бывшие русла Амудары) достигает осушки моря. В этих необычно сложных гидрологических условиях степень минерализации грунтовых вод всюду имеет высокие показатели. Расход основной части грунтовой влаги на испарение позволяет распространению преимущественно средне- и сильносоленных вод, в отдельных понижениях даже рассолов.

Высокая минерализация грунтовых вод, обусловленная, прежде всего, суммарным испарением в условиях весьма слабого горизонтального оттока и местами практической бессточности, характерна для обсохшей части дна моря. Имеет в целом закономерность постепенного увеличения степени солености в направлении уреза воды (до марлевой зоны). В том же направлении увеличивается степень засоленности почвогрунтов и изменяется тип засоления от хлоридно-сульфатного до сульфатно-хлоридного (в некоторых местах хлоридно-натриевого).

В обосновании прогноза изменения природных комплексов в пределах дельты Амудары и зоны осушки моря, так как все зависит от характера лигогенных факторов. В одних случаях (солончаковые

(норморфные) можно ожидать устойчиво засоляющиеся геосистемы и на постоянную близкого залегания уровня сильноминерализованных грунтовых вод, в других – рассолюющиеся природные комплексы в связи с улублением зеркала грунтовой влаги ниже 5-7 м, вследствие дренажирования воздействия местных лигогенных факторов на постепенное снижение уровня грунтовых вод.

1.4.3. Развитие дефляционных и галогеохимических процессов

В условиях экстраординарного климата Аральского региона основными факторами, сказывающимися на трансформацию природных комплексов, являются эоловые и галогеохимические процессы. Роль этих процессов в динамике геосистем настолько велика, что почти во всех случаях требуется учитывать их влияние на состояние, функционирование и развитие не только современных территориальных комплексов, но и их будущих вариантов. Формируемых, может быть, через 8-10 лет и т.д. Этим обусловливается учет дефляционных и галогеохимических процессов в прогнозировании изменения природной среды.

Галогеохимические процессы – засоление и рассоление – типичны для всей территории, активность зависит от свойства и условий рельефа и литологического состава зоны азрации. Солненакопление весьма интенсивно наблюдается в градации уровня грунтовых вод 0-3 м (90% влаги расходуется на испарение), интенсивно – в интервале 0-5 м, в интервале 5-7 м наблюдается внутриводное испарение, также склоняющееся на засоление почв в зоне азрации. Ниже 7 м от поверхности субстрата испарение практически прекращается, засоление сменяется рассолением. Иными словами, выпотный режим сменяется суходоловым.

В условиях экстраординарного климата смыв солей с профилем почв в исходном направлении наблюдается в незначительной скорости. Во всех случаях наблюдается вымыв солей с поверхности почвы до незначительной глубины (до 15-20 см), так как высокая плотность суглинисто-глинистых солончаковых почв не позволяет просачиваться штамфовыми осадкам глубже. Поэтому естественное рассоление остаточных солончаков происходит здесь сравнительно долго. Солончаки остаточного обсохшего дна моря и дельты Амудары еще долго будут чрезвычайно сильно засоленными. Освоение в ближайшие 10-20 лет нецелеобразно.

Процесс засоления есть результат концентрации солей в почвах из минерализованных грунтовых вод в процессе их расхода на испарение. Но все это зависит от конкретных литолого-геоморфологических условий местности и при прогнозировании изменения солевого режима почв следует учитывать особенности литологического состава и устройства поверхности территории. При этом режим солненакопления необходимо одновременно анализировать с уровненным режимом

грунтовых волн, т.е. оба эти фактора должны быть рассмотрены в один плоскости одновременно.

Золовые процессы, особенно дефляция, считаются одними из ведущих факторов в трансформации геосистем Приаралья и озера моря. Для широкого развития золового рельефообразования созданы самые благоприятные условия, а дальнейшее опустынивание территории еще больше способствует интенсификации процессов, т.е. еще больше расширяется поле деятельности водных гидроморфных почв в полигидроморфные, а последние в развитии, но и усиливают степень проявления выдувания субстрата. В этом отношении обсахакопая часть дна моря является потенциальной запасом развития ветровой деятельности, ибо через отдаленное время полностью высокнет акватогория моря (кроме его западной, причиной которой являются каким-нибудь практическим образом, при усадении моря расчленяется ветровая деятельность, ибо через определенное время поднимается огромное количество соли, пыли, мелкозема и т.д.

Об ускоренном развитии золовых процессов и формирования аридного рельефообразования в свое время отмечали Т.Г. Григорьев (1990), М.Е. Бельгебаев (1991) и другие. Ими были обоснованы закономерности развития золовых процессов по мере удаления от коренного берега в направлении современного уреза морской волны и особенностей и свойства аридного типа формирования рельефа.

Золовые процессы наиболее интенсивно развиты в зоне песчаной полосы вдоль коренного берега шириной примерно от 1 (западная часть) до 10-12 км (на юге), в восточной части осушки эта полоса расширяется до 60 км и более. За этой полосой тянется остаточное так называемые солончаковые преимущественно песчано-алевритовые равнины, где дефляция субстрата начинается только по отдельным локальным участкам, что связано с плотностью грунта, наличием растительного покрова, увлажненностью почвогрунтов (так как наличие большого количества солей – благоприятное условие для сохранения определенного объема естественной влаги). Но, несмотря на это, соли поверхности всетаки поддаются выдуванию. При этом дефляция подвергаются засоленные пески или пылеватые пухлые солончаки.

Типичные луговые солончаки и маревые солончаковые горизонты подвергаются интенсивному высыханию верхних

1.4.4. Эрозионно-суффозионное явление

Несмотря на общую равнинность дельты Амударьи, развитие эрозионных процессов присуще для ряда локальных участков. К ним относятся склоны и прибрежные полосы протоков и бессрочников

районов, имеющие склоны русла Акдары и других протоков шириной 100-200 м, расположенные в долинах, параллельно ширине которых, в виде линий, способствуют смыву определенной толпиной почвы. На это, тогда (весной) кратковременные дожди, опускающие в долину линий, способствуют смыву определенной толпиной почвы. Глубина расщепления сухих сетей на склонах шириной Кукантау, Муйнактау, Кызылжар, Иткиргау и др., имеет волнистый – от 1 до 5-7 м и более.

В это же время склоны русла Акдары и других протоков шириной 100-200 м, расположенные в долинах, способствуют смыву определенной толпиной почвы. Глубина расщепления сухих сетей на склонах шириной Кукантау, Муйнактау, Кызылжар, Иткиргау и др., имеет волнистый – от 1 до 5-7 м и более.

В это же время склоны русла Акдары и других протоков шириной 100-200 м, расположенные в долинах, способствуют смыву определенной толпиной почвы. Глубина расщепления сухих сетей на склонах шириной Кукантау, Муйнактау, Кызылжар, Иткиргау и др., имеет волнистый – от 1 до 5-7 м и более.

На долинных пологих и дрессированных волнах-затонах, расположенных в нижних толщах грунтов способствует образование полуземных пустот. Это особенно характерно для зон солончаков и их периферии. В результате просадки и вымывания грунтов эти пустоты часто способствуют формированию трещин, в скоплении дождевых вод приводят к дальнейшему оползню и размыванию.

Следует отметить характерной также для осушки моря. Каждый раз, когда обильные воды, заполняющие старые трещины вода, при попадании в них толи песка или алевритов достаточно сильно вымывают их вымыванию и постепенному расширению породных трещин, глубина которых часто превышает 2-2,5 м.

На явление здесь еще не приобрело массовое распространение.

В будущем следует учитывать возможность их развития на ряде участков, где имеются относительно мощные толщи песка и щебня.

1.5. Движение почвообразовательных процессов и эволюция почв

Соединение с долинами большой силой оказывает влияние на движение почвообразовательных процессов. Изменение водно-солевых явлений, типов почв по времени, трансформация растительного покрова, засоление почв и изменение почвообразовательных процессов. Одним из явлений, связанных с состоянием почвообразовательных процессов, считается изменение водного режима дельты. Устойчиво

развивающиеся гидроморфные условия, в начале опустынивания 60-70 х гг. (до 1974 г.) постепенно переходят в полуgidроморфные. Помимо сочетающихся с гидроморфными, а со второй половины 70-х гг. повышенных переходов в полуgidроморфные. В 2010 г. в межкотловинных эоловальных условиях для развития почвенных + почвенно-растительных

Начиная с 90-х г. межрүсловые понижения делты Амульской реки, расположенные в пароморфных почвах, ежегодно обводняются с целью создания благоприятных вегетационных условий для выращивания тростника, используемого как корм для крупного рогатого скота, ловли рыб в озерах, а также для обеспечения хотя бы минимальным стоком ряда притоков (с целью обводнения древесно-кустарниковых тугаев). Систематическое обводнение земель межрүсловых понижений в определенной степени оказывает на ходе почвообразовательного процесса. Постоянное уплотнение периферийной части озер и водоемов благоприятствует размыву гидроморфных (в основном луговых, местами болотно-луговых) почв. За полосой гидроморфных как обычно создаются условия для распространения лугово-такырных почв, сочетающихся с типичными солончаками.

В межрustersких повышениях поверхностных лепты в результате естественного рассоления бывшие активные типичные солончаки переходят в остаточные, а лугово-такирные — в такирные почвы и т. д. Этот процесс, хотя происходит очень медленно, но надо принять тот факт, что эволюция почв идет своим ходом, о чем свидетельствуют еще больше усилиться, и по мере рассоления верхнего слоя почвоподстилки возможно будет наблюдаться формирование других (в частности пустынных песчаных и др.) пустынных почв. Все это должно быть учтено в процессе прогнозирования развития природной среды лептических зон — зоны осушки моря. Установлено, что эволюция солончаков обсахающего дна моря происходит более интенсивно, нежели лепты. Очевидно, это связано с ускоренным темпом снижения уровня грунтовых вод, выдуванием солей с поверхности солончаков.

1.4.6. Сукцессия растительных сообществ

Растительность как чистый

покров и режиме грунтовых вод способствует информированию о трансформациях в состоянии вегетационных условий. Следовательно, растительный покров, как динамичный природный фактор, имеет существенное значение в определении будущего состояния природной среды. В аридных условиях Приаралья дестабилизация экологического состояния происходит в интенсивной форме, ибо почвенный покров и минерализация грунтовых вод изменяются с равнотипно быстрым темпом. Увеличение солености грунтовой влаги, накопления в зоне вы-
ращивания большого количества солей. Поэтому антиагрессия

ние в виде редкой замены соответствующим солеустойчивым (соли-гипофитом) видом. Этим определяется широкое гидро-солончаково-солонувых сообществ в комплексе с солончаками.

Наличие экологической сущности растительности региона и его место в погоде (т.е. в полевых условиях) показало, что это явление появления в виде гидрофиты-гипофиты-мезофиты-солончаков (адрогидрофиты)-псаммофиты.

Важно, что такое社區 соответствует определенным типично-

условиям, при этом динамика этого сложного процесса отдельного изменения растительных сообществ зависит от режима грунтовых вод и соответствующих им почв и химических свойств почв (водно-солевой режим). В то же время в любой стадии сукцессионного ряда, растительные сообщества при условии изменения режима грунтовых вод и солевого режима могут развиваться в ту или иную сторону. Поэтому при определении видов изменившихся природных комплексов следует также определить обстановку, сформировавшуюся в той или иной почве, иначе, вообще, значение при этом имеет правильное определение трансформации природной среды.

В том же зоне моря от коренного берега до современного уреза стоянок куличинской растительной покровы имеют обратный тип. Т.е. эвтрофические процессы происходят от элювиальных-псаммофитных в пограничных (солончаковых). Причем необходимо отметить, что при этом площади ксеро- и галофитных сообществ будут все больше уменьшаться за счет сокращения ареалов развития ксерофитов и мезофитов (последние частично).

На равнинах Приаралья сукцессия растительных сообществ в различной стадии из-за мозаичности условий роста, режима грунтовых вод и в соответствии с этим видами первых отличается значительной степенью сложности. К тому же нужно помнить определенную тенденцию, свойственную всем природным регионам. Трансформацию растительного покрова можно изучать по отдельным, относительно крупным единицам, например, по межрудственным понижениям, оврагам, склонам определенных терригенных следов, протекающих в пределах определенных эко- или геосистем.

1.8. Адекватные фрактры прогнозирования изменения геосистем

технического прогресса, осуществлением различных целевых программ в частности, «Продовольственная», «Вода» и т.д. В связи с провозглашением независимости Узбекистана экономическое развитие страны приобретает первостепенное значение. Следовательно необходимо развивать все отрасли народного хозяйства. Особое внимание сельскохозяйственную, чтобы производить достаточное количество сельхозпродукции на душу населения. Главным образом пищевой промышленности, развивая природы и общества. Прогнозирование и проектирование изменения природной среды в связи с усилением воздействия человека на окружающую среду в настоящее время и последующем будущем предсказывает будущее состояние природной среды регионов (автомобильный по Земному шару), в связи с возрастанием влияния человека на окружающую среду.

В Приаралье антропогенные факторы на природную среду оказывают различное влияние, на участках, где плотность населения относительно высока, наблюдаются большие изменения природных комплексов и компонентов, а там, где население и населенные пункты очень разреженные, для участия человека в общем объеме трансформации геосистемы чистою. Характер влияния хозяйственной деятельности на окружающую среду здесь разнообразный, но в основном он имеет сельскохозяйственное направление. Причиной в отдельных участках наблюдается влияние лишь одного вида, а в других - целого комплекса. Все зависит от характера хозяйственной деятельности.

1.5.1. Техногенное расчленение или техногенная эрозия

Техногенная эрозия – наиболее активный и результативный фактор, масштаб его влияния не ограниченный. К техногенным факторам относятся автомашины всех марок, сельскохозяйственные тракторы, механизмы буровых скважин и др. транспортные средства. Автомашины, особенно с большой грузоподъемностью, а также моторные тягачи при движении по бездорожью уничтожают, в первую очередь, травянистые растения, полукустарники и кустарники, получившие сильное повреждение, а большинство их покидает. Если по этой причине проедет еще автомобиль, то кустарниковые и полукустарниковые заросли полностью уничтожаются. По колесе автомашин долгое время не будут вегетировать растения, ибо здесь полностью разрушается первичная структура почвы, сильное уплотнение верхнего слоя почвы позволяет всходу семян.

Дальнейшее состояние колес автомашин полностью зависят от типа, вида почв, механического состава, почвогрунтов, степени влажности почв, глубины залегания грунтовых вод. В типичных

песчаных почвах колодяных, обычно после проезда по новой колесе провозглашением независимости Узбекистана экономическое развитие страны приобретает первостепенное значение. Следовательно необходимо развивать все отрасли народного хозяйства. Особое внимание сельскохозяйственную, чтобы производить достаточное количество риса, мяса, яиц, молока и т.д. А это в несколько раз интенсифицирует изменения природной среды в связи с усилением воздействия человека на окружающую среду в настоящее время и последующем будущем предсказывает будущее состояние природной среды регионов (автомобильный по Земному шару), в связи с возрастанием влияния человека на окружающую среду.

В Приаралье антропогенные факторы на природную среду оказывают различное влияние, на участках, где плотность населения относительно высока, наблюдаются большие изменения природных комплексов и компонентов, а там, где население и населенные пункты очень разреженные, для участия человека в общем объеме трансформации геосистемы чистою. Характер влияния хозяйственной деятельности на окружающую среду здесь разнообразный, но в основном он имеет сельскохозяйственное направление. Причиной в отдельных участках наблюдается влияние лишь одного вида, а в других - целого комплекса. Все зависит от характера хозяйственной деятельности.

На автомобилей, выбираемых для колонкового бурения, полностью уничтожаются все виды растений, и разрушается почвенный покров. На 19 машинные полевые испытываемые, в частности на нефть или газ (до 300-300 м) проходит несколько месяцев. Перифераия очагов разрушения (примерно 70-80%) существующих очагов (периферийный слой почвы в результате беспорядочного хождения машин и гусеничных тракторов разрушается, здесь же лягутся колеса, собираются трубы для использования при бурении и т.д.) в зоне разрушения буровых установок площадь около 1-2 га оставляется в беспорядочном виде, где почвенно-растительный покров разрушен окончательно, и эта территория в ближайшие 10 лет будет не пригодной для засева, и это время ветровая эрозия приведет к дальнейшему разрушению.

Но при некотором изменении природных комплексов можно уменьшить влияние техногенной эрозии на их состояние, что позволит улучшить почвообразовательные процессы.

1.5.2. Обводнение экосистем

Овозднение в условиях прогрессирующего опустынивания самая эффективная мера по восстановлению природного потенциала пастбищ и сенокосов, созданию благоприятных вегетационных условий для роста тугайных экосистем вдоль протяжки пастбищных и древесных тугайных экосистем путем привлечения речной воды в межрustersкие понижения во время весенних половодий. В годы относительного многоводья амударинская вода распределяется по основным протокам дельты, а часть воды протоков направляется в определенных озерах и понижениях. В прогнозировании изменения природной среды делты учет влияния обводнения экосистем очень важен в различных вариантах, ибо его можно осуществить в различном масштабах и формах, причем в самых обыкновенных элементарных условиях, в которых, как известно, не все участки экосистем равномерно обеспечиваются влагой. Эта так сказать, примитивная форма, осуществляется в настоящее время без всяких инженерных и технических проектных разработок и расчетов. Внедрение типичных инженерных проектов по обводнению экосистем, речных протоков озер, межрustersких понижений и искусственных водоемов делты для самых эффективных результатов по борьбе с опустыниванием восстановлению продуктивности деградированных экосистем, созданию благоприятных экологических условий для нормального развития природных комплексов. Поэтому учет этого вида обводнения в прогнозировании дает уже другой эффект по определению будущего состояния геосистем.

При прогнозировании изменения геосистем дельты и обозначенной части дна моря желательно дать вариант прогноза в условиях отсутствия применения соответствующих мероприятий, т.е. определенное состояние природной среды в условиях естественного саморазвития. Невмешательство человека в ход развития природной среды также может обуславливать становление определенных гео- и экосистем, имеющей различной, преимущественно низкой, продуктивностью территории.

При прогнозировании изменения природной среды, практически не обводняемых экосистем дельты Амудары (бывшие опустынившиеся части – восточная часть дельты, такирные равнины к западу от Кунградского коллектора и др.), следует исходить из других более важных факторов, которые характерны для данных территорий.

1.5.3. Подтопление и затопление

1.5.3. Потопление и затопление

154. Вилы и перевозка скота

Наводнение и затопление как антропогенные факторы в гидрологии и гидроэкологии с обновлением экосистем. В условиях дельты, как правило, они обуславливают развитие гидроморфных зон природно-растительного пристомниковых зарослей и разнотравья на прибрежной пологой (местами болотных) почвах, тогда как в обширной части для моря - гидроморфно-солончаковые зоны в сочетании с мелкими лужами и озерами определяющего характера. Зона подготовки и затопления на протяжении Азовской и Муйнак образует гидрографический комплекс из озёр и пресладами чайного тростника, что обусловлено формированием обломка солей в зоне аэрации солончаков.

В зоне влияния пологостения и затопления протоков дельты следует отметить развитие, главным образом, тугайных и полупустынно-тактических почвах, редко сочетающихся с мелкими ландшафтами солончаков. Но радиус влияния этих факторов вдоль реки не превышает 50-100 м. То же самое можно сказать о зонах плавучих на периферии, только у них радиус влияния может достигать в сторону осушки моря, где склоны поверхности от коренного берега. Максимальное затопление реки Рыбачего, Джигитырбасского и др. на осушке моря включает плавающие плющали, подверженные затоплению и засолению, и они способствуют космоснимкам разных лет засторов.

При определении изменения природных комплексов следует учитывать влияние этих факторов, ибо в зоне командаования гидрологии и гидроморфологии формируются своеобразные комплексы преимущественно

В Казахстане Приморья выпас скота в целом не очень опасный в отношении природной среды, так как здесь наряду со злаками, имеются в большом количестве несъедобные травы и грызуны. И конкретные сообщества, которые из-за содержания в них токсинов некогда употребляются многими видами скота, могут съедобными и несъедобными растениями постепенно становиться 1:3, т.е. выпас не оказывает заметного влияния на биоценозы. Крупный рогатый скот охотно ест злаки, эфемеры и ряд других трав, содержащих малое количество ядов.

пастбищ скотом не очень большая, т.е. площадь естественных пастбищ позволяет содержать еще большее количество скота по сравнению с нынешним временем.

Незначительная перевыпас скота наблюдается лишь на периферии населенных пунктов, где сосредоточено сравнительно большое количество скота, а емкость пастбищ имеет большие возможности для содержания мелкого и крупного рогатого скота, лошадей и верблюдов.

1.5.5. Рубка древесно-кустарниковых сообществ

Амударинские туганы больше всего страдают от рубки древесных пород, пожаров, освоения тугайных экосистем под поливное земледелие. Достоверное прогнозирование изменения тугайных древесно-кустарниковых экосистем, связанных эпизами факторами, весьма трудная задача, так как они никогда не планируются (кроме освоения тугайных земель) человеком. В таком случае необходимо опираться на логический метод, вероятность всегда ближе к истине. Нам кажется, лучше исходить из возможности влияния населенных пунктов на состояние тугайных экосистем. Допустим, в этом отношении хорошим критерием могут служить расстояния от населенных пунктов до тугаев. Как было установлено нами, туган обычно больше страдает на расстоянии до 10-15 км, в этом интервале наблюдается массовая рубка древесных и кустарниковых насаждений, а далее влияние человека резко уменьшается.

В условиях дельты Амударьи большинство населенных пунктов расположено вдоль проток реки, изредка на отдаленных от них расстояниях. Поэтому деградация тугаев в будущем, несомненно, должна определяться влиянием человека на тугайный биоценоз. В настоящее время, при остром дефиците и дороговизне лесного материала, рубка деревьев еще больше ускоряется, и этот процесс, очевидно, будет продолжаться еще долго. Отсюда вывод, что рубка деревьев в тугайных экосистемах впереди нарашиваться.

1.5.6. Сельскохозяйственное освоение земель

Расширение площади орошаемых земель в Приаралье как эффективная мера по борьбе с опустыниванием, обеспечению местного населения сельскохозяйственной продукцией, а также товарными продуктами для реализации за пределами региона, несомненно, в дальнейшем будет осуществляться быстрыми темпами. Но, как известно, для орошаемого земледелия необходимы земли, имеющие относительно лучшие мелиоративные условия с высоким почвенным плодородием. Поэтому при прогнозировании изменения геосистем дельтовых равнин следует учесть, что подобные земли ближайшее 5-10 лет, возможно, будут основны для развития орошаемого земледелия.

Освоение земель под поливное земледелие осуществляется различными методами. Кроме освоения ирригационных массивов на основе инженерных проектов, существует также частный метод привлечения отдельных небольших участков (от 0,5 до 5-10 га и более) без соответствующих мелиоративных документов.

При таком методе освоения и орошения земель, как показывают многочисленные полевые наблюдения, через 1-2 года в результате вымощивания почвы они станут непригодными для дальнейшего использования, так как превратятся в типичные солончаки.

Подобные заброшенные залежи и переголы-солончаки имеются не только от населенных пунктов, особенно по трассе оросительных систем.

В прогнозировании изменения существующих площадей интенсивного земледелия (здесь имеется в виду ареалы освоенных участков среди пустынных земель в опустынивающей части дельты Амударьи) следует оговориться, что при применении регулярных инженерно-технических, агромелиоративных и при агроландшафтно-хозяйственных мероприятиях они могут быть устойчиво промоделированными с высоким почвенным плодородием, а при ин актуации или недостаточном применении комплекса мер они к концу периодаируемого времени станут выпадами, т.е. из-за соленакопления в почве они выйдут из сельхозоборота.

2. ПРОГНОЗ ИЗМЕНЕНИЙ ГЕОСИСТЕМ ОПУСТЫНИВАЮЩЕЙ ЧАСТИ ДЕЛЬТЫ АМУДАРЬИ ДО 2020 ГОДА

2.1. История исследования прогнозирования и прогноза изменения геосистем Приаралья

В связи со снижением уровня Аральского моря еще в 80-х и в начале 90-х гг. различными научными организациями Российской Федерации, Республики Казахстан и Республики Узбекистан были приработаны физико-географический прогноз изменения природных комплексов Приаралья на различные годы, преимущественно до 1990 и до 2100 гг.

В научном отчете (1980) Отдела географии АН РУз., – «Инновации природных комплексов и анализ влияния естественных факторов на мелиоративные условия на примере Южного Приаралья», определяются прогнозные разработки по изменению природных комплексов Южного Приаралья до 1990 и 2000 гг. А также прогноз изменения геосистем обсождой части дна Арила до 1990 и 2000 гг. В начале 90-х гг. пишется: «Таким образом, природные комплексы южной части дельты Амударьи до снижения уровня грунтовых вод ниже уровня аэрации будут развиваться в тенденции прогрессирующего опустынивания в корнеобразуемом слое почвы, а затем наступит период

естественного рассоления, что приведет к изменению почвенно-растительного покрова; природные комплексы сухой части дельты, приморских солончаков и водораздельных равнин в преобладающей части будут развиваться в тенденции усиления ветроразмывных процессов и аккумуляции со становлением золовых геосистем. Все процессы и явления, наблюдаемые в развитии природных комплексов Южного Приаралья в связи, со снижением уровня моря направлены на их опустынивание. Следовательно, гидроморфные и полигидроморфные геосистемы устойчиво сменяются аридными хемогенными и золовыми комплексами».

В определенной степени прогнозы того времени оправданы, только соленакопление в почвах в основном завершилось еще до первой половины 80-х г., а затем стала происходить стабилизация с переходом на естественное расслоение.

В прогнозных разработках до 2000 г. пишется: «Природные комплексы межкотловинных возвышенных равнин в связи с углублением грунтовых вод на 12-15 м будут устойчиво развиваться в эоловальном режиме. Эоловые процессы приобретут интенсивный характер, будут доминировать барханно-буристые комплексы с паммофитами, основными агентами, способствующими раззвенению грунта, останутся те же, т.е. технозрозия, заготовка древесины и пастбища скота, увеличивающиеся в связи с интенсификацией сельского хозяйства. Бывшие приморские солончаковые комплексы в связи с углублением уровня грунтовых вод постепенно будут сменяться золовыми, местами такирными с соответствующим растительным покровом. Плоский приморский равнинный рельеф в результате развития эоловых процессов приобретает расщепленный характер (0-3 м). При этом бывшие сухие протоки будут заполняться песками».

В настоящее время наблюдаемые природные изменения и процессы вполне соответствуют вышесказанному.

В 1995 г. в Отделе географии АН РУЗ был завершен научный отчет: «Исследовать изменения природных комплексов Южного Приаралья в связи со снижением уровня Аральского моря и разработать научное обоснование мероприятий по максимальному предотвращению процессов опустынивания».

В этом отчете прогноз изменения природных комплексов дельти Амударьи и осушки моря даётся в более углубленном виде: с картами-схемами и табличными материалами. Прогноз осуществлен по отдельным видам ГТК (природно-территориальные комплексы). Основные научные толкования в значительной степени соответствуют действительности, оправдываемость прогноза составляет не менее 80% и более.

А.А. Рафиков в 1982-1984 годах разработал ряд прогнозов изменения природно-мелiorативных и природных комплексов дельты Амударьи и осушки моря. Прогноз геосистем обской части дна моря был осуществлен для уровня Арала до 43 и 38 м абсолютной высоты, а дельты Амударьи

до 2000 г. Сравнение фактических изменений в структуро-линическом состоянии геосистем в настоящее время с прогнозными материалами свидетельствует о том, что в значительной степени они оправдались.

А.С. Кесе и др. в 1984 году составили прогнозные литологические карты Аральской впадины при уровнях моря 47 и 29 м абсолютной высоты. Хотя эти карты мелкомасштабные, но они дают ценную информацию о будущем состоянии условий рельефа по типам рельефа и существующим процессам. На картах также отображена литология донных осадков моря.

И.В. Рубанов в 1984 году обосновал вариант прогнозных схем, изменения солености воды Арала для различных частей акватории по широте снижения его уровня. Кроме этого,дается прогноз характера изменения будущей (до 2000 г.) зоны осушки Арала на основе учета изменений о порядке выпадения солей из его воды по данным экспериментальных исследований. Согласно расчетам автора, во время снижения уровня моря до отметки 38 м абсолютной высоты воды достигнет 30-35 г/л и начнется осаждение гипса.

Следует отметить, что степень минерализации морской воды, указавшая автором, достигнута уже в 1994 г., когда зеркало моря опустилось до отметки 36,8 м абсолютной высоты.

Согласно Рубанову, степень засоленности осушившихся грунтов в разных частях осушки также будет различной. Большая часть ее – вдоль юго-западной и юго-восточного берега Большого моря, примерно до широты 40 м будет иметь засоленность до 3%.

Гипсометрически ниже (до отметки 38 м) на востоке моря и в юго-западной его части вследствие концентрации солей в эоловых водах Ариана, засоленность грунтов может достигнуть 5%.

Была большая засоленность, вплоть до образования соляных корок (плен пушонки тенарита и др.), будет наблюдаться в небольших ямках в рельфе этой обширной зоны. Наибольшая площадь интенсивного засоления грунтов осушки будет на дне высокого залива Алибай. Здесь (на площади около 400 км²) вследствие слабого уклона в сторону моря его дна, сложенного глинами, вероятно, будет сформирован обширный солончак, покрытый пушонкой тенарита в несколько м.

Сравнение фактических изменений в структурно-динамическом потенции геосистем в настоящее время с прогнозными материалами И.В. Рубанова свидетельствует о том, что оправдываемость прогноза не отличается не менее 70%.

М.Ш. Ишанкулов в 1985 году разработал прогноз развития природных комплексов обнажающегося дна Аральского моря на различные даты осушки 1990, 1996 и 2000 гг. Из-за мелко масштабности прогнозной карты южная часть осушки имеет белую легенду, но по фактической – более содержательной. Оправдываемость прогноза М.Ш. Ишанкулова составляет не менее 50%.

В.А.Попов в 1990 году обосновывает прогноз состояния ландшафтов дельты Амулары на 2000 г. По его мнению, в 2000 г. гидроморфные ландшафты захватят, вероятно, депрессию озера Судочье и внутри пойменные равнины к северу от него. Их существование будет поддерживаться притоком сюда коллекторно-дренажных вод с орошаемых массивов Кунгурского оазиса.

Площадь мезоморфных геосистем после стабилизации, наблюдавшейся в 1980-1985 гг., медленно сократится. В 2000 г. мезоморфные ландшафты займут центральную часть современной Амударьинской дельты, расположившись вдоль протоков Акдары, Кипчакдары, Казахдары, Раушана. Ксероморфные геосистемы в период с 1985 по 2000 г. быстро распространятся как на территории дельты Амулары, так и на обоюдном дне Аральского моря. По занимаемой площасти ксероморфные ландшафты в 2000 г. превзойдут другие экологические группы. Вероятными районами их распространения станут южная кромка обсохшего морского дна и междуречье протоков Раушан и Талык.

Прогнозные разработки В.А.Попова на 2000 г. краткие и ясные, но мало, научно обоснованы, не всегда даются причины изменения тех или иных экологических групп ландшафтов.

Сравнение фактических изменений в структурно-динамическом состоянии геосистем в настоящее время с прогнозными материалами В.А.Попова на 2000 г. свидетельствует о том, что в значительной степени (85%) они оправдывались.

2.2. Ландшафтная основа прогноза

Прогноз изменений геосистем дельты Амулары и обсохшей части дна Аральского моря осуществлен нами на базе физико-географических микрорайонов, так как описание трансформации всех природных комплексов, хотя бы в ранге сложных уроцниц, весьма затруднительно (их общее количество составляет 163). Учитывая сложность этого варианта прогноза, мы сошли целесообразным осуществить его в ранге микрорайонов (рис. 2.1.). Объектом географического прогнозирования служат геосистемы тех или иных уровней.

Микрорайоны выявлены на основе детального физико-географического анализа территории Южного Приаралья с точки зрения их дифференциации на отдельные геосистемы (местности), которые отличаются друг от друга по всем показателям ландшафтно-структурных особенностей. В свою очередь, каждая местность дифференцируется на сложные уроцница, а последние на уроцища, охватывающие естественно ограниченные территории с определенным природным режимом развития. Структурно-динамическое состояние этих геосистем (местности) отличается в целом однообразностью устойчивости против воздействия антропогенного фактора, сходностью развития процессов опустынивания, одинаковым условием гидробиологического режима,

локализированием тех или иных типов гидробиологического режима, и в соответствии с ним преобладанием определенного типа почвообразовательного процесса (элювиальный, супераквальный и субаквальный) и др.



Условные обозначения

Класс опустынивания:

- 1 Слабый, местами умеренный и очень сильный.
- 2 Умеренный, местами сильный.
- 3 Сильный, местами очень сильный и умеренный.
- 4 Сильный.

Класс опустынивания:

- 1 Слабый, местами умеренный и очень сильный.
- 2 Умеренный, местами сильный.
- 3 Сильный, местами очень сильный и умеренный.
- 4 Сильный.

Класс опустынивания:

- 1 Слабый, местами умеренный и очень сильный.
- 2 Умеренный, местами сильный.
- 3 Сильный, местами очень сильный и умеренный.
- 4 Сильный.

Класс опустынивания:

- 1 Слабый, местами умеренный и очень сильный.
- 2 Умеренный, местами сильный.
- 3 Сильный, местами очень сильный и умеренный.
- 4 Сильный.

Класс опустынивания:

- 1 Слабый, местами умеренный и очень сильный.
- 2 Умеренный, местами сильный.
- 3 Сильный, местами очень сильный и умеренный.
- 4 Сильный.

Класс опустынивания:

- 1 Слабый, местами умеренный и очень сильный.
- 2 Умеренный, местами сильный.
- 3 Сильный, местами очень сильный и умеренный.
- 4 Сильный.

Класс опустынивания:

- 1 Слабый, местами умеренный и очень сильный.
- 2 Умеренный, местами сильный.
- 3 Сильный, местами очень сильный и умеренный.
- 4 Сильный.

Рис. 2.1. Физико-географическое микрорайонирование дельты Амулары по современному состоянию опустынивания.

При выявлении микрорайонов наряду с другими компонентами большое внимание обращено на литолого-геоморфологическое строение, определяющее свойство геосистем по типу почвообразовательного процесса, дренажированности грунтов, развитию физико-географических процессов и явлений, возможности обводнения, направленности потока грунтовых вод и др.

В Южном Приаралье по схеме выявления геосистемами были определены микрорайоны, соответствующие субаквальным, супераквальным и эловиальным местоположениям. Этот принцип дает возможность более точно выявить определенные мезогеосистемы, подвергающиеся тем или иным типам опустынивания, а также выяснить динамику и устойчивость природных комплексов к воздействию внешних сил. Так, выявленные Судочинский, Караджар-Куссырский, Междууречинский, Майпостский, Джайылтарбаский микрорайоны, как субаквальные геосистемы, являются, с одной стороны, зонами почти регулярного затопления и служат областью аккумуляции веществ гидрохимического потока окружающих равнин дельты, с другой стороны, из-за наличия постоянной влаги в слабой степени подвергаются опустыниванию.

Эловиальные микрорайоны — Кинкарский, Акдарынский, Кунядарынский из-за постоянного глубокого застagnания зеркала грунтовых вод (ниже 5-7 м) от поверхности являются областями вымыва солей с верхних горизонтов в нисходящем направлении и выдувания веществ. К ним приурочены русла протоков дельты, которые возываются на 3-4 м, местами 5 м и сложены преимущественно отложениями легкого механического состава. Следовательно, коэффициенты фильтрации грунтов сравнительно выше, что оказывается на горизонтальном оттоке грунтовых вод.

Однако при всех условиях природно-мелiorативного состояния возведенных участков дельты из-за сложности рельефа и многослойности отложений, где наряду с легкими грунтами сочетаются и тяжелые, в целом по мере удаления от основных русел протоков их гидрологические условия постепенно усложняются, вследствие чего горизонтальный отток грунтовых вод заменяется вертикальным. Следовательно, склонности почв к засолению возрастают. Поэтому при определении тенденции засоления почв необходимо обратить внимание на вышеуказанные характерные свойства этих микрорайонов.

Бывшая «живая» дельта Амудары с юго-запада, т.е. со стороны чика Устпорта, и с востока контактирует с субаквальной частью данной дельты. Иными словами, можно сказать, что эти периферийные части дельты еще в 30-40 гг. прошлого века не обводнились регулярно и перешли в стадию автоморфного развития геосистем. В них сформировалась типичные зональные пустынные условия. В пределах этих частей дельты нами выделены Причинковые, Восточные микрорайоны. В которых природные и естественно-мелiorативные условия почти сходные. Развито преимущественно рассоление верхнего

зона эловиальных почв, выпувание и аккумуляция веществ и др. Наблюдаемые процессы опустынивания и живой части дельты слабо выражаются на ходе изменения геосистем этих микрорайонов, но имеются некоторые взаимосвязи и взаимодействие между ними. В частности, с сухой части дельты в направлении ее опустынивающейся части наблюдается вынос пыли, соляной пыли воздушиными потоками, а они же в зоне контактов служат барьерами против горизонтального движения грунтовых вод, что обуславливает накопление солей в зоне дельты.

В результате анализа структуры микрорайонов дельты Амудары, установлено, что в пределах ее неосвоенной части или к северу от широты возвышенности Кызылджар-Кусканату выделяются в субмеридиональном направлении 5 эловиальных (местами полугидроморфных) и 5 субаквальных микрорайонов, все они расположены почти параллельно друг к другу (рис. 2.1.). Такое симметричное расположение микрорайонов в дельте объясняется характером взаиморасположения рукавов Амудары. Сочетающихся с междуусобными понижениями, взаиморасположение разнокарктерных микрорайонов позволяет, в свою очередь, осуществить инфильтрационные мероприятия в зависимости от их природных свойств, а также учитывать местные взаимосвязи и взаимодействия между собой разностоистенных геосистем не только в горизонтальной плоскости, но и в вертикальном направлении.

Расположение неосвоенной части дельты Амудары между ее орошаемой зоной и осушенней частью дна моря, а также субмеридиональное размещение сопряженных микрорайонов обусловливает развитие в них сложных гидрохимических процессов. Со стороны орошаемой зоны постоянно в северном направлении происходит подземный сток геохимических веществ, в основном минерализованные грунтовые воды. Этот поток, достигая южных оконечностей микрорайонов, из-за слабой дренажированности грунтов начинает приобретать качественно новые свойства, т.е. наблюдается повышение солености и изменение типа минерализации. Грунтовые воды становятся сильноминерализованными не только за счет ухудшения дренажированности грунтов, но и за счет расхода испарения. Поэтому в опустынивающейся части дельты потоки грунтовых вод погружаются глубоко и в замедленном темпе движутся в направлении зоны осушки моря, прием часть воды расходуется на внутриточечное испарение. Исходя из этого, целинная часть дельты вынуждена выносить как бы областью транзита, а местами также областью расхода потока грунтовых вод, идущих с юга.

Потоки грунтовых вод дополнительно пытаются в зоне транзита потерять речного стока в протоках, на полях лиманного орошения, в зоне обводнения, этот процесс особенно интенсивно происходит в годы многоводия. Однако, потоки грунтовых вод здесь направляются

преимущественно в западном и восточном направлениях и частично в северном, так как русла, занимая командное местоположение в рельефе дельты, теряют влагу на фильтрацию в основном в широтном направлении, тогда как в межречевых понижениях, подземный поток, сформированный под их котловинами, движется в северном направлении, к тому же обилий уклон в них уменьшается к северу.

Каждый микрорайон включает преимущественно одинаковые классы опустынивания, которые доминируют в территориальном отношении. Правда, иногда в один контур были включены экосистемы, имеющие разные классы, главным образом умеренный и сильный, или сильный и очень сильный классы опустынивания. Учитывая площадной характер развития одних классов, была определена доминирующая степень их распространения, иногда при равных соотношениях или наряду с доминированием одних классов, имеются и другие степени, но незначительные по занимаемой территории.

Районирование опустынивания по современному состоянию может быть основой не только для дифференцированных мероприятий по борьбе с ним, но и для прогнозирования изменения геосистем в результате интенсификации их процессов. В этом отношении информация, содержащаяся в схеме районирования, способствует учету типа, классов, причин опустынивания, а также и других материалов, имеющих немаловажное значение в обосновании прогноза изменения геосистем в будущем.

2.3. Учет тенденции развития опустынивания в прогнозировании и прогноза изменения геосистем дельты Амударьи

В Южном Приаралье, где структурно-динамическое состояние дельтовых геосистем достаточно сложное и они по-разному реагируют на внешнее воздействие, устойчивость отличается мозаичностью, вследствие чего направленность изменения морфологических структур ландшафтов наблюдается также по разному. В этом отношении самым главным является конкретное определение структурно-динамического состояния природных комплексов: элювиальное, супераквальное и субаквальное. Это обуславливается различными геоморфологическими условиями, определяющими в свою очередь характер и свойства остальных мобильных компонентов, в частности, гидрогеологических процессов, стока, почвенно-мелиоративного состояния, условий развития фитоценозов и т.д. Сложность литолого-

геоморфологических условий определяет одновременно сложность и разнохарактерность остальных природных компонентов и в итоге сложность геосистемы.

В Южном Приаралье, особенно в бывшей живой части дельты Амударьи, элювиальные геосистемы (это в основном прирусловье вала

периферии протоков и т.д.) еще в 50-х г. приобрели суходольный режим развития. В годы опустынивания этот процесс еще больше интенсифицировался. Легкий механический состав аллювиальных отложений и приподнятость указанных равнин над окружающей приторией (зоны командаования речной системы) обуславливает именно автоморфный режим развития почв, вследствие преимущественного горизонтального отока грунтовых волн. Несколько токи влаги способствуют главным образом естественному рассолению, осушению почвогрунтов до больших глубин (более 2-3 м), понижают склонность субстрата к выдуванию, распространению преимущественно ксерофитных фитоценозов, развитию почв в южном направлении.

В этих динамичных природных условиях, где доминируют элювиальные геосистемы, процессы опустынивания имеют также способствуют интенсификации тех, процессов, которые соответствуют этой стадии развития ландшафтных систем (в частности, выдувание, аккумуляция велеса, эрозия, супфозия и т.д.).

Во время картографирования морфологических структур ландшафтов и процессов опустынивания дельты Амударьи установлено, что именно этим ее частям соответствует становление и развитие золовых форм рельефа, глубинная эрозия в сочетании с супфозионными явлениями, откачивание. Исходя из этого, можно констатировать, что дальнейшее развитие природной среды будет продолжаться в том же направлении, которое мы сейчас наблюдаем.

Вблизи прирусловых валов Акдары, Кипчакдары, Тайдыклары, где уровень грунтовых вод опустился ниже 5-7 м от поверхности, встречаются не большие пятна тяжирообразных почв в комплексе с лугово-такирными почвами, а в составе типичных солончаков поймистных участков дельты – остаточные типичные солончаки. Это свидетельствует о зарождении новых элементов или новых видов почв среди существующего или развивающегося почвенного покрова. Со временем эти пятна постепенно расширяются и приобретают доминирующее значение. Однако для этого необходимы соответствующие природные условия, т.е. устойчивое снижение уровня грунтовых вод, высыхание почвогрунтов до больших глубин (4-6 м), четкое рассоление и формирование солончаковых свойств, обрашение сплошноземистой трещиноватости на поверхности субстрата, обложение ее поверхности, четкое выпадение тонкой сплошности в верхнем горизонте. Такироильные почвы в зоне развития лугово-такирных почв обычно развиваются на относительно повышенных участках с плоскими или вогнутыми поверхностями, где имеются условия для накопления атмосферных осадков с постепенной фильтрацией.

Изменение водного режима почв, т.е. переход из одной стадии развития в другую осуществляется путем трансформации растительного покрова:

появляются более ксерофитные и сопутствующие верхнего слоя, еще долго будут распространяться типичные галофиты (карабарк, юлуг, кермек и др.) в разреженном виде. Зарождение новых процессов опустынивания в составе других, имеющих либо второстепенное, либо фоновое распространение, происходит в определенной форме и скорости. Установлено, что процессы засоления и рассоления обычно наблюдаются сначала в виде отдельных разорванных точек, а в последующем в результате их стяжения появляются небольшие пятна ($1-3 \text{ м}^2$), со временем в зависимости от степени динамичности режима грунтовых вод они могут расти в пространстве. Разорванные пятна, соприкасаясь между собой, вольются в один большой ареал, а далее они охватят значительные контуры, соответствующие одному из видов морфологических единиц ландшафта (фация, урочища, местность). В зависимости от скорости изменения и охвата площади новые виды процессов опустынивания становятся субдомinantными, доминантными, а иногда и фоновыми.

Именно выявление этих наибольших участков (фаций) среди доминантных сложных и простых уроцищ имеет существенное значение в прогнозировании изменения геосистем. Иными словами, ландшафтно-индикационный метод более практичный наряду с другими и степень оправданности значительно, высокая. На основе всестороннего и глубокого анализа структурно-динамического состояния этих морфологических частей ландшафтов можно предсказать будущее состояние геосистем до определенного времени.

Если смотреть на развитие опустынивания в Южном Приаралье с точки зрения ретроспективы, то можно выявить определенные тенденции развития ряда процессов еще с начала их становления и ускоренного развития. Еще в 60-х и в первой половине 70-х гг. доминирующими становятся процессы соленакопления по всей площади живой части дельты Амуударьи, а обсохшая часть дна моря подвергается сплошному засолению (фоновый процесс).

Со второй половины 1980-х гг. на повышенных участках, особенно в прирусловых валах и вблизи от них, отмечается зарождение процесса рассоления в виде небольших пятен, а на большей части территории, стабилизация соленакопления в корнеобитаемом слое вследствие углубления уровня грунтовых вод ниже 5-7 м от поверхности. Ныне этот процесс охватывает все большие площади элювиальных геосистем.

2.4. Прогноз изменения геосистем опустынивающей части дельты Амуударьи

Используя информацию о современном состоянии развития процессов опустынивания в неорешаемой части дельты Амуударьи и тенденции их изменения, нами разработан прогноз трансформации природных комплексов до 2020 г. Прогноз осуществлен на основе физико-географических микрорайонов, обоснованных нами в превышенной части книги.

Судочинский микрорайон соответствует котловине бывшего озера Судочье и его северной низменной периферии до коренного берега моря. В физико-географической отношении этот микрорайон охватывает крайние низкие участки западной части дельты Амуударьи. С запада от узла воды от озера Судочье резко поднимаются восточные чинки плато Устюрга, а с севера оно ограничивается золовыми песками осушки моря, с востока – низменными равнинами Западного микрорайона.

Бывшее озеро Судочье служит областью сброса коллекторного стока всего левобережья Амуударьи в пределах Каракалпакстана, и чистично осуществляется сток из канала Раушан и концевой части канала Ишим.

Следовательно, гидрологическое состояние озера непосредственно зависит от количества стока бросительных каналов и Кунградского коллектора. Но в основном резко преобладает коллекторный сток ($0,5-0,6 \text{ км}^3$), в связи с чем минерализация вод озера колеблется от 12 до 35 г/л (в районе устья коллектора, юго-западная акватория).

Северная периферия озера, где наблюдается сочетание бессточных котловин с повышенными рельефа в гольы относительного многоводья, почти сплошь покрывается водой до самого коренного берега моря. В гольы маловодья – в пределах котловины озера Судочье акватория вод сохраняется лишь в самых глубоких участках дна, а северная периферийная часть полностью обсыхает, только в пределах озера Карагачень (западное) сохраняется водная гладь, а так всюду доминируют луговые и типичные солончаки.

Современное состояние развития данной мезогеосистемы характеризуется общей деградацией северного субаквального комплекса: повышение минерализации и ухудшение качества воды, истощение гидроизобензолов и фитоценозов служит областью накопления растворенных минеральных удобрений и пестицидов.

Ожидаемые результаты развития природного комплекса до 2020 г. можно оценить следующим образом. При приложении КДВ (коллекторно-принужденной воды) и речной воды (в условиях преобладания первой) гидроизобензолов и фитоценозов будет нарастать до степени минерализации водной массы озера будет нарастать до высокого предела (40-60 г/л), что приведет к полному исчезновению живых организмов, побережье превратится в злостные солончаки без растительности, акватория уменьшится на 15-25% (по отношению 2010 г.). В условиях преобладания речного стока над КДВ минерализация

воды не превышает 20 г/л. В последние годы минерализации озерной воды будет снижаться до 8-10 г/л. Тростниковые заросли будут сохраняться по ареалам возле устья оросительных каналов и сброса речного стока. Т.е., где имеются более слабоминерализованные воды, рыбные богатства будут сохраняться главным образом в устьевой части, расширяются ареалы тростников и увеличивается количество рыбы.

Озеро Судочье, являясь одним крупнейших водоемов в Приаралье (площадь до 1961 г. составляла 300 км², объем – 0,6 км³, минерализация – 2 г/л), считается памятником природы гидрологического характера. Озеро является объектом или уникальным гидрообъектом развития различных животных, преимущественно водоплавающих птиц. Здесь ежегодно весной и осенью останавливаются для кратковременного отдыха перелетные птицы. Учитывая огромное экологическое значение озера, ученые и специалисты предлагают и настаивают на его сохранении в более или менее нормальном гидрологическом и гидробиологическом режиме.

Институт Узгипроммеливодхоз в 80-х годах проектировал определенные гидротехнические мероприятия по сохранению этого водоема, согласно которым озеро должно было подпитываться как речной, так и дренажной водой (как это наблюдается сейчас). В частности, по его проекту по средней части озера было намечено провести специальный канал для отвода коллекторного стока Кунградского сброса на обсохшую часть дна моря. Однако по некоторым причинам данный проект до сих пор полностью не осуществлен. Специалисты предлагают питать озеро главным образом речной водой. Поэтому трассу коллектора необходимо было проектировать под чинком Устпорта до Аджилбайского залива. До сих пор этот проект, как нам известно, еще не реализован.

Озеро Судочье, по нашему мнению, целесообразно сохранять в основном за счет речной воды (70%) и частично дренажной (30%), и чтобы оно было проточным (сток желательно осуществить через озеро Карагерень – запад, в сторону Амударьского залива). Тогда речную воду можно использовать более разумно, минерализация воды в озере будет колебаться от 3 до 6 г/л, а после опреснения воды Амударьи до 0,6-0,7 г/л соленость воды озера уменьшится до 3-4 г/л.

Если этот вариант сохранения озера будет осуществлен, то геосистемы Судочинского микрорайона в будущем приобретут качественно новые свойства. Опреснение воды позволит существенно расширить ареалы тростника и других гидрофитов, увеличиться количество рыбы, ондатры, водоплавающих птиц, а также крупных животных. Увеличение количества относительной влажности воздуха также положительно будетказываться на периферии озера, вместо гипофитов расширятся ареалы мезофитов и гидрофитов. Продуктивность экосистем по всему микрорайону резко увеличится,

возникнут благоприятные экологические условия для развития живой природы.

Каралжарский физико-географический микрорайон соответствует системе озера Кеусыр, Караджар, Холжалкуль, Машанкуль и др., которые занимают междууречье Большой и Малый Джонсиз и Раушан, Абашли. Здесь наблюдается общая супераквальная гидрологическая система в связи со спорадическим притоком речной воды в разных объемах, уменьшением площади тростников и их продуктивности. Следует отметить, что степень минерализации поверхностных вод постепенно увеличивается с юга на север, в районе селения Караджар соленость воды протока колеблется от 1,6 до 2,5 г/л, а в годы маловодья эти показатели удваиваются. Анализ космоснимков (1996 и 1999 гг.) в масштабах 1:500 000 и 1:250 000 показал, что в годы многоводья (1999 г.) почти вся территория селения Караджар соленость воды остается лишь в глубоких озерах, а вся плоская покрывается тростником, местами наблюдаются сочетание с луговыми и болотными солончаками. Но это явление наблюдается обычно в первый год после многоводья. Как показали наземные наблюдения во время полевых-экспедиционных работ, во втором году тростниковые заросли становятся уже упиченным из-за повышения минерализации грунтовых вод до 15-20 г/л. В третьем году – чахлыми с низкой высотой. Так как соленость грунтовых вод повышается до 25 г/л хлоридно-сульфатного состава, лишие они заменяются однолетними солянками в сочетании с ютуном.

Таким образом, все зависит от объема речной воды и ее качества, при обилии воды скорость деградации экосистем уменьшается и наоборот. В целях предотвращения интенсивного опустынивания микрорайона в годы относительного многоводья озерные системы Машанкуль, Караджар, Кеусыр и другие наполняются определенным объемом воды. От 28,1 млн. м³ в 1997 г. до 304,5 млн. м³ в 2000 г., при наибольшем направлении речного стока ареалы тростника становятся доминирующими или фоновыми фитоценозами, расширяются масштабы разнотравья, на полутидоморфных комплексах получают широкое распространение ютуники, значительно улучшаются вегетационные условия роста древесно-кустарниковых тугаев. В связи с этим, нам кажется, в условиях регулярного наполнения озерных систем микрорайона до конца прогнозируемого времени современная деградация экосистем несколько стабилизируется, а в ряде участков следует ожидать некоторое улучшение состояния фитоценозов. Но все зависит от степени регуляризации водобезопасления. Междуречийский физико-географический микрорайон охватывает межречье понижение Кипчакдары и Акдары в центральной части дельты Амударьи. В целом характерно фрагментарное развитие геосистем. В северной половине – супераквальное, в средней полосе – супераквальное, в южной – эпизиальное. В северной озерной части

наблюдаются незначительная деградация субаквального комплекса. В средней – усиленная, а в южной – изменение природной среды в средней степени. Которая, выражается в засолении (средняя полоса) и десалиции (южная часть) почв, смене растительности в направлении ксерофитизации.

Установлено, что при притоке нормального объема воды из рек ежегодно (примерно $0,2\text{--}0,4 \text{ км}^3$) в северной части следует ожидать нормально функционирующий озерный комплекс с богатым биоценозом, при спорадическом притоке воды – озерно-болотный комплекс с повышенной минерализацией, бедным биоценозом, загрязненной водной средой; в средней полосе при наличии озерного комплекса с максимальной акватурией будет происходить подтопление и затопление (супраквальный комплекс), а в случае минимальной акватурии – засоление почв, смена фитоценозов в направлении ксеро- и галофитизации; в южной половине будет происходить развитие эловальных комплексов (золовые, реже эрозионные, суффозионные и др. процессы и явления).

Следует отметить, что Междуречинское понижение, находящееся между крупными животноводческими хозяйствами («Муйнак», «Аптау», «Аспангай» и др.) Каракалпакстана с отдаленных времен служило объектом подготовки корма за счет тростника, высокопродуктивным пастбищем, а многочисленные озера были объектом для ловли рыб. В настоящее время даже в годы маловодья местное население находит выход из положения для обводнения хотя бы отдельных озер (Шеге, Куккуль и др.) и небольших пастбищных и сенокосных массивов. А в годы относительного многоводья обводнению подвергается значительная часть экосистем понижения. Исходя из этого, можно сделать определенный вывод, что до конца прогнозируемого времени отступление в северной и средней полосе будет иметь степень, в основном слабый, местами, возможно, будет наблюдаться средний. В южной части из-за недостаточного обводнения следует ожидать ускорения опустынивания.

Майнестский физико-географический микрорайон соответствует огромному понижению между Акдарьей и Куныдарьей. Для микрорайона характерно ухудшение общего состояния экосистем из-за засоления почв, углубление уровня грунтовых вод, смена растительности в направлении ксерофтизации, неустойчивое функционирование субаквальных комплексов вследствие спорадического поступления речной воды, причем в различном объеме. Попытками исследований установлено, что при отсутствии притока воды из Акдары здесь наблюдается резкое доминирование процесса общего высыхания тростниковых зарослей или перехода их в утепленный вид вететации, происходит повышение минерализации грунтовых вод и углубление ниже 2-3 и 3-5 м от поверхности, засоление почв; сброс значительного объема речной воды ($0,15\text{--}0,20 \text{ км}^3$) приведет

к сплошному покрытию водой ($108 \text{ км} \times 30 \text{ км}$), образованию субаквальных комплексов с богатым биоценозом.

Структура Майнестского микрорайона довольно сложная, здесь выделяются котловины высоких озер и болот и плоские волоразделы между ними. Поэтому в случае необводнения экосистем, здесь уже в первом году обсыхания природной среды сформируется мозаичное структурно-динамическое состояние геосистем, т.е. котловины озер еще полностью будут сохранять субаквальные условия, в то время как бывшее болото создадут супраквальные комплексы. По истечении времени субаквальные комплексы перейдут в супраквальные. Последнее – эловальное, соответственно будет изменяться почвенно-растительный покров. В связи с интенсивным расходом грунтовой воды на суммарное испарение и незначительный отток в сторону осушки моря.

Майнестское понижение в годы относительного многоводья регулярно обводняется. Разработан проект создания Думалакского водоема (но его реализация еще не начата), поэтому мы считаем, что в пределах обводняемой части экосистемы понижение развития процессов опустынивания не будет иметь высокую степень, а не обводняемая будет служить объектом интенсификации эловальных процессов и иллюстрируется, в частности, усиления выдувания субстрата, естественного рассоления, суффозионного расщепления рельефа.

Западный физико-географический микрорайон занимает повышения рельефа между Судочинским и Караджарским понижением. В северной части микрорайона опустынивание связано с соленакоплением, лесификацией, доминированием ксерофтизации растительности, в южной – соленакоплением и экзогенной сукцессией растительности (доминированием мезо- и ксерофитов), в средней – мезо- и ксеро- и галофитов на лугово-такырных луговых и солончаковатых почвах. В северной части обводнение осуществляется на небольших локальных участках, вся осталенная площадь является ареной развития соленакопления и золовых процессов (последние интенсифицируются на периферии коренного берега моря), часть площади к западу от села Караджар перешла в этап эловального развития, в средней полосе из-за обводнения (также фрагментарно) процессы локализованы по отдельным участкам, южная часть является областью постепенного опустынивания вследствие становления эловальных комплексов (кроме отдельных участков, здесь развиты: гидроморфные геосистемы); следовательно, для микрорайона в дальнейшем будет характерно: солесбор в зоне азании, золовое расщепление (северная часть), рассоление (в районе села Караджар), эловальное развитие геосистем (южная часть).

В результате обводнения отдельных участков микрорайона и подтопления с периферийных равнин со стороны озер Судочье, Кеусай, Шагырлык и др. в зоне их воздействия развиваются гидроморфные и полигидроморфные комплексы.

В южной и средней части микрорайона вдоль рек Большой и Малый Джонсиз развиты древесно-кустарниковые тугайные экосистемы. В настоящее время через русла Большой Джонсиз спорадически осуществляется сток из канала Рашдан для подпитывания озерной системы Караджар и Кеусыр, преимущественно в начале лета, а в остальное время расход воды резко уменьшается. Но состояние тугаев в зависимости от водности русла и его протоков сильно отличается по отдельным участкам. В верхнем и среднем течении реки тугаи близки к нормальному состоянию, а в низовьях наблюдается ускоренное опустынивание из-за отсутствия или спорадической обеспеченности русла водой, причем минерализация воды здесь достигает больших величин (1,6-1,8 г/л иногда и больше). По-видимому, соленость грунтовых вод в низовьях реки обусловлена именно относительно высокой минерализацией вод реки, что сказывается на нормальном развитии древесных тугаев. Об этом свидетельствует суковершинность ивы, турангти, а лох вообще отсутствует.

В условиях сохранения существующего количества расхода воды реки, и повышения солености лагерации тугаев будет сказываться также в среднем, а в последующем и в верхнем течении реки. Усилия рубка древесных пород местным населением вследствие отсутствия строительных материалов. До 2020 г. тугайные экосистемы Большой Джонсиз будут подвергаться опустыниванию средней, местами сильной категории.

Кинкаирский (Муйнакско-Кинкаирский) физико-географический микрорайон расположен между Караджарским и Междуречинским понижением. Общая многолетняя тенденция становления и развития эоловальных процессов: золовое расчленение равнины, после источников волны – суффозионные явления; в древесно-кустарниковых тугах, наблюдается деградация и антропогенная сукцессия растительных сообществ: гидрофиты-мезофиты-ксенофиты- псаммофиты.

Еще в 50-х г. микрорайон вышел из зоны сплошного затопления рекой, только местами по отдельным руслям наблюдалась отвод волны разлива Таллыкдары на запад, а с 60-х г. интенсифицируются эловиальные условия, р. Таллык превращена в искусственный канал с расходом около 10-12 м/с, поэтому ее воздействие на периферию ограничено.

Интенсифицируются эловиальные процессы: эволюция лугово-такырных почв в такырные, рассоление остаточных типичных солончаков, выдувание пуховых солончаков. Вследствие усиления автоморфных условий, золовое расчленение равнины, смена растительности: мезофиты-ксенофиты-псаммофиты. В древесных тугах из-за постоянной рубки и стихийных пожаров происходит ликвидация туранговников и юлупников и др. растений, после чего появляются голые участки, склонные к выдуванию (арена для развития барханов).

Эловиальная тенденция развития процессов опустынивания приведет к становлению типичных автоморфных геосистем с соответствующими ксеро- и псаммофитными растительными сообществами на такырообразных, остаточных солончаках и пустынных песчаных почвах, в древесно-кустарниковой тугайной полосе ожидается уменьшение плотности растений, исчезновение наиболее влаголюбивых представителей (лох, ива), сильно сократятся ареалы развития туранговников (они сохраняются лишь вдоль русел), таким образом, ширина тугаев практически уменьшится до 10-12 м от русла, местами тугаи подвернутся сильному опустыниванию, превращаясь в участки развития барханов.

Это особенно касается тех тугаев, которые в настоящее время и в последующем не обводняются. В этих условиях сильнопустыненные тугаи к 2020 г. вообще исчезнут, их места будут заняты юлупновыми сообществами.

Микрорайон считается одной из частей дельты, где наблюдается интенсивная техногенная эрозия, она же ускоряется в результате хождения автомашин по нормам грызунов и старым трещинам усыхания, а также супфозионными явлениями.

Это приведет к расчленению рельефа, а в результате аккумуляции выдущих масс (пески, супеси, суглинки), на периферии котловин выдувания сформируется буристый и барханный рельеф. К тому же дефиниция субстрата способствует широкому распространению в верхних слоях почвогрунтов преимущественно пылеватой супеси, местами песчаной фауны. Все это дает основание полагать, что к концу прогнозируемого времени золовый рельеф будет занимать значительную часть микрорайона. Это тоже с одной стороны подтверждает о резком доминировании эловиальных геосистем в пределах микрорайона к 2020 г.. Не исключено, что на такыровидных почвах, остаточных типичных солончаках ближе к 2020 г. могут появиться всходы черных саксаульников в комплексе с однолетними солянковыми юлупниками. К этому времени уровень грунтовых вод в преобладающей части микрорайона будет снижаться ниже 8-10 м, а активные типичные солончаки перейдут в этап сухоливного режима развития. По нашему мнению, это явление должно начаться с конца 2015 г., и в начале 2020 г. в преобладающей части территории все активные, и полуактивные солончаки станут автоморфными.

Формирование эловиальных геосистем в Кинкаирском микрорайоне свидетельствует о полном переходе бывших интразональных гидроморфных комплексов в сухоливный режим развития, т.е. они приобретут типичные зональные ландшафтные черты, характерные для пустынной зоны. Как известно, подобные ландшафты в департаменте Амударья широко распространены в подчакинской равнине, т.е. к западу от трассы Кунградского коллектора, а также в восточной части дельты, где господствуют субазральные условия.

Акдарынинский физико-географический микрорайон охватывает узкую полосу вдоль рек Акдары, частично Амулары, а также Кипчакдары. Общая многолетняя тенденция деградации тугайных экосистем, экзогенная смена гидрофитов и мезофитов в направлении ксерофитизации. Уменьшение доли древесных пород. Увеличение кустарников, зволюция лугово-такырных тугайных в лугово-пустынны. А также в пески, эрозионный врез берегов Акдары из-за сброса оростительных вод, развитие подвижных песков на месте прирусловых валов.

Интенсификация эрозионного расчленения склонов русла (в зоне орошения), образование подвижных песков (в зоне рубки древесных и кустарниковых пород), деградация тугайных пастбищ (к северу от Порыктау), ликвидация тугаев (к северу Байтуджы), в районе неоднократно Ордбай формируется кустарниковый тугай, где вмешательство человека не происходит, но продуктивность экосистемы низкая.

Интенсивное развитие опустынивания приведет к сильной деградации амуларынских уникальных тугаев, на отдельных участках возможна вообще ликвидация турантовников, ивыников, ложа, и доминирующим сообществом могут стать юлупники, чинильники, черезез и другие кустарники, на сильноопустыненных ареалах получат развитие полыньевые пески.

В определенной степени развитие опустынивания в микрорайоне зависит от водности реки. Экологическая эффективность водного тракта при большом стоке высокая: из-за большой относительной влажности воздуха растения близки к нормальным, при наименьшем стоке состояния растений ухудшается, наблюдается замедленная вегетация. При наибольшем стоке объем фильтрационных вод увеличивается, сработанные линзы вдоль русла заполняются водой, все это положительно сказывается на росте растений, даже далеко расположенных от трассы русла.

Акдарья и ее протоки являются основными районами, где сосредоточены амуларынские древесно-кустарниковые тугаи. В будущем их состояние будет зависеть от, прежде всего, характера их обводнения, сохранения от выброски и пожаров. В отношении обводнения можно сказать, что Акдарья, Кипчакдарья, Ордбайзек, Инженерузек, Аккай и ряд других протоков ежегодно обеспечиваются определенным стоком, но в различных объемах. При этом через русла Акдары и Ордбайзек проходит основной сток Амулары в Арап. В связи с этим обеспеченность многих протоков лельты влагой ежегодно достигает высоких показателей. Русла Акдары и Ордбайзек в связи со снижением базиса эрозии имеют тенденцию углубления, тогда как в других боковых протоках происходит заливание (так как в них отсутствует регуляризированный сток, во время спорадического режима стока основная часть наносов осаждается в руслах). Поэтому тугай по обеим берегам Акдары и частично Ордбайзек как бы висят над урском воды.

рек (местами разница между уровнем волны и поверхностью прирусловых валов достигает 5-8 м, иногда 8-10 м).

В этих условиях, нормальное водобесечение древесных и кустарниковых пород несколко сложно, поэтому старые древесные тугай со временем могут погибнуть. Правда русла Акдары в годы маловодья в районах Порыктау и к северу от Байтуджы искусственно перекрываются с целью направления определенного стока в русло Кипчакдары, Междуречинское и Майпосткое понижения. Но это времменное явление, при большом расходе воды в Акдарье эти земляные плотины в том же году несколько раз разрушаются. Поэтому даже искусственное поднятие уровня воды с помощью земляных плотин не имеет полной гарантии для обводнения тугаев, и здесь необходимы нормальные гидroteхнические сооружения на определенных участках русла Акдары.

Рубка древесных пород тугаев ведется как прежде усиленными темпами. Сейчас, когда наблюдается острый дефицит лесоматериалов, рубка деревьев населением еще больше усиливается, в будущем это имение должно интенсифицироваться, так как численность населения из года в год увеличивается. Конечно, обеспечение населения крупных населенных пунктов природным газом несколько смягчает решение этой проблемы, но газом обеспечивается лишь крупные аулы и поселки, населенные пункты, находящиеся далеко друг от друга, вряд ли будут газифицированы. Поэтому кустарники и деревья тугаев по-прежнему будут использованы как топливо.

Таким образом, к концу прогнозируемого времени состояние амуларынских тугаев по сравнению с 2010-ми г. ухудшится, площади древесных насаждений резко уменьшатся, особенно вблизи населенных пунктов (до радиуса 50-70 км). Доминирующим в значительной части тугаев станут юлупники, т.е. кустарниковый тугай заменит древесный. Населится также ареалы развития дерезы, чинтия и ряда других кустарников, которые в пастбищном отношении не имеют существенного значения. Ликвидация древесных пород в тугаях ускорит эрозию субстрата к дефляции, а местами также водной эрозии, обрушение склонов русел. Все это до 2020 г. в достаточной степени приведет к изменению геосистем, одним словом, можно сказать, что для тугайной головы данного микрорайонов будет свойственно среднее-и опустынивание.

Кипчакдарынинский физико-географический микрорайон занимает территорию к востоку от Майпостского понижения, т.е. бассейн рек Кипчакдары. Общая многолетняя тенденция изменения – становление и развитие эловиантальных процессов: золовое расчленение равнины, возле источников воды суффозионные явления, рассоление относительно повышенных участков, в древесно-кустарниковых тугаях – деградация и антропогенная сукцессия растительных сообществ.

По основному руслу рек спорадический, часто обводняется лишь южная часть бассейна. В годы маловодья стока почти не бывает. В

связи с нерегулярным обводнением бассейна Кундарь наблюдается интенсивное снижение уровня грунтовых вод по всей территории ниже 5-8 м.

Исследованиями в 2010 году установлено, что здесь наблюдается эволюция лугово-такырных почв в такырные, тугайные в лугово-пустынные, в густынныепесчаные и пески. Располение типичных ксерофитных солончаков, смена мезофитных растительных сообществ ксерофитными, усиление золовых процессов (выдувание и образование подвижных песков), рубка деревьев и ненормированный выпас, высыхание древесно-кустарниковых тугаев из-за отсутствия регулярных обводнений.

Интенсификация эловиальных процессов опустынивания способствует повсеместному доминированию золового расчленения равнины, сильной деградации древесно-кустарниковых тугаев, вплоть до их высыхания, рассолению солончаков эловиального типа развития, фоновый почвенный покров становится такырными и пустынными песчаными почвами в комплексе с остаточными солончаками.

Бассейн Кундарь является одним из малозаселенных территорий (супесчано-солевой) стой солончаков местами подвергся выдуванию, дельты Амударьи, здесь природная среда мало страдает от прямого воздействия человека. Только летом служит объектом выпаса, что обусловлено отсутствием нормальных дорог и водных источников (если не считать термальных минерализованных подземных вод скважин). Лишь по древесным тугаям и побережью Джилтырбасского залива (ныне он занят озерно-болотным комплексом) можно встретить охотников и рыболовов. Наибольшее воздействие антропогенного фактора ощущается до трассы дороги Казахдарья – мост Ворошиловузек по Кундарь. В связи с этим, в преобладающей части микрорайона влияние человека на ускорение развития процессов опустынивания выражено в незначительной степени.

Кундарь в последнее время стала регулярно обводняться, особенно в относительно многоводные годы, частично, но спорадически формируется небольшой сток через русла Гедеубек, Актемузек и др. До середины 90-х г. такое обводнение бассейна Кундарь происходило изредка, главным образом по руслу Кундарь. Поэтому до того времени древесно-кустарниковые тугай бассейна сильно пострадали от общего высыхания, снижение уровня грунтовых вод и выдувания почвогрунтов. Регулярное обводнение экосистем тугаев положительно оказывается на вегетации древесных и кустарниковых насаждений. Если в дальнейшем обводнение будет таким же систематическим, то следует ожидать улучшения состояния тугайных фитоценозов. Но все это относится к тугайным болотозам, охватывающим главное русло реки, в то время остальные тугай, расположенные вдоль протоков, подвергаются опустыниванию, наблюдаются их общее высыхание, уже исчезли ива, лож, местами туранга, расширяются ареалы колуна, деревы и чинтия. Если это положение не изменится, то к концу прогнозируемого времени

древесный тугай вдоль протоков будет исчезать. Вместо мезофитов появятся типичные ксерофиты и гелофиты.

Вся территория между тугайной экосистемой Кундарь на западе, и коренным берегом моря на востоке (залив Джилтырбас), которая еще в начале 80-х г., состояла из типичных солончаков, покрытых однолетними солянковыми колутниками ныне повсеместно перешла в этап эловиального развития. Уровень грунтовых вод по индикационным признакам составляет 5-7 м, местами по небольшим участками 3-5 м (по исследованиям в полевых условиях 2010 г.).

Сравнение описанных морфологии типичных солончаков в начале, 80-х г. (супесчано-солевой) стой солончаков местами подвергся выдуванию, обнажились более плотные суглинистые засоленные горизонты. Очевидно, прежние типичные солончаки, переходя в эловиальный этап развития, формируют такие привидные свойства. Образование тонких прослоек за счет осаждений наносов, наилок в процессе накопления жидких осадков в понижениях и на более плоских участках рельефа, образование трещин по поверхности почвы и т.д., в результате рассолающего воздействия атмосферных осадков происходит естественное рассоление верхнего горизонта солончаков, если иккимулируются в нижних слоях.

В северной части бассейна Кундарь наблюдается наступление золовых песков осушки моря в южном направлении. Декодирование космоснимков свидетельствует о том, что по сравнению с концом 90-х г. в настоящее время в полосе 15-30 км в результате транспортировки песка из обсохшей части дна Арала образовались песчаные массивы. По всей вероятности, это явление будет продолжаться и в дальнейшем, так как песок не заросшие и находятся в постоянном движении. К концу прогнозируемого времени определенная часть дельт будет еще покрываться песчаным плащом. Это обуславливается устойчивым ветром, дующим с севера и северо-востока, на юг и юго-запад. При сильных ветрах (15-20 м/с) песок может распространяться и на более южные части бассейна, что приведет к опесчаниванию солончаков.

Причинный физико-географический микрорайон охватывает юго-западную часть северной зоны дельты Амударьи. Область многолетняя расщепление равнины – эловиальное развитие геосистем, золовое тенденции изменения – эловиальное развитие геосистем, золовое расщепление равнины. Прекращение поступления речной воды еще в 40-х г. обусловило снижение уровня грунтовых вод ниже 10 м устойчивого характера, повсеместное доминирование выдувания и рассоления.

Наблюдаются золовое расчленение территории в результате техногенной эрозии, ненормированного выпаса, рубки кустарников, что способствует деградации такырных и пустынных песчаных почв, однолетних солончаковых черно-саксауловых сообществ, соленакопление на периферии орошаемой зоны (понижения под чинком Устюрта).

Усиление техногенной эрозии может привести к дальнейшему опустыниванию путем расширения площадей подвижных песков и

кругло стенных котловин, разрушению такырных почв, увеличению площадей песков и пустынных песчаных почв, выдуванию остаточных пухлых солончаков, механической ликвидации растительности, рубка кустарников и перевыпас скота способствуют уменьшению продуктивности пастбищ до критических пределов.

Причиновая дельтовая равнина Амудары в зоне пастбищного животноводства является объектом активного воздействия хозяйственной деятельности. Здесь проходит трассы магистральных газопроводов, водоводов, ВЛЭП (Высоковольтная линия электропередачи), магистральной дороги, связывающей г. Кунград с шато Устюртом. Имеется месторождение поваренной соли солончак Карумбет (стола люди ездают для лечения соленой грязью из озера происхождения и транспортировки поваренной соли), местное население заготовливает дрова за счет саксаульников, юлгунов и др. Особое значение имеет охота за животными, спускающимися с плато Устюрта на водной к водным источникам (озеро Судочье, Кунградский коллектор, ирригационные каналы).

Все это в комплексе оказывается на изменении структурно-динамического состояния геосистем: особенно в связи с техногенной эрозией. Бесторцальное движение автомашин по такырным и пустынным песчаным почвам и пескам обуславливает ускорение выдувания субстрата по колесам, что часто приводит к дефляции – к образованию различных золовых бугров и барханов. Этим путем идет расщепление такырных равнин и образование типичных золовых форм рельефа.

Заготовка топлива за счет кустарников и саксаула, чиркеса уже привела к деградации пастбищ (продуктивность сейчас не превышает 1-1,5 т/га), самое главное, пастбища страдают в результате беспорядочного движения автомашин и тракторов, под их колесами и гусеницами травянистый покров и кустарники не только вытаптываются, но и погибают.

Эти явления здесь никем не контролируются, и мы считаем, что к началу 2020 г. экологические последствия, достигнут достаточно крупных масштабов. Пастбищные экосистемы деградируют до предела, большие участки земель станут совершенно оголенными и будут заняты преимущественно бугристыми и котловинными формами рельефа. Расширение площади пустынных песчаных почв и песков обусловлит постепенное распространение псаммофитов.

Восточный физико-географический микрорайон занимает восточную часть дельты Амуудары. Общая многолетняя тенденция: эоловидное развитие геосистем, золовое расщепление равнин, рассоление солончаков, деградация пастбищ. Прекращение обволниения экосистем еще в 50-х г., интенсификация техногенной эрозии, перевыпас скота (на юге) и усиление рубки кустарников способствовали трансформации природных комплексов субазральной части дельты в значительной

степени. Это хорошо объясняется развитием и широким распространением преимущественно золовых форм рельефа за счет выдувания дельтовых мелко- и тонкозернистых песков, супесей и суглинков. Наряду с эрозионными, водо-аккумулятивными формами в комплексе встречаются золовые в виде барханов, суглинистых и супесчаных бугров, супесчано-песчаные чоколаки, прикустовые пески и мелкие бугры и т.д.

Субазральная часть дельты Амудары находится между обсохшей частью дна моря и орошающей зоной. Поэтому она является ареной активного воздействия хозяйственной деятельности населения. Самое главное, с орошаемой зоной стола в бессточные понижения обрастают орошающие воды распределителей, отработанные воды рисовых полей и т.д. В связи с этим многие понижения рельефа, расположенные даже на значительном расстоянии от орошаемых земель, представляют собой озерно-болотные комплексы, иногда луговые или болотные солончаки. Коллекторно-дренажные воды транспортируются на обсохшую часть дна Арава тремя магистральными коллекторами КС-1, КС-3, и КС-4. В последнее время хозяйства без инженерного проекта сами осваивают целины земли, которые, как известно, сильно прогнили (остаточные солончаки, солончаковые и солончаковые такыры). Использование супесчаные и песчаные почвы, засоленные супесчаные и песчаные почвы).

Растительный покров данной части дельты неразумно используется в пастбищном животноводстве, кустарники, особенно черный саксаул, беспощадно используются для заготовки топлива. Поэтому здесь практически отсутствуют крупные кусты саксаула, даже юлгана. Использование многочисленных автомашин, тракторов и беспорядочная охота, сбор древесины ускоряют техногенную эрозию почв, особенно такырных, пустынных песчаных почв, песков, остаточных пухлых солончаков. Деградация почв, с другой стороны, оказывает влияние на антропогенную сукцессию растительности. В этом случае пастбища не только теряют продуктивность, но и уничтожаются из-за сплошного выдувания по густым колесам автомашин. Такие почвы после хода автомашин часто разрушаются и превращаются в массу супеси и соли, ничем не закрепленных, а в процессе выдувания полностью теряют почвенные свойства, так как обнажаются нижние, более засоленные и плотные горизонты, которые не благоприятны для вегетации не только ксерофитов, но и галофитов.

К концу прогнозируемого времени природные комплексы субазральной части дельты еще больше будут подвергаться трансформации в результате нерационального использования пастбищных, растительных, земельных ресурсов. В значительной степени расширяются площиади поливных песков, дефляция пухлых остаточных солончаков. Такырных и пустынных песчаных почв и песков будет охватывать новые массивы, так как в Каракалпакстане

практикуется освоение новых земель выборочным путем, т.е. осваиваются земли, наиболее благоприятные для поливного земледелия, хотя они расположены далеко от источников волы и населенных пунктов. Поэтому ценные участки между освоенными будут подвергаться интенсивному изменению, как например, сейчас происходит в районе Туркменкырылган (между хозяйствами «Каракалпако» и «Курашап» и др.).

Таким образом, к 2020 г. в субазральной части дельты будут резко расширяться площахи, подвергаемые золовым процессам, будет происходить деградация пастбищ и уменьшение их продуктивной части за счет усиления лефляции (средняя и северо-восточная), интенсифицируется рубка кустарников (хотя газификация населенных пунктов в значительной степени может уменьшить заготовку топлива за счет саксаула, юлугна и др. кустарников, но летом чабаны, занимающиеся отгонным животноводством, все-таки занимаются заготовкой дров). Нерациональное использование оросительных вод в поливных землях окружает орошение понижениях рельфа приведет к поливным гидроморфным комплексов (озерно-болотные и солончаковые геосистемы). К этому времени, очевидно, будут достигнуты определенные успехи по разумному использованию простительных вод, но в условиях Каракалпакстана раннее водопользование, повидимому, будет ниже по сравнению с другими областями.

Эркиндиринский физико-географический микрорайон соответствует бассейну однокименной реки. Здесь наблюдается становление и развитие эоловальных процессов: золовое расчленение равнины, возле истоников воды – суффозионное явление, в древесных и кустарниковых тугах – деградация и экзогенная сукцессия фитоценозов. Это обусловлено преобразием регуляриного разлива реки и уменьшением стока до минимума, иногда стока и вовсе отсутствует (кроме южной части Эркиндарьи), интенсивным снижением уровня грунтовых вод по всей территории ниже 3-5 м, местами больше, высыханием всех озер и болот.

Наблюдается эволюция лугово-такырных почв. В такырные лугово-такырные тугайные – в лугово-пустынные. Лугово-пустынные – в пустынные песчаные и пески. Смеша мезофитных фитоценозов – неноформированный выпас скота в древесных тугах, ликвидация древесно-кустарниковых тугах для расширения площахи поливных земель.

Интенсификация эоловальных процессов опустынивания способствует повсеместному доминированию золового расчленения равнины, сильной деградации древесно-кустарниковых тугах, виноть до их высыхания, фоновые почвы становятся такырными, остаточными солончаками, пустынными песчаными и песками. На юге в результате частого обводнения местами сохраняются супераквальные комплексы, а

в контактной зоне с орошаемыми землями не наблюдается резкого ухудшения состояния мезофитов, почвы-лугово-такырные в различной степени засоления.

По степени освоенности земельных ресурсов и использованию пастбищных богатств микрорайона его территорию можно разделить на две части: южную (границу можно провести по широте северного склона возвышенности Кусканатая) и северную. В южной части в настоящее время идет интенсивное освоение земельных ресурсов под поливное земледелие. Здесь организован новый Бозатуский административный район за счет ликвидации древесно-кустарниковых тугаев вдоль протоков. И кустарниковых тугаев (между протоками). Но поскольку освоение земель идет по отдельным массивам, то в ряде ареалов по прежнему сохраняются древесно-кустарниковые тугаи, но они в значительной степени деградированы.

В северной части бассейна, поскольку здесь развивается пастбищное животноводство, тугайные экосистемы пока сохраняются. Однако к западу от магистральной дороги Шейхаман-Казаххарья в сторону русла Эркиндарьи еще с начала 1990-х г. начались мелиоративные работы по освоению земель.

По всей вероятности, в южной части бассейна к 2020 г. все цепинные земли будут освоены под орошаемое земледелие. Узкая полоса древесно-кустарниковых тугаев, повидимому, будет сохраняться вдоль обводняемых протоков и вдоль главного русла Эркиндарьи. В условиях дельтовых равнин Амудары вовлечение земель в оборот поливного земледелия без соответствующих инженерных мелиоративных подготовительных работ совершенно противопоказан. Так как уже к первому году эксплуатации земель начнется концентрация солей в корнеобитающем слое почвы, а во втором освоенный массив выйдет из обрата из-за интенсивного подъема уровня грунтовых вод (2-3 м в год).

В северной части бассейна в связи с интенсивным использованием пастбищ к концу прогнозируемого времени их деградация достигнет наибольшей степени, если не будут применены пастбищоохраняющие мероприятия, а также и другие срочные пастбищно-мелиоративные мероприятия.

Рубка древесных пород на лесоматериал и топливо будет сказываться на уничтожении тугайных фитоценозов, в первую очередь, вдоль русла Эркиндарьи, а также ее протоков. Деградация, а в последующем уничтожение тугайных зарослей, обусловлит ускорение дегляции песчаных и супесчаных фаций, выдувание пуховых солончаков. Наряду с крутостенными котловинам рядом с ними возникнут мелкие бугры и барханы. В этом отношении техногенная эрозия автомашин и тракторов местами может ускорить золовые процессы.

В случае регулярного обводнения тугайных экосистем, организации нормального использования пастбищ и применения

научно-обоснованных мероприятий по борьбе с процессами опустынивания, контроля, за рубкой деревьев (кроме санитарной рубки) в значительной степени можно сохранять и даже улучшить состояние фитоценозов, предотвратить неблагоприятные процессы и в целом оптимизацию природной среды.

Пластово-дедувационные возвышенности занимают отдельные участки дельтовой равнины Амуларыи. Среди них выделяются Бельтау (142 м), Кусканатай (138 м), Кызылджарап (118 м), Муйнактау (138 м) и другие, сложенные образованием палеогена и неогена. В хозяйственном отношении указанные возвышенности используются как пастбища, местами организованы карьеры.

Среди них возвышенность Муйнактау наиболее интенсивно изменена в результате хозяйственной деятельности. В настоящее время бывшая рекреационная зона полуострова Муйнак полностью разрушена, в результате выдувания морского песка на обсохшем дне моря сформированы различные золовые формы рельефа. Полевыми исследованиями 2010 г. установлено, что, по всей вероятности, плошадь золовых песков здесь будет расширяться и впредь за счет выноса песка из дна Арала, что связано, с вихревыми (турбулентными) движениями ветра возле кругого (чиколодного) отвесного склона возвышенности.

На Муйнакской возвышенности растительный покров более разреженный, а в юго-восточной части большие площади почти не имеют ни одного куста растения.

При этом на поверхности возвышенности особенно ближе к г. Муйнак местами имеются массивы незакрепленных песков, что очень опасно для данного населенного пункта. Местами (северная окраина города, т.е. в районе начала посёлка Муйнак-Токмак-Учсай) еще в начале 80-х г. возникли небольшие песчаные массивы прямо на улицах и во дворах, крышиках строений и т.д.

Есть все основания полагать, что объем и площадь покрытия песка будут постоянно увеличиваться со временем. На возвышенности рубка древесных и кустарниковых пород является беспорядочно, посев семян пастбищных культур здесь не осуществляется.

Исходя из этого обстоятельства, к концу прогнозируемого времени аридные горные геосистемы приобретут преимущественно золовый характер, сформируются мелкобуристый и мелкобарханный рельеф, свойственный песчаным пустыням, резко возрастет опесчанивание серо-бурых почв и остаточных солончаков.

На возвышенностях Кызылжар и Кусканатай, а также Бельтау несколько увеличится эрозия склонов не только за счет рубки кустарников, но и в результате создания карьеров, техногенной эрозии. В Кусканатай будут интенсифицироваться золовые процессы в связи с возрастанием рубки кустарников и техногенной эрозией.

3. ПРОГНОЗ ИЗМЕНЕНИЙ ГЕОСИСТЕМ ОБСОХШЕЙ ЧАСТИ ДНА АРАЛЬСКОГО МОРЯ В ПРЕДЕЛАХ УЗБЕКИСТАНА

Обсохшая часть дна Аральского моря является классическим регионом по исследованию динамики опустынивания в многолетнем разрезе. Зону осушки моря в этом аспекте можно изучить в перспективе (начиная с 1961 г.). Современном и будущем состояния, применяя самые различные методы и подходы. Обусловлено высокой динамичностью геосистем, сложившейся тенденцией их изменения, мононаправленностью трансформации природных комплексов. От субаквальных – гидрологенных до золовых – золовых групп и др. Высокая динамичность геосистем обуславливает быстрое изменение ландшафтных ситуаций в пространстве и во времени, поэтому предвидение этих трансформаций заранее дает информацию человеку об ожидаемых природных процессах и явлениях, имеющих разнохарактерные свойства и особенности. В зависимости от ожидаемых свойств и масштабов их развития можно предварительно разработать систему мер по их преобразованию.

Масштабы опустынивания осушки моря несравнимо огромные, еще конкретно не известно, что будет через 10, 15 лет и далее в этом регионе в результате его прогрессирующего усыхания. К настоящему времени уже известны ряд гипотез о последствиях аральской катастрофы, но они часто противоречат друг другу. Человечество практически впервые сталкивается с такой широкомасштабной трагедией в аридной зоне огромного водоема, существовавшего длительный период, но исчезающего за очень короткое время. В связи с этим, прогноз изменения обсохшей части дна моря со всеми его последствиями в контексте с определением гидрологического состояния и гидрохимических условий Арала в будущем крайне необходим.

На основе результатов прогноза следует разработать стратегию борьбы с негативными процессами и явлениями на осушке моря и определить возможности сохранения моря на определенной отметке. будущее состояние осушки моря тесно связано с гидрорежимом Арала. Теоретически установлено, что чем на более высокой отметке мы сможем стабилизировать уровень моря, тем в относительно меньших масштабах будут оказывать влияние последствия его усыхания на окружающую территорию, и, наоборот.

3.1. О приемах прогнозирования изменения геосистем осушки моря

Будущее состояние геосистем обсохшей части дна Аральского моря можно прогнозировать разными приемами. Можно осуществить прогноз трансформации природных комплексов по отдельным секторам. Допустим, по секторам бывших заливов (Алжидай, Муйнак, Рыбачий и т.д.). Дельты (Амуларья, Сырдарья, Акснадарья, Инкардарья

и т.д.). Типам коренного берега (полластный, чинкообразный и др.) и т.п. Прогноз можно осуществить также по отдельным видам ландшафтов осушки моря, но если учитывать высокую динамичность геосистем во времени и в пространстве, то в этом варианте осуществление самого процесса прогнозирования намного усложняется.

Нами осуществлен прогноз по определенным изобатам от коренного берега 60-х г. до уреза воды 2012 г. или до 25,6 м абсолютной высоты (28 метровая изобата).

Удобства прогнозов по определенным изобатам заключается в том, что по ним можно мысленно разработать рабочую гипотезу основных изменений в структурно-динамическом состоянии геосистем, допустим от начала снижения уровня моря до любого года от 1961 г. до 1980, 1990, 2000, 2010, 2020 года. Изобаты, отображая глубину моря, с другой стороны, дают информацию о времени наступления или завершения тех или иных этапов трансформации (эволюции) природных комплексов. Заранее устанавливая среднее значение (коэффициент) снижения зеркала моря, можно предварительно определить, когда же га или иная изобата будет подвергаться высыханию или станет урезом морской воды и др.

Таким образом, прогнозирование по изобатам имеет свои преимущества и дает достоверную информацию о будущем состоянии природной среды осушки моря.

3.2. Методы прогнозирования изменения природных комплексов осушки моря

Главный метод прогнозирования – это логический, также необходимо использовать прогнозный космонидикационный (ландшафтно-индикационный), экстраполяционный, ландшафтно-эксплоатационный, математического моделирования, и др., которые дополняют друг друга и контролируют выявляемые научные результаты. *Логические методы* основаны на применении определенной последовательности мыслительных операций и используются или в случае очень простого, или сложного объекта прогнозирования. В условиях обхождения части дна моря исследователь сталкивается с достаточно сложной динамической системой природной среды, поэтому целесообразно применить логические методы прогнозирования. Прежде всего, здесь прогнозирование отличается в одном макрообъекте последовательного изменения геосистем во времени, вследствие чего логическое мышление позволяет выявить отдельные погодные изменения природной среды. Конечно, все это осуществляется на базе качественных материалов, но детальное ознакомление со структурой каждого этапа изменения геосистем позволяет выявить ряд количественных значений (глубина залегания уровня грунтовых вод, количество солей в почвах, степень минерализации поверхностных и грунтовых вод, и т.д.).

Прогнозный космонидикационный метод основан на результатах лешифрирования снимков. При этом, выявляя отдельные устойчивые элементы рельефа, почвы, растительности и др. компонентов, которые сформировались еще в начале становления отдельных морфологических частей ландшафтов, можно предсказать их будущее состояние, обнаружение лонных песчаных отложений в пределах обсохшей части дна моря позволяет дать много прогнозных информативных материалов для предсказания будущего состояния геосистем, охватывающих эти отложения. Песчаные морские равнины после обнаружения из-под воды еще долго будут типичными солончаками, только после снижения уровня грунтовых вод ниже 1-2 м могут слабо подвергаться поверхностному выдуванию. Однако верхний слой песчаных солончаков из-за наличия солей в большом количестве (свыше 3%) обуславливают его уплотнение, при этом присутствие солей натрий хлоридного состава способствует формированию корковых солончаков, что свидетельствует об устойчивости грунта дефляции.

Песчаные засоленные грунты могут подвергаться выдуванию, когда зеркало грунтовых вод будет снижаться ниже 2-3 м и глубже, однако верхний солевой барьер еще долго будет сохранять песок от выдувания. В течение значительного времени под воздействием атмосферных осадков соли рассасываются естественным путем, при этом склонность песчаных солончаков к выдуванию постепенно увеличивается.

Постепенно слабая степень дефляции заменяется средней, сильной и одновременно интенсифицируется становление и развитие золовых форм рельефа, которые в дальнейшем будут закрепляться псаммофитами и ксерофитами.

Одним из методических приемов *ландшафтно-прогнозной индикации* является анализ структурно-генетических динамических рядов. Основной объект исследования – пространственные ряды геосистем в пределах определенных полос (экосистем). В пределах осушки моря от уреза морской воды до коренного берега моря наблюдается ряд динамических полос, которые по мере снижения уровня моря сменяют друг друга. Это в основном маршевая зона или маршевые солончаки, далее идут полосы болотных, луговых, типичных солончаков, остаточных солончаков, такирных остаточных солончаков, полоса золовых песков.

Поэтому, заранее определив ту или иную геосистему в той или иной динамической полосе, можно безошибочно предсказать их будущее состояние, ибо они постоянно сменяют друг друга в направлении от современного берега до коренного, т.е. от гидроморфных условий до элювиальных. Однако этот метод эффективен в настоящее время, а через определенное время, в частности, когда берега моря начнут покрываться чистой солью, т.е. сформируются шоры, структура полос в значительной степени изменится. В результате углубления уровня

грунтовых вод в зоне типичных солончаков ниже 5-7 м поверхности на значительной части осушки моря будут развиваться остаточные (элювальные) солончаки, иными словами, выраженность нынешних динамичных генетических полос несколько упростится, и разработать по ним прогноз изменения природных комплексов будет сложно.

3.3. Факторы прогнозирования изменения геосистем осушки дна Аравийского моря

В прогнозировании трансформации геосистем обсохшей части дна моря величущее значение имеют литогенные, гидрогенные, биологические и другие факторы. Об этих факторах и их роли в изменении природных комплексов было сказано в первой главе (параграф 1.4, 1.5) в достаточной мере, поэтому здесь они рассматриваются в сжатом виде.

Основу прогнозирования составляют литогенные факторы, т.е. условия рельефа и литологический состав отложений. Зона осушки моря отличается почти идеальной плоскостью (угол от устья Кунядары до центра моря составляет 0,00012-0,00013°), равнинность с постепенным снижением к его центру. С этой особенностью рельефа связан весьма замедленный отток грунтовых вод, скользящий на постепенном увеличении степени их минерализации от коренного берега, беспрепятственное движение ветра на значительное расстояние, и др. Микрорельеф и отчасти мезорельеф обсохшей части дна моря, несмотря на общую плоскую равнинность, в достаточной степени стоящий. Микрорельеф, в общем, то не очень сложный, но частое сочетание повышений и понижений с несколько приподнятыми водораздельными склонами образуют пеструю мозаику. Понижения с относительной глубиной от 10 до 20, реже 30 см часто образуют удлиненную, овальную, изрекла круглую форму. Повышения также создают удлиненную местами округлую форму. Переход от понижений к повышению рельефа плавный, почти незаметный, склон между ними достаточно длинный. С своеобразие микрорельефа обусловленного дном моря непосредственно сказывается на характере солесбора в почвах.

Геоморфологические особенности Аравийской впадины, с точки зрения прогноза развития рельефообразующих процессов, изучены А.С.Кесь и др. (1984).

Литологический состав отложений зоны азрации преимущественно однородный. В верхней пачке преобладают супесчано-суглинистые топши, переслаивающиеся песками речного генезиса, иногда до больших глубин, резко преобладает мелкозернистый песчаний слой, переслаивающийся линзами ступеней и суглинков; в нижней пачке преобладают отложения тяжелые по механическому составу, но иногда отмечается наличие прослоек песка, алевритов. В юго-западной обсохшей части дна моря от устья Средней байтузек до субмеридионального мыса Тигровый хвост отмечается наличие широкой полосы (от 3 до 15 км) отложений

мелкозернистых песков, что хорошо прослеживается на космоснимках. Эта полоса в районе бывшего Тигрового хвоста резко поворачивается на север и продолжается в сторону новой осушки в виде острова, который далее направляется в сторону бывшего острова Лазарев. В связи с сильной пропитанностью солями эта полоса на снимках образует яркую белую окраску, как свеже выпавший снег.

В верхней части склонов впадины преобладают пески, которые покрывают наибольшие площади на востоке. По мере перемещения к центру впадины пески сменяются крупноалевритовыми, затем мелкоалевритовыми илами. Днища большинства котловин покрыты глинистыми илами. Такие илы распространены не только в наиболее глубоких центральной и западной котловинах, где наблюдается зона застоя морской воды, но и в менее глубоких котловинах Малого моря.

Распространение отложений преимущественно тяжелых, по механическому составу в комплексе с незначительной расщепленностью рельефа способствует формированию недостаточной дренажированности территории, местами зона осушки моря практически не дrenирована. Этим особенностям обязано повсеместное соленакопление в зоне азрации, причем по мере приближения к урезу морской воды, количество аккумуляции солей в профилях почвогрунтов (солончаков) увеличивается, поскольку в этом направлении повышается степень минерализации грунтовых вод.

Растительность, как чуткий индикатор изменения солевого состава и объема солей в почвах и грунтовой влаги, считается весьма динамичным фактором в прогнозировании тенденции изменения гео- и экосистем, в особенности обсохшей части дна моря. Здесь необходимо хорошо себе представить изменения экологических рядов растительности по мере удаления от уреза морской воды в направлении коренного берега по определенным полосам. Смена растительных сообществ, в связи с изменением экологических условий наблюдается четко и закономерно (от галогидрофитов до типичных песчаных фитоценозов). Однако эта закономерность с избагт 18-19 м будет несколько нарушена, вследствие непосредственного образования щиров за счет испарения грунтовой влаги. Следовательно, примерно с этих избагт на солончаках осушки моря не ожидается появления каких-либо галофитов, тогда этот фактор используется лишь в пределах избагт 0-18 м.

По мере углубления уровня грунтовых вод и эволюции различных видов солончаков в элювальных тенденции солевой режим почв несколько изменяется, они становятся близко, местами глубоко солонакватыми, т.е. происходит рассоление верхнего слоя почвы с накоплением их в нижних горизонтах. Эти экологические изменения в почвах приведут к смене растительных сообществ. Начиная с распространяться ксерофиты с повышенной солестойкостью.

Наличие значительного объема солей в зоне азрации почвогрунтов с повышенным содержанием ионов хлоридов и натрия вредли

ладут возможность вегетации новых сообществ растительности. Поэтому распространение ксеро- и галофитов на новых ареалах будет относительно медленным, как это сейчас наблюдается на осушке моря в ареалах типичных остаточных солончаков. Не исключено, что остаточные солончаки осушки моря в течение определенного времени будут почти голыми из-за тяжелых условий вегетации.

3.4. Прогноз изменения геосистем обсохшей части линии Аравьского моря до 2020 года

Берега Аравьского моря в геоморфологическом отношении имеют сложный характер: южный и восточный берега более пологие, песчаные (восточное побережье) и суглинистые (южное побережье), в то время как западные и северные (местами) крутие и сложны коренными породами до четвертичного возраста. Вследствие сложного характера берега моря, его днище также имеет различные свойства: в южной и восточной части днище постепенно понижается без каких-либо резких углублений, в то время как в остальной части наблюдаются резкие углубления прямо с коренного берега на несколько метров с хорошо выраженным уступами. Эта особенность береговой части определяет свойства природных процессов, развивающихся в осушенной части моря на тех или иных участках.

Аравьская владина в морфоструктурном отношении – сложное образование. Она в меридиональном направлении между бывшими полуостровами Муйнак и Куланды пересекается тектоническим валом. Наиболее возвышенные его части образуют бывшие острова Возрождение, Лазарева, Комсомольский и др. К востоку от этого вала впадина имеет выровненный рельеф с преобладанием полого наклонных, слабо террасированных, шельфовых равнин с незначительным уклоном в десятитысячной доле. К югу от бывшего острова Барсакелмес и к востоку от бывшего острова Возрождение в южном направлении тянется относительно глубокая котловина (длина около 100 км), граница ее соответствует 28-ми метровой изобате. Днище этой котловины в основном плоское. К западу от тектонического вала вблизи восточного чинка Устюрта тянется длинный и узкий Предустюртский желоб, к которому приурочены наибольшие глубины моря, граница котловины соответствует 50-ти метровой изобате. Дио желoba в наиболее пониженных местах достигает отметок -16 м ниже уровня моря. От меридiana бывшего острова Возрождения в сторону желоба склон понижается террасообразно с крутыми уступами. Наличие двух котловин в двух частях большого моря определяют характер геосистем будущего состояния осушки моря, когда его уровень снижается на 30 м, при этом структурно-динамическое состояние геосистем западной и восточной частях будет резко отличаться между собой из-за характера расчленения рельефа.

Изобата 0-5 м. Окончательно высохла в период 1961 (53,3 м абсолют.) - 1976 (48,4 м абсолют.) гг. При этом в южных заливах, особенно в Аджибайском, Муйнакском и Рыбакском, а также в зоне Акпеткинского архипелага обнажилась значительная часть линии Аравы. А в пределах юго-западного берега, где чинк Устюрта вплотную подходит к берегу, узкая полоса. Данная полоса осушки моря в преобладающей части сложена в верхней части песчаными донными отложениями речного генезиса, под ними лежат преимущественно иловатые глины и илы, иногда суглинисто-супесчаные грунты, переслаивающиеся алевритами и песками. По мере высыхания днища моря в этой полосе, пески стали подвергаться переработке процессами деформации. В настоящее время здесь сформировались типичные золотые формы рельефа: барханы, буристые, прикустовые (фитогенные) пески, котловины выдувания и др. Современное состояние природных условий золотых песков изобат 0-5 м в достаточной степени охарактеризовано в научном отчете Отдела географии Института сейсмологии АН РУз за 2009-2011 гг.

Развитие золовых песков в направлении совершенствования отдельных форм рельефа продолжается. Под воздействием ветра, особенно северного и северо-восточного, а иногда западного румбов, буристые, барханные пески приобретают типичные морфологические формы, наблюдается их укрепление, т.е. рост в высоту, длину и ширину. К концу прогнозируемого времени нынешние мелко- и среднебуристые пески становятся крупно- и высокобуристыми до высоты 4-6 м, мелко барханные и средние барханные пески – крупно- и высоко барханными до высоты 4-6 м и более.

Барханные цепи в начале 2020 г. начнут переходить в стадию формирования грядовых песков, так как к этому времени будет увеличиваться количество параллельных барханных цепей. Новые барханы, очевидно, будут формироваться в тыловой части полосы золотых песков за счет выдувания донных песков и накопления песка, транспортируемого ветром с северных территорий. Для полосы золотых песков будут характерны буристо-барханные пески. А в контактной зоне с остаточными такирными солончаками, кучевые пески в комплексе с буристыми.

В прогнозировании развития золовых песков необходимо учитывать степень закрепления псаммофитов. К северу от Рыбакского коломы полянки пески в настоящее время закреплены в достаточной степени пескобобовыми сообществами, в частности, черкезом, черным саксулом, колпумом, в нижнем яруссе – эфемерами, однолетними солончаками. Просективное покрытие растительности устойчиво усиливается. Это достигнуто в результате посева семян псаммофитов. В то же время в окрестности г. Муйнак, особенно возле бывшего склада нефтепродуктов, пески на большой площади поливные, наблюдаются наступление песка в сторону бензоапарачной станции. К концу 2020 г. значительная часть золовых песков изобат 0-5 м будет закрепляться различными псаммофитами, ксерофитами и др. группировками. Это

подтверждается, прежде всего, завершением формирования золотых форм рельефа в этот период и переходом в этап закрепления растениями.

Мощность подвижных песков увеличивается от тыловой части полосы в сторону копенного берега моря. Естественно, в том же направлении увеличивается высота бугристых, барханных песков. Дальнейшее развитие выдувания субстрата за счет расширения ареалов золовой переработки донных песков приведет к увеличению ширины песчаной полосы. В районе бывшего залива Аджибай она достигнет 15-18 км и более, в Рыбаком – 12-14 км, в районе Узункаир (к востоку от бывшего мыса Аккала) – 10-12 км и более. На юго-западном берегу, под чинком Устюрга, широта золовая зона возникнет к северу от бывшего Нараболе широкая золовая зона достигнет не менее 1-2 км. Наиболее широкая золовая зона возникнет в северном направлении тянется Муйнакского полуострова, здесь в песчаная полоса, обнаженная в период второй половины 80-х г. Здесь ширина золовых песков будет не менее 7-8 км, местами до 10 км.

На новых площадях арены действия ветра из-за малой мощности подвижных песков будут развиваться мелко- и отчасти средне-буристые формы рельефа в комплексе с мелкими барханами (высота до 1 м). Закрепление подвижных песков растительностью будет происходить интенсивнее из-за близкого залегания уровня грунтового потока, идущего со стороны озера Судочье, Муйнакского, Рыбакского волесов.

В конце 80-х г. институтом Узтипроминводхоз был подготовлен проект строительства водоема в районе бывшего залива Аджибай, имеющего рыбохозяйственное значение, объем чаши 290 млн. м³, расчетная водоподача 821 млн. м³/год. Если проект этого водоема был бы реализован до 2005 года, то закрепление песков до определенного расстояния было бы интенсивным. Это касается также бывшего Муйнакского и Рыбакского заливов, где запроектированы одноименные водоемы с проектными объемами 300 и 335 млн. м³. В целом в зоне инфильтрации указанных водоемов подвижные пески подвергаются зарастанием значительной плотности различными растительными сообществами (мезофиты, ксеро- и галофиты).

Бывший залив Джилтырбас превращен в озерно-болотный

комплекс, в связи с притоком сюда Казахдары и коллектора КС-1, этот комплекс и впредь будет функционировать, поскольку стока направлен сток указанных сетей с достаточным объемом воды.

В устье коллектора КС-3 в субмеридиональном направлении сформирован также озерно-болотный комплекс. Акватория, которого сильно меняется в зависимости от количества стока, в некоторые годы сливается с Джилтырбасским комплексом на периферии, т.е. в зоне влияния этого комплекса подвижные пески, судя по космоснимкам (2000-2012 г.), закреплены мезофитами и галофитами, и в будущем этот процесс сохранится.

Бывший Акметкинский архипелаг, ныне окончательно высохший, претерпевает континентальное дефиниционно-гидрохимическое изменение. Сюда же поступает сток коллектора КС-4, который сформировал также озерно-болотный солончаковый комплекс. Бывшие фильтрационные озера и заливы высохли, но в глубоких котловинах еще сохраняются активные солончаки, покрытые рассолами, некоторые солончаки окончательно высохли и превратились в соляные залежи. К концу прогнозируемого времени все солончаки – щоры перейдут в суходольный этап зволюции, т.е. превратятся в солевые залежи, некоторые (в основном мелкие) засыпятся песком. Грядово-буристые пески между ними будут закрепляться паммофитами, но склонны их будут обогащаться кристаллами солей (пушонками тенарита), а также гипса, которые будут выделяться с шоров. Поэтому ветегация паммофитов будет затруднена, широкое развитие, возможно, получат ксеро- и галофиты в разрезном виде.

Прогноз по изобиети 6-10 м. Эти изобиеты соответствуют открытой части осушки моря, за полосой высохших заливов и многочисленных островов (архипелагов) осушенной части дна моря, где оно становится более ровным и просторным с однообразным плоским рельефом. Данная полоса окончательно высохла в течение 1977 (48,3 м абсолют.) – 1984 (43,1 м абсолют.) гг. В те годы она представляла собой типичные солончаки, всюду преобладали луговые, корковые и пухлые солончаки с активным соленакоплением. Развитие солеобразования после отступания моря непосредственно связано с плоским рельефом осушенного днища моря, доминирование тяжелых по механическому составу грунтов (сочетание средних и тяжелых суглинков с тонкозернистым песком и глиной, илом), которые обуславливают весьма замедленный полземный отток грунтовых вод, а местами практическую бессточность, что оказывается на расходе грунтовой влаги. Именно из-за расхода значительной части грунтовой влаги на испарение происходит концентрация большого объема солей в активной зоне аэрации.

В настоящее время активные солончаки этой полосы в основном перешли в этап суходольного развития, так как уровень грунтовых вод в преобладающей части территории лежит на глубине 5-7 м и ниже. Лишь в средней полосе обсохшего бывшего дна залива Аджибай и западной половине бывшего Муйнакского залива. Из-за затопления и подтопления со стороны озера Судочье в относительно многоводные годы уровень грунтовых вод приподнял, местами составляет 0,5-1,0 и 1-2 м, а в основном 2-3 м, т.е. здесь распространены типичные солончаки в комплексе с луговыми и болотными. В устье протока Аккай также в результате разлива воды сформировались болотные геосистемы в комплексе с луговыми и болотными солончаками. В устье р. Кунялры при наличии стока в русле в отдельные годы развиваются гигроморфные комплексы в сочетании с озерными.

Озерно-болотный комплекс Джилтырбас имеет прямой выход к морю, особенно яично это выражено в годы многоводья. Широка

прохода колеблется от 3 до 5-6 км и более. Влияние субаквальных комплексов на периферию составляет от 200 до 300-400 м. Динамика супраквальных и субаквальных комплексов здесь полностью зависит от режима волности прохода: при сужении водного тракта расширяются плоскими галофитных комплексов, при расширении – субаквальных. Таким образом, структурно-динамическое состояние геосистем изобаты 6-10 м в достаточной степени сложное, что обуславливает также сложность их будущей структуры в связи с различными уровнями режимами грунтовых вод.

В контактной зоне с полосой золовых песков на относительно плоских равнинах наблюдается сочетания солончаков с отдельными локальными формами золовых аккумулятивных песков. Здесь отмечается развитие сарсазановых солончаков, которые в настоящее время перешли в этап отакырования. Верхний слой под воздействием атмосферных осадков рассолится, соли накапливаются в нижних горизонтах почв. Обессоливание самого верхнего слоя обусловливает формирование мелких трещин, они же в результате влияния ветра и солнечных лучей приобретают типичный такыровидный характер.

К концу 2020 года эти солончаки приобретают типичные такыровидные свойства в комплексе с мелко- и среднеобугристыми золовыми формами.

Сарсазановые сообщества заменяются черносаксауловыми, остаточные такыровидные солончаки, возможно, также будут по отдельным ареалам заняты черными саксаулем в комплексе с однолетними солняками и другими полукустарниками, характерными для засоленных такырных почв.

Остаточные типичные солончаки, которые в настоящее время находятся в стадии становления, формирования, в начале 2020 года перейдут в этап отакырования, уже сейчас на локальных участках наблюдается этот процесс. Со временем, по мере интенсификации процессов рассоления и такыробразования остаточные солончаки приобретут свойства отакырования. Пухлые солончаки, подвергаясь выдуванию и вымыванию, лишатся пухлого слоя, нижний относительно уплотненный горизонт, растрескивается, образует трещины, заполненные солевыми кристаллами, мелкоземом и битыми ракушками. Но это будет характерно для повышенных участков рельефа, в то время в понижениях, депрессиях, занятых корковыми солончаками, переход в этап отакырования, очевидно, будет происходить относительно медленно из-за наличия большого количества солей в верхнем горизонте почвы. Обычно корковые солончаки в связи с уплотненностью верхнего солевого горизонта (присутствие в значительном количестве солей натриево-хлоридного состава обуславливает образование плотной солевой корки) в меньшей степени подвергаются рассолению и выдуванию.

Остаточные корковые солончаки позже перейдут в этап отакырования. Кроме того, поскольку они занимают понижение рельефа, здесь наблюдается постоянное накопление солей, вымытых со

склонов и периферийных участков, что также будет отрицательно скаживаться на новой стадии развития.

Формирование новых элювиальных геосистем за счет эволюции остаточных солончаковых комплексов в большинстве случаев зависит от механического состава почвогрунтов. Суглинистые и глинистые солончаки после перехода в элювиальную стадию развития в дальнейшем обуславливают становление такырных геосистем с соответствующими растительными сообществами. Солончаки, имеющие песчаный механический состав, в элювиальной стадии развития способствуют зарождению, становлению и развитию пустынных песчаных почв и песков засоленного типа. Следовательно, на базе этих солончаков образуются золовые песчаные природные комплексы с ксерофитными сообществами. В пределах осушки моря лесистые пески занимают значительную площадь, но вскоре они образуют пестранные солончаки из-за наличия большого количества солей в их профилях (свыше 3-5%). Песчаные отложения, судя по большой их водопроницаемости, большие будут подвергаться рассолению и высыханию. Поэтому в ареалах распространения песка (бывший Залив Альбай, Муйнакский, западная половина Акпеткинского архипелага, восточная часть осушки моря и др.) будут формироваться золовые формы рельефа.

Таким образом, будущее структурно-динамическое состояние геосистем изобаты 6-10 м различное, темпы становления и развития неокомплексов в зависимости от характера литогенной основы будут наблюдаться дифференцированно, поэтому к концу прогнозируемого времени появятся природные комплексы с различным динамичным состоянием и морфологическими структурами. В связи с этим в будущем геосистемы осушки моря в этой изобате будут более разнообразными с различными структурно-динамическими состояниями.

Прогноз по изобате II-II 7 м. Данная полоса осушки моря стала развиваться как континентальная геосистема с 1985 г. (43,0 м абсолют), в 1994 г. зеркало моря снизилось почти на 17 м, что соответствует 36 м абсолютной высоты. Поскольку берег моря прогрессивно отступает ежегодно, площадь этой полосы также устично расширяется. В то время ее тыловая часть в результате углубления уровня грунтовых вод ниже 5-7 м от поверхности постепенно приобретает природные свойства предыдущей изобаты. Поэтому геосистемы этой изобаты в значительной степени динамичны.

Однако в многоводные (1992 г. - 28,9 км³, 1993 г. - 18,8 км³, 1994 г. - 21,7 км³, 1998 г. - 23,9 км³) годы с поступлением из русла Ордабайзека значительного количества стока в море его зеркало стало снижаться медленнее. Так как количество расхода воды на испарение приближается к величине приходной части водного баланса, включая объем атмосферных осадков, грунтовых вод. В связи с этим в дальнейшем (если сток реки выше 30 км³ в год) не будет наблюдаться

резкого снижения акватории Арала. В этом случае, по мере повышения (средняя соленость 70-90 г/л) минерализации вод моря в зоне будущих маршевых солончаков, непосредственно будут откладываться соли сульфатно-хлоридного состава с повышенным содержанием натрия. При условии уменьшении стока реки Амударьи (менее 30 км³ в год) отложение солей еще больше увеличится. Однако это событие будет происходить при условии повышения солености морской воды около 80-100 г/л. Для достижения этого предела минерализации уровень моря должен снизиться еще на несколько (3-4 м) метров.

Развитие соленакопления в будущей маршевой зоне будет способствовать широкому распространению шоров, что не позволит вегетации даже супергалафитов. Стабилизация ила, по крайней мере, замедленный спад уровня моря будет сказываться на повышении минерализации грунтовых вод в зоне распространения будущих луговых солончаков, так как замедленный отток грунтовой влаги приведет почти к полному их расходу на испарение. Следовательно, этим обусловлено также накопление в зоне аэрации солончаков значительного количества солей. Близкое запегание уровня грунтовых вод (2-3 м) в зоне распространения луговых солончаков в связи с замедленным снижением уровня Большого моря обусловлит их развитие в этой стадии еще долгое время. Но концентрация солей в чрезвычайно большом количестве не будет позволять вегетации галафитов. Возможно, следует ожидать разреженного покрова однолетних солоников, преимущественно по повышенному рельефу, где в верхних горизонтах почв солей содержится относительно меньше. По понижениям рельефа распространятся корковые солончаки без растительного покрова.

В юго-западной части осушки моря, т.е. между тектоническим валом Муйнак-Куланда и руслом Ордабайузек, где обнажаются пески речного генезиса. Но сильно обогащенные солями по всему профилю, представляющих собой песчаные солончики с преимущественно высокими однолетними солняками, к концу прогнозируемого времени в пределах изобаты 11-13 м будут развиваться остаточные солончаки. К этому времени уровень грунтовых вод будет снижаться до 7-8 м и более.

Высыхание верхних горизонтов песков будет увеличивать их податливость к выдуванию. Поэтому здесь следует ожидать появления золовых форм рельефа, сильно обогащенных солями, следовательно, растительный мир будет иметь сложный состав, включающий и псаммофиты, и галафиты. Но в начальном этапе формирования и развития бугристых и барханных форм рельефа растительность вряд ли будет охватывать большие ареалы. Поэтому в стадии становления и развития золовых форм рельефа здесь будут характерны голые пески под воздействием северо-восточных и западных ветров.

Подвижные пески будут развиваться также в зоне тектонического вала Муйнак-Куланда, конечно, подвижные пески будут занимать верхние горизонты песчаного грунта, а нижние из-за влажности долго не будут подаваться выдуванию, дефляцию может задерживать сильная обогащенность песка солями, увеличивающая плотность верхних горизонтов (соль будет цементировать песчаные зерна). Другие части песчаных солончаков будут подвергаться аридной денудации в последующий период, когда уровень Большого моря снизится на 26 м.

По нашему анализу, песчаные массивы под воздействием северо-восточных ветров могут ежегодно мигрировать в сторону северо-восточного склона возведенности Муйнактау и северных склонов бывшей Песчаной косы. Продолжение узкого коридора от северо-западного угла бывшего полуострова Муйнак до бывшего мыса Титового хвоста, также от южной периферии тектонического вала в сторону обсохшего бывшего дна залива Аджибай. При этом навойные пески и вообще песчаные отложения могут покрыть значительную часть осушки моря не только на юге, но и на востоке обсохшего дна Арала.

Анализ будущего состояния на 2020 год геосистем по изобате 11-17 м показывает, что здесь ожидаются серьезные изменения в структурно-динамическом состоянии солончаковых комплексов. Это непосредственно связано с повышением минерализации морской воды, верховодки и грунтовых вод осушки во времени.

Нынешние типичные и частично луговые солончики перейдут в этап суходольного развития в связи со снижением зеркала грунтовых вод до 7-8 м и более. При этом в тех геосистемах, где распространены песчаные засоленные отложения, следует ожидать развития эоловых форм рельефа. Аридные процессы будут обуславливать зарождение, становление и развитие преимущественно котловинно-буగристых и барханных песков. Параметры этих форм рельефа в начале 2015 г. будут иметь небольшие величины (высота бугров и барханов не более 1-1,5 м), а в последующем в период 2015-2020 гг. достигнут своих максимальных величин, и постепенно зарастут псаммофитами и ксерофитами в комплексе с галафитами.

Нынешние луговые солончаки в начале, перейдут в этап типичных солончаков, но он будет продолжаться относительно долго вследствие постепенного снижения уровня моря.

В дальнейшем по мере углубления зеркала грунтовых вод типичные солончики приобретут признаки элювиальных солончаков. При этом, если верхние горизонты солончаков состоят из песка и шелвита, на их месте сформируются золовые формы рельефа, а из суглинка и супеси – остаточные солончики без аридной денудации.

Маршевые солончики постепенно эволюционируют в болотные и луговые, а в дальнейшем – в корковые солончики. Содержание значительного количества солей в солончаках не дадут возможности вегетации в них однолетних солняков, т.е. здесь будут развиваться голые маршевые, луговые и типичные солончики.

Обычно луговые солончаки определяются, судя по растительному покрову, но поскольку в данном случае солянки будут отсутствовать, то их можно назвать «влажными» или «мокрыми» солончаками.

Прогноз по изобите 18-30 м. Данная полоса осушки моря стала разиняться также как континентальная геосистема с 1995 г. (35,0 м абс.), по 2012 г. (25,6 м абс.). В 2012 г. зеркало моря снизилось на 28 м, что соответствует 25 м абсолютной высоты.

По нашим прогнозам к 2015 г. уровень моря снизится на 32,5 м и достигнет отметки 20,5 м абсолютной высоты. Площадь осушки составит 60 тыс. км², из них более 25 тыс. км² будут заняты солончаковыми равнинами, лишенными растительности, около 35 тыс. км² станут зоной проявления активных дефляционно-аккумулятивных процессов.

Начиная с 2005 года сток реки Амулары вообще перестал, доходит до Араца. Уменьшение стока реки связана с маловодными годами, которая сохраняется, и по сей год. При этом береговая линия моря отошла на 200-250 км от устья реки Амулары.

Интенсивно происходит десбаланс моря, т.е. расходная часть в данном этапе (с 2005 г.) только испарение с акватории моря. Прогрессивно увеличивается соленость моря. В этом случае, по мере повышения (средняя соленость моря на 2012 год составляет 140 г/л) минерализации вод моря в зоне будущих маревых солончаков, непосредственно будут откладываться соли сульфатно-хлоридного состава с повышенным содержанием натрия. При условии уменьшения объема воды моря отложение солей еще больше увеличится.

Поскольку берег моря прогрессивно опускает, ежегодно плюшальь этой полосы также устойчиво расширяется. Интенсивное испарение с поверхности акватории моря способствует соленакоплению в зоне арации. По мере снижения уровня моря процессы соленакопления будут охватывать новые участки, освобождающиеся от волн, и верховолка будет близка к поверхности большей части территории.

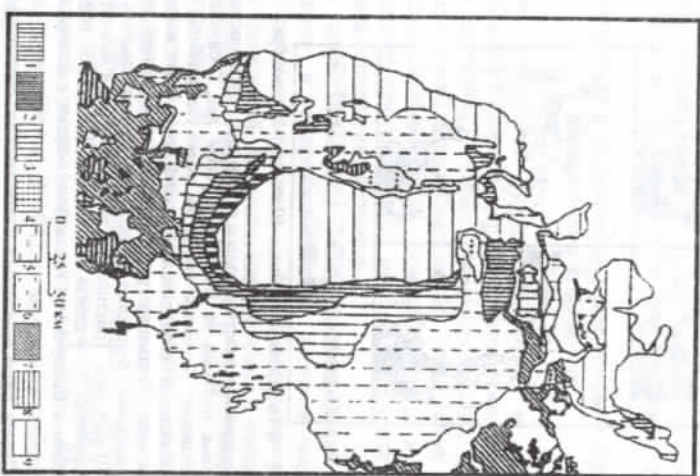
Соленакопление будет происходить особенно интенсивно в новых лагунах. На дне их образуются солончаки смешанного состава с преобладанием хлоридов, а преимущественно сульфатные с пятнами чистых сульфатов на склонах лагун.

Сульфатные солончаки займут в лагунах меньшую площадь, но именно они представляют основную опасность, поскольку не зарастают растительностью, а соли из них легко подвергаются ветровому выносу.

Для прогнозирования сезонных изменений ландшафтов бывшего морского дна составлена карта природно-территориальных комплексов Приаралья, на которой характеризованы террасы трех уровней, сформировавшиеся 1-2 года назад (2005-2006 гг.), 5-6 лет назад (2001-2002 г.) и 30-40 лет назад (1967-1977 гг.) (рис. 3.1).

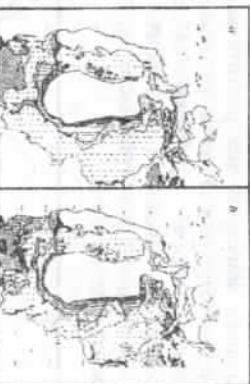
По снимкам, сделанным в апреле, мае, июле и сентябре 2007 года, впервые составлена серия карт сезонных изменений состояния природно-территориальных комплексов (рис. 3.2).

Освоение бывшего морского дна растительностью (однолетние галофиты, затем полукустарники) из-за разреженности покрова на снимках не заметно, но хорошо отображаются сезонные изменения влажности и солености бывшего морского дна, наряду с фенологическими изменениями растительности окружающих пустынь и тростниковых зарослей в дельтах рек.



1-морскии (чередование участков волны и сухого дна). Бывшее морское дно, освободившееся от воды в разное время; 2-1-2 года назад – террасы 1-го уровня (половые пустоши без растительного покрова, при обсаживании покрывающиеся солевой коркой); 3-до 5-6 лет назад – террасы 2-го уровня (суглиннисто-иловые пустоши с солончаковой полукустарниковый растительностью, с солеными корками по краям полос узлаковника, подверженные процессы дефляции и формирования золотого рельефа в начальной стадии); 4-до 30-40 лет назад – террасы 3-го уровня (песчано-солончаковые пустоши с участками псаммофитно-кустарниковой растительности, чередующимися с солончаками и псаммофитными песками, с развитыми процессы дефляции и формирования золотого рельефа, близкими к песчаные пустыни коричневой супеси с псаммофитно-кустарниковой и саксауловой растительностью; 6-дельтевые равнины с опустынившими травянистые и кустарниковой растительностью; 7-тростниковая растительность в дельтах рек и по морским берегам; 8-солончаки, солера, временные водосборы; 9-морская акватория.

Рис. 3.1. Карта природно-территориальных комплексов Приаралья



а-16 апреля, в-18 мая, с-10 июля, д-19 сентября

1-марини (переводные участки воды и сухого дна). Сулиннисто-илюновые пустоши и песчано-солончаковые пустыни на бывшем морском дне; 2-сыпько уплаканные; 3-узваженные; 4-обсохшие; 5-соловые корки по краям узлопинных участков бывшего морского дна, 6-осаждения диффузивных солей и солевые вышеты на обсохших участках бывшего дна. Пустынная растительность на участках коренной сушки: 7-ветструющая (зебромервия); 8-уходящая. Опустившаяся растительность в дельтах рек и по морским берегам; 9-уходящая; 10-уходящая. Тростниковая растительность в дельтах рек и по морским берегам; 11-уходящая; 12-уходящая. Водяные; 13-е открытой водной поверхностью; 14-заросшие тростником. Соловянки; 15-лижные; 16-сухие, с соловой коркой.

Рис. 3.2. Серия карт сезонных изменений состояния природного-территориальных комплексов в 2007 году

4. ПРОГНОЗ ИЗМЕНЕНИЙ ГИДРОЛОГИЧЕСКИХ И ГИДРОХИМИЧЕСКИХ УСЛОВИЙ АРАЛЬСКОГО МОРЯ ДО 2020 ГОДА

В период квазистационарного состояния водоема 1900-1960 годов на отметке, близкой к 53 м, общая площадь Арала, включая острова, составляла 63320 км², наибольшая глубина 69 м. Ширина моря по параллели 45° составляла 265 км, наибольшая длина по средней линии моря 482 км. Длина береговой линии превышала 4430 км.

На Арале в этот период насчитывалось около 1100 островов суммарной площадью 2235 км². Абсолютное большинство было

представлено малыми прибрежными островами, которые в сочетании с мысами, заливами, отшнуровывавшимися водоемами, формировали своеобразный, так называемый «аральский» тип берегов, играющий важную роль в стабилизации химического режима водоема. Крупные острова – Кокарал (311 км²), Барсакельмес (170 км²), Возрождение (169 км²) очерчивали особенности макрорельефа котловины. За 48 лет водоем, волная поверхность которого достигала 66,1 тыс. км² и объем более 1000 км³, сократил свою площадь до 8,82 тыс. км². Суммарный объем Малого и Большого моря к 2008 году сократился до 94 км³.

4.1. Гидрологические и гидрохимические условия Аральского моря до снижения его уровня

Изучение изменений гидрологических и гидрохимических условий Аральского моря представляет большой научный и практический интерес, особенно в современных условиях, когда происходит его интенсивное усыхание. Аральское море является уникальной лабораторией, где можно наблюдать весь комплекс негативных последствий усыхания моря в результате антропогенного вмешательства в естественный режим.

В этой главе приведен обзор исследований по изучению гидрологического и гидрохимического режима моря в условно естественный период, в период с 1961, когда начала проявляться тенденция их изменения, по настоящее время, а также прогноз возможных изменений гидрологических и гидрохимических условий Аральского моря до 2020 г.

Систематические наблюдения за уровнем моря начались на ст. Аральское море в мае 1909 г. и проводились они по июнь 1983 г. Однако началом инструментальных, уровневых, наблюдений на ст. Аральское море считается 1911 г. С 1925 г. начались наблюдения за уровнем в южной части моря на ст. Муйнак, проводившиеся с перерывами по июль 1964 г. В 1942 г. на южном побережье моря была открыта ст. Тигровый, проводившая наблюдения за уровнем моря до июня 1979 г.

Для освещения гидрологического режима центральной части Аральского моря на острове Возрождение в 1936 г. открыта ст. Возрождение, которая прекратила работу в 1949 г., и в том же году была открыта ст. Барсакельмес на одноименном острове.

В 1940-1941 гг. на островах у восточного побережья Аральского моря открыты станции Узункаир и Уалы. Позже, в 1960 г., начались наблюдения за уровнем моря на ст. Баян, расположенной на восточном побережье моря в районе дельты Сырдарьи и заменившей ст. Узункаир, закрытую в 1961 году. Станции Баян и Уалы прекратили наблюдения за уровнем моря в июне 1983 года.

В наименьшей мере освещен уровневый режим западного побережья. Здесь с 1948 г. по 1964 г. работала ст. Актумсук. В 1961 г. в

южной части Большого моря была открыта ст. Лазарева на одноименном острове.

За период систематических наблюдений за уровнем моря число одновременно действующих станций и уровневых постов изменилось от 1 (с 1911 по 1925 гг.) до 10 (1964 г.). В период с 1942 по 1979 гг. на Араильском море одновременно работало от 6 до 10 гидрометеорологических станций и постов. С июня 1983 г. наблюдения за уровнем моря проводятся только на двух островных станциях – Барсакельмес и остров Лазарева, а также с 1999 года восстановлено наблюдение за уровнем моря на ст. Актуумук.

Многолетние колебания уровня моря связаны с чередованием фаз изменчивости общей увлажненности Евразии и материков северного полушария (около 1850 лет). За последние 4,4,5 тыс. лет для района Араильского моря А.В.Шинниковым (1961) были выделены три длительных периода многоводья. Первый – от первой половины третьего тысячелетия до конца второй эры: второй – от первой половины первого тысячелетия нашей эры, и третий – от середины второго тысячелетия нашей эры до современного периода. Между периодами многоводья отмечались относительно маловодные периоды. В многоводные периоды происходило заполнение Сарыкамышской впадины, образование оз. Сарыкамыш и возникновение периодического стока по ныне сухому руслу Узбоя в Каспийское море. По В.П.Льзову (1959) размах колебаний уровня Араильского моря в многоводный период достигал 6 м и более.

Колебания уровня Араильского моря за последние 200 лет восстановлены по косвенным признакам Л.С.Бергом (1908) и В.П.Льзовым. Проведенные ими исследования показывают, что за указанный период было три фазы высокого стояния и две фазы низкого.

С конца XVIII в. до 60-х годов бывшего столетия уровень моря стоял высоко, на отметках около 53 м. абсолют. В некоторые периоды отмечалось понижение его уровня до 50 м абсолют., но в сравнительно короткие периоды он вновь поднимался до отметки 53 м абсолют., приближаясь временами к 53,4. Таким образом, размах колебаний уровня Араильского моря в этот период достигал 3 м. Этому же периоду характерна относительная стабильность уровнянского режима моря. Сравнение фаз трансгрессии и регрессии Араильского моря с развитием орошения в низовьях Амударии и Сырдарьи подтверждают вывод о том, что непосредственной связи здесь не наблюдалась.

Водный баланс Араильского моря рассчитывался неоднократно многими исследователями. Первые водные балансы составлены в конце XIX и начале XX в. в. Ф.Б.Дорантом, Л.С.Бергом, и В.В.Цинзерлингом. В дальнейшем исследованием водного баланса занимались Б.Д.Зайков (1952) и В.С.Самойленко (1955). Вопросом водного баланса Араильского моря в последующем занимались В.Л.Шульц и Л.И.Шалагова (1964), С.П.Павлов (1964), З.А.Викулина (1967), И.М.Черенко (1972) и др.

В этих работах водные балансы Араильского моря составлены за различные периоды времени с неодинаковыми климатическими условиями и режимом моря.

Для замкнутого бессточного Араильского моря оптимальным вариантом для расчета водного баланса в линейных единицах является следующее уравнение

$$\frac{V_p}{S} + P + \frac{V_a}{S} - E - \frac{V_\phi}{S} = \Delta H_d \dots \dots \dots (4.1)$$

где: V_p – суммарный речной сток;

P – атмосферные осадки, выпадающие на поверхность моря S ;

V_a – подземный приток воды;

E – испарение с поверхности моря;

V_ϕ – фильтрация морских вод в грунт дна и берегов;

ΔH_d – приращение уровня моря, вычисленное по уравнению водного баланса.

Водный баланс Араильского моря был рассчитан по указанному выше уравнению для периода квазистационарного режима моря (1911–1960 гг.) (таблица 4.1).

Характеристика составляющих водного баланса

Речной сток. Поверхностный приток к Араильскому морю осуществлялся через р.р. Амударья и Сырдарья, естественные водные ресурсы, которых в зоне формирования стока оцениваются примерно в 75 и 35 км³ в год соответственно.

Средние многолетние значения водного баланса Араильского моря для периода стабилизации

Период	Приток		Рекоуд		Водный		Фактическое		Нормализованная	
	Сток рек	Осадки	Испарение	баланс	приращение	объема и	баланса	сток	баланса	
км ³	см	км ³	см	км ³	см	км ³	см	км ³	см	
1911-1960	56,0	84,7	9,1	13,8	66,1	100,0	-1,0	-1,5	0,1	-1,1
1951-1960	58,4	87,3	9,2	13,8	66,0	99,1	1,6	2,0	4,3	6,7

Бассейны рек Амударии и Сырдарьи являются районами древнего орошения, накладывающего отпечаток на сток в течение длительного времени. С начала XX века до настоящего времени площади орошаемых земель увеличились более чем в 2 раза.

Данные об отборах воды на орошение до 1950-х годов очень ограничены, объемы безвозвратных изъятий стока колебались в значительных пределах и составляли примерно 26-33 км³ в год. С начала 1950-х годов безвозвратные изъятия стока стали заметно увеличиваться и достигли к 1960 г. 40 км³ в год.

Сток Амударии в Араильское море в большинстве случаев определяется по измеренным расходам воды у киппака Чагты, расположенного в вершине дельты на расстоянии 240 км от устья.

Потери речного стока в дельте определялись для относительно многоводного периода (1951-1960 гг.) по среднненным графическим зависимостям, полученным из наблюдений над стоком в створах Чаглы и Темирбай за годы одновременной работы в 1955-1960 гг. с учетом поступления части стока в море по Казахдарье, малым протокам и тропам. Для периода квазистационарного режима моря потери стока в дельте Амудары оценивались в размере 6-10 км³. Потери стока в дельте Сырдарьи в этот период они принимали равные 0,3 км³ в год, а в многоводные годы они достигали 1,5 км³.

Средние многолетние значения суммарного притока речных вод к Аральскому морю для периода 1911-1960 гг. составили 56 км³, а для относительно многоводного периода 1951-1960 гг. 58,4 км³ в год.

Атмосферные осадки. Количество атмосферных осадков, выпадающих на акватории Аральского моря, невелико. Согласно расчетам, осадки по акватории моря распределяются неравномерно, и наблюдается постепенное уменьшение годовых сумм осадков с севера на юг от 15,0 до 11,0 см. В центральной части моря их выпадает 11,0-12,5 см осадков.

В сезонном ходе количества осадков март-апрель и октябрь-ноябрь отличаются максимальным количеством, минимальное количество осадков выпадает здесь в августе-сентябре.

Средний многолетний годовой слой осадков, выпадающих на акватории Аральского моря, для периодов 1911-1960 гг. и 1951-1960 гг. был одинаковым и составил 13,8 см в год.

Испарение. Из-за отсутствия натурных наблюдений для расчета испарения с поверхности Аральского моря обычно пользуются теоретическими или эмпирическими формулами. При наличии данных о других составляющих водного баланса испарения можно рассчитать также по уравнению волнового баланса.

Для периода квазистационарного режима моря расчеты были проведены по формуле Н.П.Готтарева, которая имеет вид

$$E = K \cdot e_i \cdot U, \dots \quad (4.2)$$

где: E - испарение в мм;

e_i - максимальное парциальное давление водяного пара (гПа) при температуре воды поверхности моря (или льда) с учетом ее солености;

K - парциальное давление водяного пара (гПа) в атмосфере на высоте 2 м;

U - скорость ветра (м/с) на высоте z (м);

K - переменный коэффициент.

Анализ произведенных нами расчетов по всем гидрометеорологическим станциям показал значительные расхождения в годовом ходе испарения береговых и островных гидрометеорологических станций. Так, максимум испарения островных станций приходится на август-сентябрь, а береговых станций гораздо

раньше на июнь-июль. Связывают они это с термическим режимом моря.

По их же расчетам многолетний годовой слой испарения для периода стабилизации моря (1911-1960 гг.) составил 100,0 см.

Подъемная составляющая. Надежные сведения о подъемной составляющей для Аральского моря отсутствуют. Большинство авторов полагают, что подъемная составляющая водного баланса невелика и практически не влияет на колебание его уровня. Однако по данным различных авторов ее величина колеблется от 1,3 до 3,4 км³ год.

Подробные исследования по выявлению этой составляющей были проведены Н.Н.Ходжигисовым (1968), который оценил поступление подъемных вод в Аральское море (без учета фильтрации в грунте) в 0,2 км³/год. Примерно такие же величины (0,1-0,3 км³/год) были получены позднее Н.Ф.Глазовским (1983) и У.М.Ахмедсаидовым и др. (1983).

Приращение уровня. Приращение уровня характеризует изменение волнности моря и определяется соотношением приходных и расходных составляющих водного баланса. Для расчета месячных изменений уровня (объема) моря определялось значение уровня на каждое первое число каждого месяца. Приближенно уровень на первое число определялся как полу сумма средних месячных уровней двух смежных месяцев. Средний месячный уровень моря определялся как среднедифференциальное из средних месячных значений уровня по гидрометеорологическим станциям моря.

По расчетам В.Л.Шульца и Л.И.Шалатовой, средний объем стока речных вод в Аральское море составил 52,0 км³/год (Амударья 38,6 км³, Сырдарья 13,2 км³ в год). Годовое количество осадков они принимали равным 90 мм, или 5,8 км³/год. Испарение с поверхности Аральского моря по их расчетам составило 900 мм, или 57,7 км³/год. (1934-1961 гг.), а по расчетам других исследователей в периоды 1911-1960 и 1951-1960 гг. составил 1,0 и 1,6 км³ соответственно.

Из таблицы 4.1 видно, что для периода 1911-1960 гг. приходные и расходные составляющие водного баланса примерно одинаковые. Это и обусловило незначительные колебания уровня моря около отметки 53 м.абс.

В период 1951-1960 гг. наряду с повышенным годовым стоком речных вод наблюдалась и более низкие значения «видимого испарения» (испарение - минус осадки). Поэтому в этот период уровень моря повысился на 0,7 м.

Гидрометеорологические условия Аральского моря до снижения его уровня. Соленость воды. Первые исследования аральской волны были начаты в конце XIX столетия. Обобщив эти единичные и свои наблюдения, Л.С.Берг отметил, что аральская волна по составу очень близка к каспийской. Различие заключается лишь в том, что в аральской воде содержится 10-15% гипса. Тогда как в Каспийском море около 7%

в то же время, в Арале поваренной соли оказалось меньше, чем в Каспии 56,57% против 62%.

Берг также подчеркивал, что в воде Аравийского моря преобладают сульфаты. Содержание которых выражено в процентах от содержания хлора, составляет 72,5%.

По подсчетам Берга, солевая масса Аравийского моря в начале прошлого столетия составляла 10,850 млрд. т, а реки Амударья и Сырдарья, по его же подсчетам, сбрасывали ежегодно 33,7 млн. т растворенных минеральных веществ. Средняя соленость Аралии при этом оказалась равной 10,0-10,5‰.

Систематические исследования солености прибрежных вод Аравийского моря были начаты в 1941 г., после организации сети прибрежных и островных гидрометеорологических станций.

В условиях стационарного периода Аравийского моря исследованием режима солености его вод посвящен ряд работ. Наиболее подробные исследования и обобщения были проведены Л.К.Блинновым (1956).

Им детально были рассмотрены элементы солевого баланса Аравийского моря и проведена их количественная оценка. Развивая разработку предшествующих исследователей, Л.К.Блиннов рассчитал среднюю соленость Аралии при различных высотах стояния уровня и ее распределение для наиболее характерных сезонов по районам и глубинам при заданных величинах изъятия воды из стока Аравийского моря.

Обобщив все предшествующие исследования, коллективом авторов (9) была рассчитана соленость аравийской воды для условно-естественного режима моря (1941-1960 гг.) и для периода (1961-1985 гг.) нестационарного режима с использованием наиболее полных данных береговых и островных гидрометеостанций различными методами.

По расчетам этих авторов, средняя многолетняя соленость в районах гидрометеостанций изменилась от 9,05 (Тигровый) до 11,13‰ (Узлы). Межгодовая изменчивость в период условно-естественного режима была незначительной (0,02-0,06). Наибольшая изменчивость с, отмечалась на ст. Тигровый (0,08), расположенной в зоне влияния стока Амударии.

Наибольшие изменения внутриголовой солености наблюдались на ст. Аравийское море (северная часть моря). Зимой, в январе-феврале, на севере и северо-востоке моря средняя месячная соленость моря на мелководьях повышалась до 11-12‰ и достигала максимальных значений 13-14‰.

На южном и восточном побережьях, а также в центральном районе моря средние месячные значения солености в этот же период составляли 10-11‰, максимальные значения ее не превышали 13‰. Абсолютные максимумы солености (16,1-16,4‰) отмечались в зимний период на станциях Аравийское море и Узункайри.

Весной, в период интенсивного таяния льда, во всех прибрежных зонах моря соленость в большинстве случаев снижалась до 6-9‰. В этот период отмечались и абсолютные минимумы солености (0-0,3‰). Летом и в начале осени вновь происходило возрастание солености в прибрежных районах моря, связанное с интенсивным испарением с поверхности воды. Так, например, средняя месячная соленость на ст. Узлы составила 13,6-14,6‰, а абсолютный максимум здесь составил 16-19‰ в июне. На юге моря эти значения снижались до 9‰ вследствие возрастания стока Амударии.

Весной пространственное и вертикальное распределение солености довольно однородно. Причем минимальные значения ее наблюдаются в южной и юго-западной частях Большого моря, где существенное влияние на распределение вод оказывает сток Амударии. В этот период значительные горизонтальные и вертикальные градиенты солености наблюдалась лишь в устьевых районах Амударии и Сырдарьи (6-9‰).

Летом в период условно стационарного режима моря под воздействием опресняющего влияния речного стока проходило некоторое возрастание градиентов солености в устьевых районах моря, хотя в целом она не менялась существенно по сравнению с весенним периодом.

Осенью однородность распределения солености становится еще больше, так как уменьшается речной сток в море и происходит конвективное перемешивание вод. Минимальные значения солености отмечались по-прежнему в зонах влияния речного стока, а максимальные – в районах восточного мелководья.

Первые расчеты средней солености Аравийского моря были сделаны в начале 1950-х годов по средним многолетним данным с учетом особенностей ее пространственного и вертикального распределения. Так, расчеты, проведенные Л.К.Блинновым, и Н.Ф.Соловьевым, показали близкие значения средней солености моря – 10,2 и 10,3‰ соответственно. В период стационарного режима наибольшие значения средней взвешенной по объему вод солености отмечались в восточном и юго-восточном районе моря, а минимальные – устьях рек Амударии и Сырдарьи. При этом размах колебаний средней солености по квадратам и районам моря не превышал 1,3‰. Межгодовые изменения средней солености, как отмечают Ревин С.К. и др., (1970) также были невелики и колебались от 9,8 до 10,3‰.

Солевой баланс. Солевой баланс Аравийского моря изучен довольно слабо, хотя многие исследователи пытались объяснить причины малой солености.

Наиболее полное исследование солевого баланса для условно-естественного периода было проведено Л.К.Блинновым. Который компонентировал средний годовой приход солей, поступающих со стоком рек, с водами грунтового питания и из атмосферных осадков с расходом солей, теряющихся вследствие интенсивной фильтрации воды в грунт

берегов и дна, в отшлифовавшихся заливах и лиманах, подвергающихся седиментации и переходящих в донные осадки, увлекаемых ветром в атмосферу.

По Блиннову, фильтрация воды и солей через дно и берега моря соответствует потерям 1,26 км³ воды и 12,85 млн. т. солей в год. Приход солей с грунтовыми водами он принимал равную нулю.

В последующем были сделаны попытки уточнить отдельные составляющие стационарного солевого баланса, составленного Л.К.Блинновым. При этом достаточно полную формулу приводят Т.А.Бакум (1972), но им сделан только теоретический подход и рассчитаны лишь отдельные составляющие солевого баланса Аральского моря за 1952-1966 гг.

В.Н. Бортник (1979) уточнил отдельные составляющие стационарного солевого баланса Л.К.Блиннова и оценил при этом осаждение солей на мелководных и потеря в отшлифовавшихся заливах и бухтах в 12,9 млн. т. в то время как Л.К.Блинновым эта составляющая солевого баланса не была учтена.

Характеристика составляющих солевого баланса.
Ионный сток. Ионный сток рек является основной составляющей приходной части солевого баланса моря. Средние значения концентрации главных ионов, суммарная минерализация и ионный сток рек Амударьи и Сырдарьи для условно естественного периода, заимствованные у Л.К.Блиннова, приведены в таблице 4.2.

Таблица 4.2.
Средняя многолетняя концентрация главных ионов, суммарная минерализация и ионный сток рек Амударьи и Сырдарьи за 1911-1960 гг.

Река	Единица измерения	Na^+	SO_4^{2-}	Ca^{2+}	Mg^{2+}	$\text{Na}^+ + \text{K}^+$	Суммарная минерализация		Ионный сток, млн.т.
							HCO_3^-	Cl^-	
Амударья	мг/л	153,5	104,9	74,1	53,1	11,2	43,7	470,8	17,74
Сырдарья	%	18,53	16,08	15,39	14,92	7,98	6,10	100,0	
	мг/л	185,1	164,4	40,3	87,6	20,6	43,8	543,8	6,05
	%	26,04	22,49	7,47	12,27	12,52	5,21	100,0	

Наблюдения за многолетний период показывают, что прогрессирующего увеличения солености моря нет, а изменения солености во времени носят периодический характер и зависит от высоты стояния уровня моря.

Масса солей, поступающих с атмосферными осадками, невелика. Для периода 1911-1960 гг. средняя минерализация осадков, по Л.К.Блиннову, составляет 12,0 мг/л, которую коллектив авторов считают сильно заниженной. Поэтому при расчете количества солей,

выпадших с атмосферными осадками в этот период, минерализация осадков была принята ими равной 40 мг/л.

Подземный приток и фильтрация морских вод в грунт дна и берегов обычно не учитывается при расчете водного баланса моря, но подземный приток играет существенную роль в поступлении таких микрокомпонентов, как йод, бром, бор и лягин.

При подсчете массы солей, приходящих с подземным стоком, его значение для периода 1911-1960 гг. принималось коллективом авторов равным 0,2 км³/год. При средней минерализации подземных вод 7 г/л приход солей оценен эпизодами в 1,4 млн. т/год.

Максимально возможная фильтрация при отметках уровня моря около 53,0 м абсолютной, оценивается ими в 0,15 км³/год, а потеря солей вследствие инфильтрации морской воды они коллектив авторов принимает не больше 1,5 млн. т/год.

По данным С.В. Бруевича и Н.Ф.Соловьевой (1957), в условно-естественный период на акваторию моря поступало 60 т/км² золотого материала. Учитывая, что растворимые аэрозоли составляют 10-25% общей массы золотого материала, коллектив авторов оценил ежегодное для этого периода поступление солей с атмосферной пылью в 0,4 млн. т.

Ветровой вынос солей с поверхности моря «механическим» испарением оценен ими примерно в 0,39 млн. т/год. В то время как, по Л.К.Блиннову, эта величина составила 107 тыс. т/год.

Проведенные расчеты позволили оценить ветровой вынос солей с поверхности льда для рассматриваемого периода в 0,34 млн. т/год. Количество солей, уходящих с испаряющейся водой, при минерализации испаряющейся воды, равной 0,25 мг/л, составило 0,17 млн. т в год.

4.2. Тенденция изменения гидрологических и гидрохимических условий Аральского моря с 1961 г. и их современное состояние

Интенсивное снижение уровня Аральского моря с 1961 г., связанное с постоянным уменьшением речного стока, используемого на орошение, стало способствовать значительному сокращению площади его водной поверхности, снижению стока среднего годового уровня. Небольшое повышение уровня моря в период его дестабилизации произошло в 1970 г., после экстремально многоводного 1969 года. В период с 1961 по 1974 гг. уровень моря в среднем понижался на 27 см в год и в 1974 году достиг отметки 49,85 м абсолютной. В 1975-1985 гг. он поникался на 71 см в год, и в 1985 г. он достиг отметки 41,94 м.

В 1986 по 2012 годы уровень моря в среднем поникался на 60 см в год, и в 2012 году достиг абсолютной отметки 25,6 м или на 27,4 метров ниже по сравнению с его средним многолетним значением за 1911-1960 гг. (таблица 4.3).

Среднегодовые батиметрические характеристики Аральского моря

Таблица 4.3.

Годы	Уровень воды, м	Объем, км ³	Осадки, км ³	Испарение, км ³	Приток речного стока в море км ³		Площадь зеркала моря, тыс.км ²	Слирарын	Алударын	Всего		
					1	2	3	4	5	6	7	8
1950	53,4	1083	9,41	71,1	9,93	68,9	21,1	43,0	64,1			
1951	53,3	1079	6,59	70,4	9,97	68,5	4,0	30,9	34,9			
1952	53,0	1060	8,63	70,9	10,8	65,9	5,8	27,6	33,4			
1953	52,6	1038	11,6	70,6	10,6	64,3	10,6	33,1	43,7			
1954	52,5	1030	8,12	64,0	10,1	64,8	15,0	38,3	53,3			
1955	52,3	1019	8,48	66,3	10,8	63,1	4,7	25,5	30,2			
1956	51,9	993	6,64	71,1	11,8	61,7	9,6	33,1	42,7			
1957	51,6	974	7,51	57,8	11,0	60,9	8,7	27,0	35,7			
1958	51,2	952	6,03	67,3	11,5	60,1	7,3	28,0	35,3			
1959	51,3	955	9,06	52,3	10,9	60,2	17,5	55,5	73,0			
1960	51,4	964	7,22	62,0	11,2	60,3	9,8	28,0	37,8			
1971	51,1	940	5,81	59,8	11,4	59,7	8,2	15,8	24,0			
1972	50,5	909	5,78	55,3	11,9	58,9	7,0	13,2	20,2			
1973	50,2	891	8,95	56,4	11,9	58,4	8,9	31,2	40,1			
1974	49,8	870	4,73	60,2	13,0	57,9	1,9	6,3	8,3			
1975	49,0	822	60,0	13,4	56,7	0,61	10,6	11,2				
1976	48,3	779	5,79	51,1	14,6	55,7	0,57	11,1	11,7			
1977	47,6	742	5,04	45,7	15,4	54,6	0,48	9,0	9,3			
1978	47,1	713	6,42	52,5	15,0	53,0	0,78	21,3	22,1			
1980	45,7	644	9,73	50,2	15,1	52,9	3,2	11,1	14,3			
1981	51,1	616	11,9	47,1	17,7	50,7	7,4	6,3	13,7			
1982	50,5	574	8,52	48,5	18,8	49,3	1,7	0,54	2,2			
1983	50,2	532	4,51	47,6	20,3	47,7	0,94	2,3	3,2			
1984	49,8	499	5,99	44,3	21,9	46,2	0,60	8,0	8,6			
1985	49,0	466	7,19	42,5	22,9	44,6	0,68	2,4	3,1			
1986	41,1	432	6,27	39,4	22,9	42,8	0,51	0,44	0,95			
1987	40,3	401	5,68	37,3	23,9	41,1	1,5	8,2	9,8			
1988	39,7	380	5,10	35,8	23,0	39,9	6,9	16,4	23,3			
1989	39,1	354	6,85	28,0	38,4	38,4	4,4	1,0	5,4	10,5		
1990	38,2	323	5,34	34,9	30,0	36,4	3,5	9,0	12,5			
1991	37,6	299	5,60	34,6	32,0	43,8	4,0	12,5	16,5			
1992	37,2	286	4,61	34,0	33,9	4,6	28,9	33,5				
1993	36,9	278	4,15	32,7	33,2	7,9	18,8	26,7				
1994	36,6	266	3,62	31,1	30,0	32,3	8,9	21,7	30,6			
1995	36,1	250	4,73	33,6	31,3	32,2	5,2	5,1	10,3			
1996	35,5	230	4,31	28,9	42,0	29,7	5,1	7,5	12,6			
1997	34,8	210	3,57	27,2	43,5	28,0	4,6	2,2	6,8			
1998	34,2	194	4,50	21,0	49,8	25,5	7,6	23,9	31,5			
1999	33,8	181	4,80	19,7	50,6	23,7	5,5	6,4	11,9			
2000	33,3	169	4,27	17,3	55,8	22,6	7,9	2,6	5,5			
2001	32,2	143	1,35	15,8	58,6	21,2	2,8	0,40	3,2			
2002	30,9	110	1,17	15,3	60,1	18,7	6,4	6,7	13,1			
2003	30,6	100	3,38	17,8	62,4	17,3	9,2	11,4	20,6			
2004	30,3	93,5	3,30	17,6	68,4	9,86	5,92	15,8				
2005	30,0	89	4,16	15,3	72,3	15,8	-	-	-			
2006	29,3	81	0,91	14,8	79,7	14,5	-	-	-			
2007	28,6	78	0,78	12,1	88,3	14,3	-	-	-			
2008	28,0	74	0,57	10,8	98,7	14,6	-	-	-			
2009	27,6	70	0,45	11,3	113,7	13,5	-	-	-			
2010	27,1	67	0,38	12,5	119,8	12,8	-	-	-			
2011	26,4	64	0,41	13,1	129,4	12,0	-	-	-			
2012	25,6	60	0,53	13,6	157,3	11,7	-	-	-			
2013	24,2	57	0,48	13,7	143,6	10,9	-	-	-			

Для замкнутого бассейна Аральского моря сезонные колебания уровня находятся в тесной взаимосвязи с его многолетними изменениями.

Общей чертой сезонных колебаний уровня моря является наличие летнего максимума и зимнего минимума. С 1961 г. в характере сезонных колебаний уровня Аральского моря стало отмечаться постепенное изменение. Потем моря в его сезонном ходе уменьшился до 5-10 см., а в отдельные годы – почти до нуля. Сезонный максимум сместился с июля-августа на апрель-май, за исключением аномально многоводного 1969 г., когда годовое приращение уровня моря составило 47 см., а сезонный максимум наблюдался в сентябре.

Сократилась продолжительность времени падения уровня моря во внутритоговом цикле. Наиболее быстро снижение уровня моря происходит в августе-октябре, а его интенсивность в отдельные месяцы достигает 30-35 см. **Водный баланс.** Из работ, посвященных водному балансу Аральского моря для периода дестабилизации 1961-1985 гг., можно отметить работы В.П. Львова, З.А.Крыловой и Р.В.Смирновой, В.Н. Бортника и А.Б.Заклинского.

Таблица 4.4.

Период	Приход			Расход			Водный баланс
	Сток рек	Осадки	Испарение	См	км ³	км ³	
1961-1985	24,4	39,9	7,1	12,4	57,4	99,3	-25,9
1961-1970	43,3	68,5	8,0	12,7	65,4	103,5	-17,0
1971-1980	16,7	29,3	6,3	11,0	55,2	96,8	-32,2
1981-1985	2,00	4,10	7,1	14,7	45,9	96,2	-36,8

Средние многолетние значения водного баланса Аральского моря по данным Л.В.Ивановой

Таблица 4.5.

Период	Приход			Расход			Водный баланс
	Сток рек	Осадки	Испарение	См	км ³	км ³	
1961-1985	24,4	39,9	7,1	12,4	57,4	99,3	-25,9
1966-1990	10,4	26,2	5,8	14,6	36,8	92,7	-20,6

Для современного состояния – 1986-2004 гг. можно отметить работы Л.В.Ивановой, Ф.Х.Хикматова, М.А.Якубова, В.Е.Чуб и др., которых впервые в основу детальных расчетов водного баланса положены средние месячные данные.

Средние многолетние значения волнового баланса (км^3) Араильского моря по данным В.Е. Чуб

Год	Речной сток	Осадки	Испарение	Баланс обмена	Ненавоз
1991	11,7	7,7	34,2	-15,8	-15,8 0,0
1992	25,9	2,2	33,5	-5,9	-9,8 4,4
1993	21,0	4,4	33,0	-7,6	-9,1 -7,5
1994	25,5	6,2	32,3	-0,6	-0,3 -0,3
1995	7,0	4,5	31,8	-20,3	-15,0 -5,3
1996	9,0	5,4	31,3	-16,9	-16,9 0,0
1997	4,9	4,3	30,8	-21,6	-21,6 0,0

Резкое падение уровня Араильского моря, начиная с 1961 года по настоящее время, обусловило необходимость более детального исследования этого периода в сопоставлении с периодом квазистационарного режима моря.

Средние многолетние значения волнового баланса Араильского моря по данным В.А. Рафикова

Таблица 4.7.

Период	Приток			Расход			Волновой баланс
	Сток рек	Осадки	Испарение	км ³	см	км ³	см
1986-1990	10,4	26,2	5,8	14,6	36,8	92,7	-20,6 -51,9
1991-2000	18,6	61,2	4,40	14,5	28,2	92,8	-5,2 -7,1
2001-2004	11,2	71,7	2,3	12,5	16,8	91,3	-1,30 -7,10
2005-2012	-	-	1,3	6,25	12,8	77,3	-

Речной сток. Начиная с 1961 г. интенсивный рост безвозратных изъятий стока и наступивший длительный период маловодья привели к резкому сокращению притока речных вод в Араильское море. По данным коллектива авторов, в 1961-1970 гг. безвозратные изъятия стока в бассейне моря составили 55-57 $\text{km}^3/\text{год}$, в 1971-1980 гг. 64-66 $\text{km}^3/\text{год}$, в 1981-1985 гг. 70-75 $\text{km}^3/\text{год}$. В 1986-1990 гг. 46-50 $\text{km}^3/\text{год}$, в 1991-2000 гг. 50-52 $\text{km}^3/\text{год}$, а в 2001-2012 гг. эта величина оценивалась в 55-59 $\text{km}^3/\text{год}$.

Большинство исследователей сток Амуудары в Араильское море определяли по данным расхода воды у киппака Чатлы, расположенного в 240 км от его устья. Потери речного стока коллектив авторов определяли по возможным затратам воды на испарение с открытой поверхности дельтовых водоемов и транспортировку влаголюбивой растительностью, в то время как некоторые исследователи вообще не учитывали этих потерь. При своих расчетах для относительно маловодного периода 1961-1982 гг. они основывались на данных наблюдений стока Темирбай, расположенного в 25 км от устья. Исключение составил лишь аномально многоводный 1969 г., когда потери стока в дельте были оценены ими в 8 km^3 , а фактический приток к морю был определен как разность объема стока в створе Чатлы и потерь в дельте.

С 1982 г. для оценки притока вод Амуудары в Араильское море использовались данные наблюдений в створе Кызылджар, так как с этого времени сброс речных вод по основному руслу Амуудары был прекращен, и гидропост в ауле Темирбай был закрыт. Пространить изменение режима стока реки Амуудары в Араильское море можно по многолетним наблюдениям на посту Чатлы (Саманбай), измерения на котором начаты с 1887 года и продолжаются в настоящее время. Как показали расчеты, годовой объем притока к Араильскому морю с дельтовых пространств Амуудары колеблется от 1,5 km^3 в маловодные годы до 21 km^3 в многоводные. Как это отмечалось в 1992 году.

Как было сказано раньше, потери стока в дельте Амуудары оценивались в условно-естественный период в 6-10 km^3 . Оценка же потерь стока в период дестабилизации моря (1961-1985 гг.), по разности стока в вершине дельты (Чатлы, Саманбай) и замыкающем створе (Темирбай), показала, что в среднем эти потери сократились до 3 km^3 год. Это уменьшение связано, прежде всего, со значительным сокращением притока речных вод к вершине дельты. Потери вод Амуудары в последние годы (1986-2004 гг.) определялись антропогенными факторами – объемом попусков речных вод в дельту Тахнаташским гидроузлом для обводнения обсохших территорий. В среднем эти потери составили 1,4 km^3 год.

Сток реки Сырдарьи, как было отмечено в предыдущем подразделе, определялся по данным наблюдений расходов воды у г. Казалинска (таблица 4.8).

Основные морфометрические характеристики Малого моря

Таблица 4.8.

Год	Приток стока реки Сырдарьи в море	Охватка устья волны, м	Площадь зеркала, тыс. км ²	Объем, км ³
1986	0,51	40,9	2,83	22,3
1987	1,6	40,8	2,81	22,4
1988	6,9	40,5	2,75	21,8
1989	4,4	40,2	2,71	20,3
1990	3,5	40,5	2,75	21,8
1991	4,0	40,4	2,73	20,9
1992	4,6	40,2	2,71	20,5
1993	7,9	39,4	2,57	18,4
1994	8,9	40,1	2,69	20,0
1995	5,2	40,5	2,75	21,8
1996	5,1	40,5	2,75	21,8
1997	4,6	41,2	2,91	22,7
1998	7,6	42,5	3,24	27,0
1999	5,5	36,8	2,10	12,9
2000	2,9	39,8	2,62	19,3
2001	2,8	39,2	2,55	18,0
2002	6,4	39,3	2,58	18,4
2003	9,2	40,0	2,65	19,8
2004	9,9	40,8	2,81	22,4
2005	-	40,0	2,26	21,5
2006	-	39,4	1,89	20,0

С 1961 г. наблюдается значительное снижение суммарного притока речных вод к Аральскому морю, связанное, главным образом, с антропогенными факторами.

В среднем в период 1961-1970 гг. и 1971-1980 гг. объем притока составил 43,3 и 16,7 км³/год, что составляет примерно 77 и 30% от его среднего многолетнего значения в период условно-естественного режима моря. В 1981-1985 гг. он составил всего лишь 2,0 км³/год, или 3,0%. В 1986-1990 гг. 10,4 км³/год, или 18,6%; 1991-2000 гг. 18,6 км³/год, или 33,2%; 2001-2004 гг. 13,2 км³/год, или 23,6%.

В экстремально многоводном 1969 году наблюдался максимальный за весь период наблюдений объем притока речных вод к Аралу, составивший 73,0 км³, в то время как в маловодные 1982, 1983, 1985, 1986 и 2001 гг. он уменьшился до нуля. С 2005 года приток речного стока р. Амулары в Аральское море прекратился полностью.

В относительно многоводные 1988, 1992, 1993, 1994, 1998 и 2003 гг. объем притока речных вод к Аральскому морю в среднем составил 28,0 км³/год.

Под влиянием естественных и, главным образом, антропогенных факторов с 1961 г. стали наблюдаться изменения и во внутригодовом ходе стока рек Амулары и Сырдарьи. Если в условиях квазистационарного режима моря наблюдалось растянутое весеннелетнее половодье, то в настоящее время приток речных вод к морю полностью зависит от режима полусуточных вод из расположенных в нижнем течении рек гидроузлов. В отдельные месяцы и маловодные годы сток речных вод в море преимущественно прекращается, так как идет накопление речных вод в водохранилищах и интенсивный забор воды на орошение, и хозяйственные нужды, а также для обводнения дельтовых территорий и волоемов.

Согласно расчетам Института гидрологии РАН, примерно 80% суммарного снижения притока к морю обусловлено влиянием антропогенного фактора, а оставшаяся часть зависит от природных факторов, т.е. от естественной маловодности в последние десятилетия. По данным Т.Н. Владимирова, А.В. Володкина, Ф.Э. Рубиновой (1987), антропогенные потери стока в современный период составляют 92-95% его суммарных потерь.

Атмосферные осадки. Относительная роль атмосферных осадков в водном балансе, хотя их количество, выпадающих на акваторию Аральского моря невелико, в современный период значительно возросла. Связано это, главным образом, с резким сокращением речного стока в маловодные годы.

По данным коллектива авторов (9), среднее количество осадков в период 1961-1985 гг. составляло 124 мм в год, при этом наибольшей сухостью отличался 1971-1980 гг., когда их количество составило 110 мм в год. Среднее количество осадков в период 1986-2012 гг. составил 137 мм/год и наибольшей сухостью отличался 2001-2012 гг., когда их количество составило 103 мм в год. Последние годы (2005-2012 гг.)

являются относительно сухими, и среднее количество выпадающих осадков составило 69 мм в год.

В целом за период 1911-2012 гг. средняя многолетняя сумма осадков, выпадающих на поверхность Аральского моря, составила 133 мм. При этом максимальное количество осадков, равное 235 мм, выпало в 1985 году, а минимальное 67 мм - в 1944 году.

Испарение. Как отмечалось в предыдущем параграфе, отсутствие настурных наблюдений за испарением побудило ряд исследователей использовать для расчета этой величины теоретические и эмпирические формулы, а также уравнение водного баланса при условии, если известны остальные его составляющие.

Однако расчетная схема Н.П. Голтарева (формула 4.2). Расчет

использована расчетная схема Н.П. Голтарева (формула 4.2). Расчет средних месячных и средних годовых величин испарения производился на основе данных всех гидрометеостанций, исключена была лишняя станция Аральское море из-за значительной ее изолированности от моря и уменьшения ее влажности на 20-30% по сравнению с другими станциями.

Средний многолетний слой испарения с поверхности моря за период 1961-1970 гг. составил 103,5 мм, а в последующие десятилетия с 1971-1980 гг. по 1981-1985 гг. 968 и 962 мм соответственно. В последующие периоды 1986-1990 гг. и 1991-2000 гг. в среднем соответственно по 927 мм в год, а в 2001-2012 гг. 972 мм в год. В целом для периода 1911-2012 гг. среднее годовое значение испарения с поверхности моря составило 998 мм, при этом максимальная ее величина, равная 1206 мм, наблюдалась в 1983 г, а минимальная 781 мм - в 1982 г.

О величине ползменной составляющей было сказано в предыдущем параграфе, но, так как ползменный приток и фильтрация представляют собой величину незначительную и они практически компенсируют друг друга, в расчетах водного баланса она не учитывалась.

При сравнении значений составляющих водного баланса, расчетных данных коллективом авторов и Л.В. Ивановой (таблица 4.4, 4.5), можно видеть, что для периода 1961-1985 гг. они абсолютно одинаковы (очевидно, из-за применения одной и той же методики расчетов).

Позже В.Е. Чубом и В.А. Рафиковым расчеты были продолжены до 2012 г., из результатов которых видно (таблица 4.6, 4.7), что величины составляющих водного баланса в 1986-2004 гг. гораздо ниже, чем в предыдущие периоды. Несомненно, это можно связать с дальнейшим понижением уровня Аральского моря.

Анализ проведенных расчетов показал, что для лестабилизационного (1961-1985 гг.) и современного (1986-2012 гг.) периодов характерно значительное превышение испарения над суммой приходных составляющих. Следует отметить, что этот период отличался повышенной сухостью, когда среднее количество осадков

составило соответственно 124 мм и 137 мм в год, в то время как среднее значение «видимого испарения» практически не изменилось.

Это обусловило устойчивое снижение уровня моря, а более интенсивное снижение его уровня началось с 1965 г.

Средняя интенсивность снижения уровня Аральского моря в период 1961-1970 гг. составила примерно 21 см в год, (здесь необходимо учесть аномально - многоводный 1969 г.), в 1971-1980 гг. 58 см, а в 1981-1985 гг. 80 см в год. Средняя интенсивность снижения уровня Аральского моря в период 1986-1990 гг. составило 74 см в год, в 1991-2000 гг. 49 см, а в 2001-2012 гг. 66 см в год.

В маловодные (2000 и 2001 гг.) годы снижение уровня моря достигало 150 см. В результате общее падение уровня моря за 1961-1985 гг. составило 11,9 см, а в 1986-2008 гг. 63 см, площадь его к 1986 г. сократилась примерно до 43 тыс.км² а к 2008 году до 14,0 тыс.км², а объем вод соответственно до 432 км³ и до 74 км³, что соответственно составляет 65 % площади и 41% объема моря к 1986 году. Соответственно 20,3% площади и 6,83% объема моря к 2008 году на отметке 53 м абс. При этом существенно изменились береговые очертания моря, полностью исчезли – крупные мелководные заливы в восточных, юго-восточных и южных районах Араля. Ранее существовавшие острова Возрождение, Барсакельмес, Лазерева и полуостров Муйнак ныне перестали быть географическими объектами.

Тенденции изменения гидрохимических условий Аральского моря с 1961 г. и их современное состояние. Исследование гидрохимического режима Аральского моря в связи с начавшимся интенсивным снижением уровня посвящено ряд работ. Так, исследование нестационарного режима соли и вод проводилось К. Ревиной, А.Б. Заклинским; Н.К. Елибаевым; А.Н. Косаревым; В.Н. Бортниковом; Ф.Э. Рубиновой; М.А. Якубовым; Э.И. Чембарисовым; С.Р. Сандовым и др.

Подобному изучению гидрохимических условий моря посвящен монографический труд коллектива авторов под редакцией Б.Н. Бортника и С.П. Чистяевой. Проведенный ими анализ средних годовых значений вод Аральского моря для периода нестационарного режима показал, что начиная с 1961 г. на всех станциях наблюдалась общий рост солености вод, а с 1970 г. значительное возрастание солености, обусловленное резким снижением уровня и уменьшением объема моря (таблица 4.9). Так, например, соленость воды Аральского моря в 1961 г. составляла 10,27‰, а возросла к 2012 г. до 137‰.

Наибольшие изменения солености вод характерны для северного и северо-восточного побережья, и связаны они с полным прекращением приюка вод Сырдарьи в Аральское море с середины 70-х годов. Минимальный рост солености отмечается в зоне влияния вод Амударьи и в центральных районах моря.

Коллективом авторов по результатам экспедиционных материалов были составлены карты и разрезы, характеризующие особенности пространственного и вертикального распределения солености вод

открытого моря в различные сезоны. Был сделан анализ, который позволил им установить некоторые общие закономерности среднего распределения солености вод моря.

Средняя годовая соленость воды Аральского моря в районах гидрометеорологических станций и линейные тренды за многолетние периоды, ‰

Таблица 4.9.

Годы	Аральское море	Барнаул	Учали	Тирновый	Остров Ландрана	Барсакельмес
1961	10,27	8,09	11,42	9,85	-	10,20
1962	11,11	9,59	(12,03)	(9,34)	10,54	10,16
1963	10,84	9,53	11,10	9,64	10,71	10,77
1964	10,95	7,48	10,84	9,74	10,50	10,45
1965	11,36	(10,11)	12,20	9,99	10,66	10,79
1966	12,01	10,51	15,95	10,60	10,93	11,36
1967	(11,96)	10,31	12,17	10,48	10,95	11,18
1968	12,07	(10,92)	12,44	10,54	11,18	11,20
1969	11,57	(9,12)	12,99	9,54	11,13	(11,13)
1970	11,83	(9,72)	(12,59)	-	(11,36)	(11,50)
1971	11,58	(10,27)	12,85	(11,12)	11,70	11,71
1972	12,78	11,08	13,54	(11,36)	12,73	12,13
1973	(13,85)	10,07	13,19	11,30	12,52	(12,18)
1974	15,02	12,81	13,86	11,88	12,68	12,55
1975	(15,60)	12,92	15,04	12,52	12,96	12,69
1976	(16,96)	12,78	(15,85)	13,54	13,00	13,60
1977	17,44	16,56	17,90	13,27	13,43	14,96
1978	(18,05)	(18,97)	18,67	(12,36)	(14,19)	-
1979	-	-	-	-	-	-
1980	(22,16)	-	-	-	-	-
1981	(27,40)	-	-	-	-	-
1982	30,91	-	-	-	-	-
1985	-	-	-	-	27,70	(23,56)
Период	1961-1982	1961-1978	5,6	3,7	8,9	9,8
					1962-1985	1961-1985

Зимнее конвективное перемешивание вод обеспечивает весной довольно однородное пространственное и вертикальное распределение солености, на которое оказывает влияние в это время года лишь речной сток и ледотаяния, минимальное значение солености можно наблюдать именно в зоне влияния стока Амударьи.

В период интенсивного снижения уровня Араля (1971-1975) соленость поверхностных вод Малого моря превышала 12‰, а в Большом море колебалась от 12 до 12,5‰. Максимальные ее значения наблюдались в районе восточных мелководий. Существенные вертикальные градиенты солености отмечались в устьевых районах и западном, более глубоководном, районе, где происходило увеличение солености с глубиной на 0,4-0,6‰.

Весной 1981-1985 гг. соленость поверхностных вод Большого моря составляла 19,7-20,5‰, в 1986-1990 гг. до 20,6‰, в 1991-2000 гг. до 37,6‰, а в 2001-2008 годы до 68,5‰. В связи с дальнейшим сокращением, а порой и полным прекращением речного стока, исчезли распространенные зоны на устьевых взморьях Амударьи и Сырдарьи.

В летний период 1971-1975 гг. соленость поверхностных вод в Большом море возросла до 12,2-12,6‰, а в Малом море - до 12,2-13,0‰. Причем соленость при незначительных градиентах равномерно возрастала от поверхности до дна.

В 1981-1985 гг. в летний период соленость поверхностных вод Большого моря увеличилась до 21‰, в 1986-1990 гг. до 23‰, в 1991-2000 гг. до 41,6‰, а в 2001-2008 годы до 73‰.

Осенью, когда речной сток в море уменьшается и начинается конвективное перемешивание вод, вертикальное распределение солености становится практически однородным.

На рис. 4.1. показаны типичные вертикальные распределения температуры и солености в западной глубокой части моря, полученные в период с ноября 2002 г. по март 2006 г. Обращает на себя внимание продолжающееся осолонение западного бассейна, где поверхностная соленость увеличилась от 60,1 г/кг осенью 2002 г. до почти 100 г/кг весной 2006 года.

Рост минерализации вод западного бассейна должен связываться не столько с дальнейшим уменьшением объема моря, сколько с обменами с восточным бассейном, откуда через соединяющий бассейны пролив поступали более соленые воды. Соленость восточной части моря в результате этих обменов постепенно уменьшалась до сих пор, пока Большое море в 2008 году не разделилось на две части: Западную и Восточную. Попадая в западную часть моря, более плотные воды восточного бассейна опускаются вдоль северного склона на свой изолинический уровень в придонном слое западной впадины. Это создает исключительно мощную халинную и, в конечном счете, плотностную стратификацию западного бассейна (рис. 4.2).

Перепады солености между нижней границей верхнего квазиднородного слоя и дном составляли в 2002-2003 гг. до 12 г/кг (что соответствует разнице плотностей в $9-10 \text{ кг}/\text{м}^3$) при толщине галоклина около 20 м. Такие экстремальные (с точки зрения классической океанологии) градиенты плотности приводят к подавлению вертикального перемешивания.

Типичными следствиями этого являются осенне-зимние инверсии температуры, видимые во многих профилях. Но наиболее ярким проявлением недостаточности вертикальных обменов в толще вод Аравийского моря является аноксия и сероводородное заражение в придонном слое.

Как отмечалось выше, до экологического кризиса (а также и в ходе его вплоть до начала 90-х г.) Аравийское море было всегда хорошо перемешанным и полностью вентилированным. Обнаружение возникшей позднее вертикальной стратификации и целого спектра гидрологических явлений, быть может, наиболее важный гидрологический результат программы мониторинга состояния моря. Следует отметить: анализ полученных материалов показывает, что с весны по лето 2004 г. устойчивой халинной стратификации и аноксии не наблюдается. Перемешанность всей толщи вод в апреле 2004 г. может являться результатом глубокой зимней конвекции. Все это указывает на не перманентный, а переменный характер стратификации и апоксии, приуоченный, вероятно, к изменчивости водо- и солеобменов через пролив. Как показывают результаты численного моделирования, эти последние определяются, главным образом, ветровым форсингом.

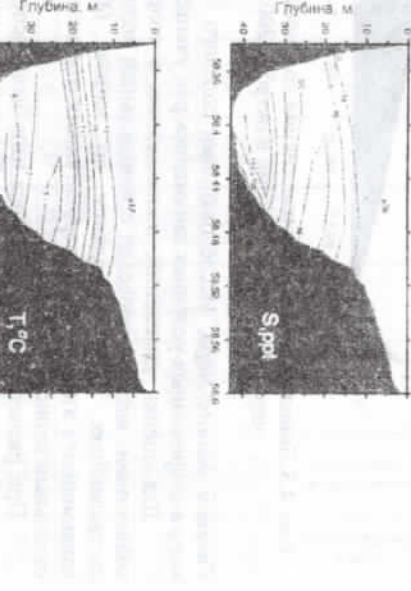


Рис. 4.1. Примеры вертикальных распределений солености и температуры в глубоком западном бассейне
Аравийского моря в период мониторинга

Рис. 4.2. Зональные вертикальные сечения солености и температуры через западный бассейн в октябре 2005 года

Измерения вертикальной термохалинной структуры труднодоступного восточного бассейна, впервые выполненные в 2005 г. институтом океанологии РАН на разрезе между бывшими островами Возрождение и Барсакельмес, показали, что, несмотря на свою малководность и подверженность сильным ветровым воздействиям, восточный бассейн также является не перемещенным, стратифицированным – на момент измерения соленость в нем менялась от 129 г/кг на поверхности до 134 г/кг у дна при глубине всего 2,5 м (рис. 4.3).

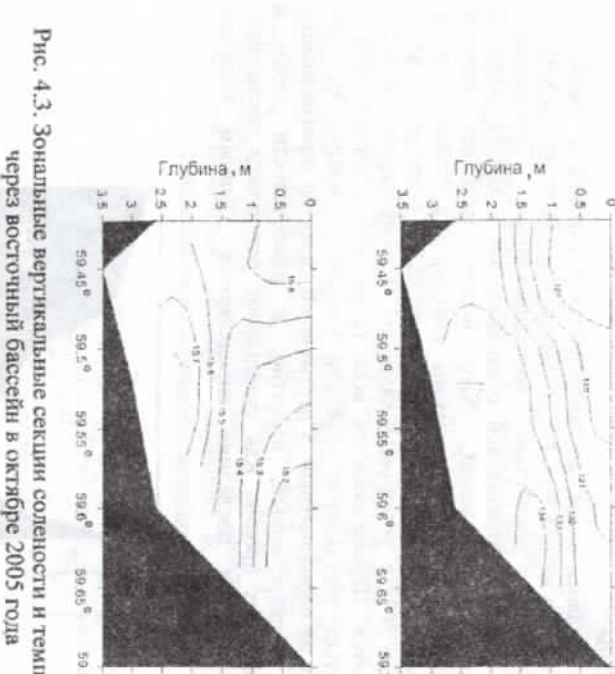


Рис. 4.3. Зональные вертикальные сечения солености и температуры через восточный бассейн в октябре 2005 года

Соловой баланс моря. Исследованиями солового баланса Аравийского моря в современных условиях занимались ряд ученых.

Для оценки изменений, произошедших в соловом балансе моря, коллективом авторов проведен сравнительный количественный анализ составляющих водного баланса до начала 60-х годов и для современного этапа резких антропогенных изменений режима моря по отдельным периодам.

При расчете солового баланса ими были использованы данные о водном балансе моря, материалы наблюдений за химическим составом вод Амулары и Сырдарьи, химическим составом осадков и др.

Ионный сток. В таблице 4.10 приведены средние концентрации главных ионов, суммарная минерализация и ионный сток рек Амулары и Сырдарьи для современного периода, рассчитанные коллективом авторов.

Если сравнивать суммарный ионный сток в Аральское море казахстанского периода (23,8 млн. т в год) и периода 1961-1970 гг. (26,9 млн. т в год), можно видеть, что он несколько увеличился в последнем. Объясняется это резким возрастанием общей минерализации вод Сырдарьи (почти в два раза). Минерализация вод Амулары в этот период повысилась незначительно.

В последующие периоды в связи с резким сокращением стока воды суммарный ионный сток в Аральское море снизился до 12,5 млн. т в год в 1971-1980 гг. и до 2,23 млн. т в год – в 1981-1985 гг.

В современные периоды в 1986-1990 гг. суммарный ионный сток в море составил 1,79 млн. т, в 1991-2000 гг. сток снизился почти до нуля 1,01 млн. т, а в 2001-2008 гг. ионный сток вновь отсутствовал. Причем, в отдельные периоды 1991-2000 гг. и 2001-2008 гг. по реке Сырдарье ионный сток отсутствовал. Минерализация вод Амулары возросла за последний период (2001-2008 гг.) до 3671,8 мг/л, а Сырдарьи – до 2878,4 мг/л (таблица 4.11).

Таблица 4.10.
Средняя многолетняя концентрация главных ионов, суммарная
минерализация и ионный сток рек Амулары и Сырдарьи
для характерных периодов

Период	Единица измерения	HCO_3^-	SO_4^{2-}	Cl^-	Ca^{2+}	Mg^{2+}	$\text{Na}^+ + \text{K}^+$	Суммарная минерализация	
								МГ/л	Ионный сток, млн.т.
Р.Амулары									
1911-1960	мг/л	153,5	104,9	74,1	83,1	11,2	43,7	470,8	17,74
	%	18,53	16,08	15,39	35,92	7,98	6,10	100,0	
1961-1970	мг/л	124,8	131,0	85,0	62,0	19,0	61,0	482,8	16,93
	%	14,20	19,30	16,50	21,30	10,50	18,20	100,0	
1971-1980	мг/л	110,7	243,8	137,9	80,8	25,8	109,2	768,2	8,87
	%	8,34	23,62	18,04	18,45	9,79	21,76	100,0	
1981-1985	мг/л	145,3	619,3	357,4	127,8	74,2	315,2	1640,4	2,23
	%	4,69	25,43	19,88	12,58	12,03	25,03	100,0	
Р.Сырдарья									
1911-1960	мг/л	186,1	164,4	40,3	87,6	20,6	43,8	542,8	6,05
	%	20,04	22,49	7,47	32,27	12,52	5,21	100,0	
1961-1970	мг/л	179,0	465,4	105,8	92,8	54,0	158,0	1055,0	9,96
	%	9,63	30,89	9,48	14,66	14,04	21,50	100,0	
1971-1980	мг/л	190,1	579,2	168,1	112,0	187,1	1312,5	3,59	
	%	7,80	30,31	11,90	14,03	15,59	26,37	100,0	
1981-1985	мг/л	184,5	922,7	187,1	131,1	89,5	328,7	1843,6	–
	%	5,49	34,92	9,59	11,85	13,17	24,75	100,0	

Рост минерализации речных вод обусловил резкое изменение их ионного состава. Так, например, относительное содержание карбонатов в водах Амулары и Сырдарьи снизилось в 4 раза. В то время как абсолютная их величина претерпела незначительное изменение массы карбонатных солей, осаждающихся при смешении морских и речных вод, с 7,9 млн. т в год в 1961-1970 гг. до 0,4 млн. т в год в 1981-1985 гг.

В то же время значительно возросло относительное и абсолютное содержание хлоридов и сульфатов. Из катионов относительное содержание кальция увеличилось втрое, тогда как его абсолютное значение изменилось незначительно, в то время как при существенном росте абсолютного содержания магния относительная его величина возросла также незначительно. Значительный рост абсолютного содержания металлов, особенно натрия, привел к увеличению их суммарного относительного содержания в 4,5 раз.

Таким образом, сток речных вод, поступающих в Аральское море, трансформировался из гидрокарбонатно-кальциевого в сульфатно-натриевое.

Связано с возрастанием суммарной минерализации и изменением качественного состава речных вод за счет полной зарегулированности и хозяйственного использования вод Амулары и Сырдарьи.

Средняя многолетняя концентрация главных ионов, суммарная минерализация и ионный сток рек Амулары и Сырдарьи для характерных периодов

Период	Единицы измерения	HCO_3^-	SO_4^{2-}	Cl^-	Ca^{2+}	Mg^{2+}	$\text{Na}^+ \text{K}^+$	Суммарная минерализация	Ионный сток, млн.т.
1986-1990	мг/л	136,2	912,1	675,6	161,8	111,3	332,4	2359,4	1,72
	%	10,3	21,4	17,3	17,1	11,1	12,6	100,0	
1991-2000	мг/л	127,3	1190,1	910,4	208,7	139,5	410,7	2986,7	1,01
	%	8,70	23,3	14,5	11,7	14,8	27,0	100,0	
2001-2008	мг/л	115,1	1395,3	1270,1	245,6	175,5	470,2	3671,8	-
	%	12,7	18,8	20,1	12,3	14,4	21,7	100,0	
Р-Сырдарья									
1986-1990	мг/л	171,3	1120,1	210,4	155,9	105,6	495,1	2261,4	0,97
	%	10,9	13,3	19,4	13,8	17,0	25,6	100,0	
1991-2000	мг/л	156,8	1240,3	245,3	170,8	121,5	628,9	2563,6	-
	%	12,0	19,1	18,3	15,5	18,8	23,3	100,0	
2001-2008	мг/л	159,0	1360,2	271,7	191,7	137,4	777,3	2878,4	-
	%	9,90	16,4	21,7	19,9	14,4	17,7	100,0	

Приход солей с атмосферными осадками. По расчетам коллектива авторов, среднее многолетнее значение минерализации осадков за период 1961-1970 гг. составило 39,5 мг/л при головых изменениях от 31,5 до 61,0 мг/л.

Периода 1971-1980 гг. – 71,1 мг/л при колебаниях от 23,6 до 111,6 мг/л. Для периода 1981-1985 гг. 95,2 мг/л при колебаниях от 59,7 до 146,8 мг/л.

По нашем расчетам, среднее многолетнее значение минерализации осадков за современный период 1986-1990 гг. составило 87,7 мг/л при колебаниях от 69,8 до 133,5 мг/л.

В 1991-2000 гг. 98,3 мг/л при колебаниях от 73,3 до 128,6 мг/л.

Столь значительное возрастание минерализации осадков связано с повышенной концентрацией аэрозолей терригенного происхождения вследствие интенсивного ветрового выноса солей с засоленных обсохших территорий бывшего дна Аральского моря.

Сокращение акватории моря не повлияло на поступление солей с атмосферными осадками. Рост их минерализации способствовал увеличению поступления солей с атмосферными осадками, средняя многолетняя масса которых составила в 1961-1970 гг. 0,36 млн. т, а для периодов 1971-1980, 1981-1985-0,44, 0,59 млн. т соответственно. По нашим расчетам, средняя многолетняя масса за современный период 1986-1990, 1991-2000 и 2001-2008 гг. составило - 0,89, 0,98, 1,14 млн. т соответственно.

Подземный сток и фильтрация вод. По оценкам ряда авторов, подземный сток в Аральское море в современных условиях не превышает 0,1-0,3 км³/год. Из-за падения уровня моря часть грунтовых вод разрушается на обсохшей территории Аральского моря, поэтому при расчетах массы солей, приходящих с подземными водами, коллективом авторов для периода 1961-1970 гг. принята величина 0,2, а для периодов 1971-1980 и 1981-1985 гг. 0,1 км³/год. Поступление солей для периодов оценено ими в 1,4 и 0,7 млн. т в год при средней минерализации подземных вод 7 г/л, рассчитанной И.М.Черненко.

Среднее значение фильтрации вод в современный период оценено указанными авторами в 0,1 км³/год, и вследствие этого потеря солей за счет фильтрации они принимали равными 1 млн. т в год в период 1961-1970 гг., а в последующие периоды и вовсе не учитывали их.

Золотой приход солей и ветровой вынос солей поверхности моря и с поверхности льда. В связи с развитием опустынивания в Приаралье увеличивается приход с общей массой золотого материала. По данным коллектива авторов, ежегодное поступление солей с атмосферной пылью составило для периодов 1961-1970, 1971-1980, 1981 гг. 0,38, 0,61, 0,69 млн. т в год соответственно, а ветровой вынос солей поверхности моря за указанные периоды оценен ими соответственно в 0,38, 0,36, 0,33 млн. т в год.

Ветровой вынос солей с поверхности льда, по их же расчетам, составляет для периодов 1961-1970, 1971-1980, 1981-1985 гг. соответственно 0,34, 0,39, 0,49 млн. т в год.

По нашим анализам, ежегодное поступление солей с атмосферной пылью составило для периодов 1986-1990, 1991-2000, 2001-2008 гг.

0,78, 0,86, 0,94 млн. т в год соответственно, а ветровой вынос солей с поверхности моря за указанные периоды оценен нами соответственно в 0,37, 0,49, 0,55 млн. т в год.

Ветровой вынос солей с поверхности льда, по нашим расчетам,

составил для периодов 1986-1990, 1991-2000, 2001-2008 гг.

соответственно 0,54, 0,59, 0,63 млн. т в год.

Испарение. При расчетах количества солей, уходящих с испаряющейся водой, коллективом авторов была использована величина минерализации испаряющейся воды 0,25 мг/л, замствованная у Л.К.Блинова. Для периодов 1961-1970, 1971-1980, 1981-1985 гг. эта составляющая солевого баланса была оценена указанными авторами в 0,16, 0,13, 0,12 млн. т в год соответственно, при незначительных (0,10 - 0,18 млн. т в год) межгодовых колебаниях.

По нашим расчетам, также была использована величина минерализации испаряющейся воды 0,25 мг/л и для современных периодов 1986-1990, 1991-2000, 2001-2008 гг., эта составляющая солевого баланса была оценена 0,10, 0,08, 0,06 млн. т в год соответственно, при незначительных (0,04-0,19 млн. т в год) межгодовых колебаниях.

В связи с падением уровня Аральского моря и увеличением осушающейся территории дна моря в солевом балансе коллективом авторов включены расходные его составляющие – осаждение солей на берегах, а также осаждение карбонатных солей при концентрировании морской воды.

При расчетах отложения солей на берегах при понижении уровня моря было использованы данные Института географии РАН о засоленности осушившегося дна Аральского моря между отметками 53 и 49 м абсолютной высоты. По данным В.Н.Бортиника, среднее количество солей, отлагающихся на 1 км² площади бывшего дна моря, оценено примерно в 7 тыс. т (7 кг/м²). Эта цифра была использована коллективом авторов при расчетах массы солей, отложившихся на обсохшей части дна моря для периода 1961-1970 гг., величина, которая за этот период составила 48,5 млн. т при среднем годовом их количестве 4,85 млн. т.

В 1971-1985 гг. среднее количество солей, отлагающихся на 1 км² осущенной части дна моря, было оценено в 3 тыс. т. Такая же примерно величина была получена Н.М.Богдановой, Т.А.Востоковой, И.М.Острожским, И.В.Рубановым. Среднее годовое количество солей, отложившихся на осущенной части дна моря за 1971-1980, 1981-1985 гг., было оценено ими в 2,84, 4,82 млн. т соответственно.

Величина осажденных карбонатных солей при концентрировании морской водой, по их же расчетам, за 1961-1970 гг. составила 2,39 млн. т при головых колебаниях от 0 до 5,3 млн. т.

В последующие периоды (1971-1980, 1981-1985 гг.) эта величина составила соответственно 4,34, 6,57 млн. т при головых колебаниях от 3,13 до 9,98 млн. т (таблица 4.12).

Приток солей в Аральское море

Таблица 4.12

Год	Объем воды, км ³	Масса солей, млн.т	Соленость, г/л	Масса солей, выпадающих в осадок, млн.т	
				Саличес- тиши	Образование в пробирочной эли
1960	1083	10833	9,93	11,63	-0,01
1961	1079	10837	9,97	8,24	0,28
1962	1060	11524	10,8	8,40	0,30
1963	1038	11056	10,6	8,13	0,69
1964	1030	10515	10,1	10,56	0,05
1965	1019	11091	10,8	5,82	0,63
1966	993	11810	11,8	9,21	1,31
1967	974	10810	11,0	7,75	0,53
1968	952	11038	11,5	8,76	1,06
1969	955	10514	10,9	18,42	-0,35
1970	964	10883	11,2	8,65	-0,27
1971	940	10860	11,4	5,88	1,31
1972	909	10968	11,9	6,62	0,70
1973	891	10742	11,9	11,58	0,01
1974	870	1185	13,0	2,24	0,44
1975	822	1104	13,4	2,14	2,08
1976	779	11442	14,6	2,81	1,87
1977	742	11568	15,4	1,76	2,12
1978	713	10742	15,0	5,30	1,59
1979	680	10313	15,1	3,54	1,08
1980	644	10898	16,8	3,10	0,66
1981	616	10974	17,7	2,42	0,95
1982	574	10900	18,8	0,32	5,33
1983	532	10911	20,3	0,70	6,77
1984	499	11009	21,0	2,92	1,71
1985	465	10878	22,9	0,68	3,83
1986	432	10325	22,9	0,04	8,29
1987	401	10025	23,9	3,57	4,14
1988	380	10640	25,0	10,13	1,32
1989	354	10620	28,0	1,07	5,75
1990	323	10336	30,0	3,87	6,87
1991	299	10166	32,0	6,59	3,87
1992	286	10010	34,0	15,28	0,38
1993	278	10008	35,0	11,40	1,13
1994	266	9842	36,0	15,99	1,18
1995	250	10500	37,0	3,00	5,27
1996	230	10095	42,0	3,74	6,20
1997	210	10438	43,5	1,89	6,20
1998	194	9816	49,8	17,86	3,34
1999	181	10100	50,6	10,14	5,61
2000	169	9903	55,8	0,63	11,23
2001	143	10107	58,6	7,70	6,61
2002	116	10200	60,1	4,40	7,70
2003	100	9970	62,4	3,35	4,20
2004	93,5	10235	68,0	6,10	5,83

В 2002 году Институтом океанологии РАН при участии Гидрометцентра РФ и совместно с Институтом геологии и геофизики АН Республики Узбекистана, Национальным университетом Узбекистана, Каракалпакским государственным педагогическим институтом, Нукусским Средазиатским научно-исследовательским гидрометеорологическим институтом и Международным казахско-турецким университетом была

начата многолетняя программа экспедиционного мониторинга Аральского моря. По анализам мониторинга за 1990-2000 гг., среднее количество солей, отлагающихся на 1 км² осущененной части дна моря было оценено в 5,4 тыс. т. Среднее годовое количество солей, отложившихся на осущененной части дна моря за 1986-1990, 1991-2000, 2001-2008 гг., было оценено ими в 5,3, 4,8 и 6,09 млн. т соответственно.

Величина осажденных карбонатных солей при концентрировании морской водой, по их же расчетам, за 1986-1990 гг. составила 8,26 млн. т при годовых колебаниях от 0 до 15,0 млн. т.

В последующие периоды (1991-2000, 2001-2008 гг.) эта величина составила соответственно 9,87, 10,12 млн. т при годовых колебаниях от 6,13 до 12,3 млн. т (таблица 4.12).

4.3. Прогноз изменений гидрологических и гидрохимических условий Аральского моря до 2020 года

Исследованиями по прогнозу изменений гидрологических и гидрохимических условий замкнутых водоемов, в частности Аральского моря, занимались многие исследователи. Так, например, над оценкой возможных перспективных изменений уровня моря или отдельных элементов водного баланса работали А.В.Шлыников, В.П.Львов; М.Х.Байнал; В.В.Голубцов, О.А.Морозов, К.И.Смирнова.

У большинства указанных авторов прогнозные разработки носят весьма общий в основном, качественный характер. В них отсутствует устойчивость связей с вынуждающими силами, не учтено влияние антропогенного фактора на режим моря.

Для долгосрочного прогноза изменений уровня замкнутых водоемов с нарушенным естественным режимом, каким является Аральское море, коллектива авторов предполагает использовать физическую модель, описываемую уравнением водного баланса. При этом необходимо выявить причинно-обусловленные связи между различными вынуждающими силами. Для описания колебаний уровня моря можно использовать также и вероятностный подход. Основоположниками этого метода являются С.Н.Крицкий и М.Ф.Менкель. В основе этого метода для определения уровня водоемов, ожидаемого с той или иной вероятностью через n лет, лежит построение кривой обеспеченности уровня исследуемого водоема в n -ом году. В дальнейшем аналитическое решение этой задачи было уточнено и дополнено рядом авторов. Эта методика расчета была успешно применена Т. Искендеровым, С.Н.Крицким, Д.В. Корнейковым, Д.Я.Ратковичем; А.Е. Асарином; В.Е.Привальским, И.С.Ждановой для расчета прогнозных уровней Аральского и Каспийского морей и озера Балхаш.

Помимо аналитического метода расчета прогнозных уровней замкнутых водоемов, вероятная концепция допускает также расчеты, основанные на применении статистического подхода (метод Монте-Карло), Г.Г.Сванлизе разработал основные положения и расчетные методы применительно к гидрологическим задачам, а И.В.Хомерики предложил принципиальную схему математического моделирования уровня замкнутых водоемов, основанную на методе Монте-Карло. Этот метод получил развитие и практическое применение в работах А.Е.Асарина, Т.Искандерова и др.

Существует еще одна группа работ по прогнозу уровня замкнутых водоемов, в которых исследователи при расчетах перспективного уровняного режима исходят из постоянства и равенства многолетней нормы стока рек, испарения и осадков, В.Н.Бортник.

Имеются также смешанные методы прогнозирования колебаний уровня моря, при котором некоторые в одних случаях элементы водного баланса принимаются равными в многолетней норме. В других определяются на основании их связей с вынуждающими силями.

По расчетам М.М.Рогова и др., уровень моря должен был снижаться следующим образом: 1975 г. 49,5 (49,1); 1980 г. 47,5 (46,0); 1988 г. 42,0 (40,5) м абсолют. в скобках даны фактические данные уровня Аральского моря в эти годы. Как видно, их прогноз близок к фактическим данным, но в отдаленной перспективе их разница увеличивается. Однако авторы предвидят, что водозабор из Амуударьи и Сырдарьи будет увеличиваться из года в год и заложенные ими на основе расчета величины изъятия стока могут существенно изменяться, в связи с чем рассчитанные уровни моря могут лишь сдвинуться во времени.

И.П.Герасимов и др. на основе своих расчетов полагали, что уровень Аральского моря к 2000 г. понизится до отметки 38,1 абсолют. Сравнение с нынешним состоянием Арала позволяет сделать вывод о недостаточной объективности данного прогноза.

Несколько ближе к фактическим данным уровень Аральского моря прогнозные значения Д.Я.Раткович, который отмечал, что при начальном сокращении речного притока уровень тяготения моря к 2000 г. должен снизиться до отметки 28-31 м абсолют. При таких отметках море превратится в два небольших, насыщенных рапой, водоема. Однако из-за запаздывания темпов снижения равновесного понижения к концу столетия уровень моря понизился в средних климатических условиях предстоящего периода до отметки 33,2 абсолют. м.

Далекий от истинны прогноз дала Г.В.Гельдысева, которая считала, что к 2000 г. уровень моря понизится на 26 м и достигнет отметки 27 м абсолют., а площадь осущененной части дна составит 56 тыс. км². А.А.Рафиковым для определения прогнозных уровней Аральского моря был успешно применен метод экспоненциального сплаживания, основная идея которого базируется на предположении сохранения закона изменения прогнозируемой переменной на ретроспективном участке на определенном интервале времени в будущем. По его расчетам, уровень моря в 1994 г. должен был достичнуть отметки 36,2 м

абс. а в 1999 г. 33,5 м абсолют. К этому времени этот прогноз отправлялся, так как по фактическим данным уровень Аральского моря в 1994 г. достиг отметки 36,9 м абсолют. а в 1999 году 33,8 м абсолют.

Для расчета возможных изменений уровня и морфометрических характеристик Аральского моря использован метод группового численного моделирования составляющих водного баланса – осадков, испарения и водных ресурсов рек Амудары и Сырдарьи. Преимущества этого метода моделирования заключаются в учете корреляционных взаимосвязей между моделируемыми рядами, что имеет существенное значение для бассейна Аральского моря (таблица 4.13).

Таблица 4.13
Корреляционная матрица элементов водного баланса Аральского моря

№	Элемент водного баланса (моделируемые ряды)	1	2	3	4	Сдвиг на один год			
						1	2	3	4
1	Водные ресурсы Амудары	1,00	0,83	0,23	-0,17	0,11	0,06	0,06	0,23
2	Водные ресурсы Сырдарьи	0,83	1,00	0,25	-0,08	0,17	0,12	0,13	0,21
3	Осадки	0,23	0,25	1,00	-0,16	-0,07	-0,08	0,18	0,21
4	Испарение	-0,17	-0,08	-0,13	1,00	-0,04	-0,06	0,12	0,19
		-0,12	-0,07	0,13	1,00	-0,05	0,01	0,18	-0,13

Примечание. В числителе – по фактическим рядам, в знаменателе – среднее по смоделированным рядам.

Для последующих балансовых расчетов возможных изменений уровня моря было использовано 120 реализаций 30-летних групп взаимосвязанных смоделированных рядов осадков, испарения и водных ресурсов Амудары и Сырдарьи. В таблице 4.14 проведены статистические параметры исходных и оцененных по 120 реализациям смоделированных рядов и корреляционные матрицы связи между отдельными элементами водного баланса.

Таблица 4.14
Статистические характеристики исходных (числитель) и смоделированных (знаменатель) рядов

№	Элемент водного баланса (моделируемые ряды)	Среднее	Коэффициент корреляции	Коэффициент асимметрии	Коэффициент автокорреляции	Площадь, км ²				
						Балтийское море	Восточная часть	Малое море	Западная часть	Объем, км ³
1	Водные ресурсы Амудары, км ³	72,3	0,15	1,06	0,11	13628	46466	66086	79,7	302,8
2	Водные ресурсы Сырдарьи, км ³	72,6	0,16	1,07	0,08	13364	40883	59610	68,7	275,9
3	Осадки, см	38,1	0,21	0,73	0,22	53,0	5992	13628	–	68,12
4	Испарение, см	38,2	0,20	0,49	0,18	51,0	5361	13364	–	1063,7

Таблица 4.15
Площадь водной поверхности и объем волн Аральского моря и его отдельных частей при различных высотных отметках уровня (по Р.В.Николаеву)

Отметка уровня, м абсолют.	Площадь, км ²			Объем, км ³
	Малое море	Западная часть	Восточная часть	
53,0	5992	13628	46466	79,7
51,0	5361	13364	40883	68,7
49,0	4830	12962	37556	55348
47,0	3846	1185	31417	53,5
33,0	1363	6203	15817	46648
23,0	–	2689	–	31,9
13,0	–	1597	–	175,2
3,0	–	1597	–	304,1
-16,0	–	0	–	511,2

Расчеты показали, что многолетнее регулирование водного стока Амудары и Сырдарьи в условиях постоянного нарастания объемов безвозвратных избыточных стоков и острого дефицита собственных водных

сравнительная характеристика статистических параметров исходных и смоделированных рядов свидетельствует о достаточно высоком качестве моделирования. Дополнительной проверкой адекватности модели служит также несимметричная матрица, которая составлена из наблюдаемых и смоделированных значений коэффициентов корреляции при сдвиге рядов относительно друг друга на один год.

В таблице 4.15 приведены морфометрические характеристики Аральского моря и его отдельных частей при различных высотных отметках уровня.

Результаты балансовых расчетов для минимального и максимального из рассмотренных вариантов роста безвозвратных многолетнего стока в бассейнах рек Амудары и Сырдарьи без учета изъятия стока в таблице 4.16. Средние значения уровня моря, приведены в таблице 4.16, соответствующие 50% обеспеченности факторов, дают достаточную статистическую информацию о вероятных ожидаемых уровнях Аральского моря в ближайшую информационно о 2010-2020 годы.

Как видно из таблицы 4.16, уровень моря к 2010 году при средних климатических условиях в зависимости от варианта водопотребления упал до отметок 27,0-26,0, а к 2020 году может дойти до 0,5-0,25 м абсолют. За счет колебаний климатических условий отклонения уровня от указанных средних отметок могут достигать в 2010-2020 гг. в интервале вероятностей превышения 5-95% (90%-доверительный интервал) ±0,5-1,0 м.

ресурсов этих рек малоэффективно и не оказывает какого-либо заметного влияния на средний (за расчетный период) суммарный непогашенный ледфригит водных ресурсов рек и уровень моря.

Прогноз изменений морфометрических характеристик Аравльского моря по годам (по данным В.А.Рафикова)

Таблица 4.16

Год	Уровень воды, м	Площадь зераля, км ²	Объем воды, км ³	Минерализация г/л
Минимальный выпущен изъятый				
2013	24,2	10,9	57,0	143
2014	22,0	8,2	49,0	150
2015	20,5	7,4	39,3	155
2016	17,0	6,7	27,5	165
2017	15,5	5,1	16,0	170
2018	10,7	4,5	8,2	190
2019	6,2	3,0	4,95	225
2020	0,5	1,97	1,35	217
Максимальный выпущен изъятый				
2013	23,0	9,0	50,0	150
2014	20,0	7,8	38,2	160
2015	15,2	6,5	26,2	170
2016	11,3	5,5	18,7	180
2017	7,2	4,7	8,69	190
2018	4,5	4,1	6,56	200
2019	0,8	2,4	3,67	225
2020	0,25	1,7	0,85	250

Отклонения средних значений уровня отдельных лет от их значений, соответствующих одним и тем же вариантам изъятой стоки, не превышает 1,0-2,0 м.

Осуществление того или иного варианта водохозяйственных мероприятий, определяющих темпы роста безвоззратных изъятых стока, существенно скажется на режиме моря. Так, в 2020 г. падение уровня при различных вариантах изъятой может различаться более чем на 0,25 м. Влияние же климатических факторов на уровеньный режим моря в условиях рассмотренных вариантов изъятой стоки существенно ограничено. Это связано с практически полным исчерпанием водных ресурсов рек Сырдарьи и Амударьи уже к 2005-2008 гг.

Таким образом, в ближайшие десятилетия падение уровня Аравльского моря будет продолжаться, и его интенсивность будет определяться в основном антропогенным фактором – темпами возрастания объемов безвоззратных изъятых стока, характеризующих тот или иной вариант водохозяйственных мероприятий в бассейне моря. Изменения солености Аравльского моря в современный период и в дальнейшем будут обуславливаться, главным образом, концентрированием морских вод при уменьшении объема моря. В то же время влияние ионного стока и других составляющих солевого баланса будет крайне незначительно ввиду резкого уменьшения притока речных вод и сокращения площади моря. К тому же значительная часть солей,

принесимых реками (карбонаты и часть сульфатов), будет осаждаться при смешении речных и морских вод вследствие пересыщения последних этими солями.

Прогнозирование средней солености замкнутых водоемов тесно связано с изменением их уровневого режима. Одними из первых исследователей, занимавшихся оценкой средней солености Аравльского моря в будущем, были Б.Д.Зайков, Г.В.Никольский и М.А.Фортунатов. Которые, основываясь на том свойстве Аравльского моря, что его солевая обладает большой инерцией и довольно устойчива во времени, для расчетов прогнозных значений солености моря использовали зависимость его средней солености от объема Аравла.

В.Н.Бортиник успешно использовал метод вероятностного моделирования при солености Аравльского моря. Этот метод был дополнен и развит им в коллективной монографии Аравльское море.

Результаты балансовых расчетов средней солености Аравльского моря для минимального и максимального вариантов роста безвоззратного водотребления в бассейне моря приведены в таблице 4.16. Эти значения солености соответствуют 50% обеспеченности гидрометеорологических характеристик, а стандарты отклонений дают статистическую информацию о вероятных отклонениях значений солености под влиянием природных факторов.

Как видно из таблицы 4.16, к 2010 г. соленость моря при средних климатических условиях повысится до 112-115‰. За счет климатических факторов отклонения солености от средних значений достиг (при 90% доверительном интервале) ±5,6-5,9‰.

К 2020 г. соленость моря может повыситься до 237-250‰. Отклонения от средних за счет колебаний климатических факторов (при 90% доверительном интервале) составят ±10,7-13,0‰.

В зависимости от варианта безвоззратных изъятых стока значения солености моря, к 2020 г. могут отличаться друг от друга на 13‰. Как было показано выше, влияние климатических факторов на режим моря в условиях рассмотренных вариантов изъятой стоки за пределами 2005-2008 гг. будет несколько ограничено.

По мере осолонения вод моря будет происходить метаморфизацию солевого состава, связанная с осаждением части трудно растворимых солей.

В условиях при средней солености воды Аравльского моря, составляющей 10,2-10,3‰, осаждается только CaCO₃. Высокая карбонатность аравльских грунтов уже давно отмечена. Достаточно хорошо показана также большая роль в образовании этих осадков процесса химического осаждения CaCO₃ из воды Аравльского моря. Согласно исследованиям И.Н.Петешкова и Н.В.Бодалевой, аравльская вода при увеличении солености 29,8‰, полученной в условиях изотермического испарения при 40°C, становится насыщенной и CaSO₄. Как и следовало ожидать, сходный результат получен Л.К.Блиновым на основании экспериментов, проведенных в условиях, близких к

естественным. Такой солености вода Араля достигла при уменьшении его водной массы примерно до 350 км³. Это соответствовало понижению уровня до 39 м абсолютной высоты и сокращению площади моря на 33 тыс. км². Очевидно, что на всей этой площади аральские хемогенные осадки могут быть представлены только CaCO_3 . Лишь при дальнейшем понижении уровня моря к карбонату кальция присоединится гипс.

По нашим анализам, совместное осаждение только этих солей будет происходить в течение длительного времени - до тех пор, пока к ним не присоединится сезонная (в холодное время года) салка мирабилита. К этому времени резко сократившееся в объеме и по площади Аральское море станет близким в гидрохимическом отношении к Кара-Богаз-Голу в той его стадии, когда карабагаская рапа была еще не насыщена NaCl . Осаджение солей в сформировавшейся рапе Аральского моря произойдет по схеме, соответствующей условиям осаждения солей для указанной стадии Кара-Богаз-Гола: зимой с охлаждением рапы будет осаждаться мирабилит ($\text{Na}_2\text{SO}_4 \cdot 10\text{H}_2\text{O}$) и соли Ca ; летом - наряду с продолжающимся осаждением последних, мирабилит перейдет в раствор, но так как глубина водоема окажется сравнительно большой, масса будет прогреваться очень медленно, то можно предполагать, что растворится не весь осадившийся мирабилит. Часть выделившегося зимой мирабилита при штормовых ветрах может быть выброшена на берег, подобно тому, как это происходило на Кара-Богаз-Голе.

По аналогии с последним, выброшенным на берег мирабилит может составить лишь ничтожную долю его общего количества, осажденного из сгущенной воды Аральского моря.

По мере дальнейшего роста концентрации аральской рапы произойдет и насыщение ее NaCl . Осаджение последнего, в отличие от мирабилита, не будет иметь сезона характера, так как растворимость NaCl мало зависит от температуры воды. На начальной стадии насыщения аральской рапы NaCl его выпадение в зимнее время может приостановиться, так как вследствие салии мирабилита общая соленость рапы снизится. Но при полном прекращении притока речных вод в Аральское море эта стадия будет длиться лишь немногие годы. С увеличением концентрации рапы NaCl постепенно перекроет осаждение на дно водоема сульфатные соли (с увеличением концентрации будет происходить также осаждение сульфата натрия), что вначале затруднит, а вскоре и совсем исключит возможность их растворения в теплое полугодие.

Процесс превращения в хлоридное соленое озеро будет протекать, видимо, быстро, так как осаждение сульфатов начнется при еще значительной глубине Араля, и повышение температуры придонных вод в теплое время года, как уже отмечалось, оказывается недостаточным для их полного растворения. Такое явление неоднократно наблюдалось и в

менее глубоком Кара-Богаз-Голе; именно с ним в основном и связано относительное уменьшение сульфат-иона в карабагаской рапе по сравнению с каспийской водой.

С превращением Араля в хлоридное соленое озеро практически будет происходить осаждение только NaCl , на долю которого придется большие 99% массы осаждаемых солей; соли Ca составят лишь доли процента. В конечном счете, образуется солинное озеро, верхняя часть солиной толщи которой будет представлена пластом почти чистой поваренной соли, а нижняя часть - различными сульфатами: мирабилитом ($\text{Na}_2\text{SO}_4 \cdot 10\text{H}_2\text{O}$), глауберитом ($\text{CaSO}_4 \cdot \text{Na}_2\text{SO}_4$), астраганитом ($\text{Na}_2\text{SO}_4 \cdot \text{MgSO}_4 \cdot 4\text{H}_2\text{O}$) и другими.

Средняя мощность солиной толщи моря составит не меньше 2,5-3 м, если даже принять завышенный размер площади Араля к началу салки NaCl - 1,5 тыс. км². Примерно половина этой мощности придется на пласт поваренной соли (глинистый). Как показывают многочисленные наблюдения на озерах Российской Федерации - Куулундинское (Алтайский край), баскунчаке (Астраханская обл.), Эльтоне (Волгоградская обл.) и других солиных озерах, пласт глины представляет собой очень плотное образование, практически не подверженное ветровой эрозии. Никакого разрушения этого пласта, а следовательно, и выноса солей произойти не может.

В отличие от глины, обезвоженный сульфат натрия (Na_2SO_4) - легко раздуваемый ветром порошок. Но в опытываемых условиях все сульфатные соли будут защищены от раздувания плотным пластом глины.

ЗАКЛЮЧЕНИЕ

Прогноз изменений геосистем дельты Амудары и обсохшего дна Аральского моря позволяет сделать следующие выводы:

1. С начала 60-х годов прошлого столетия антропогенное воздействие на естественные природные условия Аральского моря и Приаралья стало резко увеличиваться все возрастающими темпами. Расширение типопадей орошаемых земель и связанное с ним уменьшение притока речных вод к морю, интенсификация химизации сельского хозяйства, ухудшение качества речных вод привели ко многим негативным изменениям физико-географических, экологических, социально-экономических условий региона. Аральское море вследствие его интенсивного усыхания практически потеряло свое рыбохозяйственное, транспортное и рекреационное значение; деградировали уникальные ландшафтные зоны дельты Амудары и Сырдарьи; ухудшились климатические условия в прилегающих к морю районах; резко обострилась санитарно-эпидемиологическая обстановка; усилилась пыль и солевые выносы на прилегающие территории и др.;

2. Теоретически обоснованы методология, научные подходы, принципы и методы прогнозирования изменения аридных геосистем в

условия продолжающейся экологической дестабилизации в Южном Приаралье до 2020 года. Главный принцип прогнозирования изменения геосистем – историко-динамический, который основывается на исследовании в историко-эволюционном плане. В прогнозировании трансформации геосистем, наряду с другими методами использован преимущественно прогнозный космонадикационный, являющийся наиболее эффективным и достоверным. Всесторонне и глубоко исследованы природные и антропогенные факторы прогнозирования изменения геосистем Приаралья;

3. К 2020 г. в отступающей части дельты Амударьи, при сохранении существующей (имеются в виду относительно многоводные годы) степени обводнения межрудовых понижений (Междуречинское, Судочинское, Караджарское, Майпостское) будут сохраняться нынешние гидроморфные (озерно-болотные в сочетании с солончаковыми) геосистемы, межголовинные возвышенные равнины, по всей вероятности, будут подвергаться элювиальным процессам, и в связи с этим доминирующими станут автоморфные (сухолольные) ландшафтные условия с резким преобладанием золовых процессов и естественного рассоления;

4. Экстрааридные геосистемы обсохшей части дна Аравийского моря являются чрезвычайно высокодинамичными, а по мере снижения его уровня их свойства беспрерывно изменяются от уреза воды до коренного берега. Установлено, что ландшафтные и естественно-меньоративные особенности территории в пространстве постепенно трансформируются от гидроталоморфных (уровень морской воды) до элювиальных комплексов (коренной берег 1960-х г.) включительно. Следовательно, для осушки моря характерны самые различные полиспектры аридных геосистем и процессов;

5. Изобата 0-5 м – зона формирования классических аэродинамических форм золового рельефа, к 2020 году здесь будет закончен первый этап формирования типичного Аравийского барханино-буристого рельефа; полоса по изобате 6-10 м окончательно переходит в элювиальный этап развития геосистем (кроме локальных участков ур. Алижай, Муйнак, Рыбакий, долина И устья Ордабайзек); геосистемы изобаты 11-17 м до конца прогнозируемого времени будут развиваться сначала в тенденции прогрессирующего соленакопления, а далее рассоления, т.е. им будут свойственны спиралевые и субкальные элювиальные геологические условия. Изобата 18-30 м, по всей вероятности, и далее не будет покрываться растительностью из-за суровости гидролазированной среды;

6. Прогноз состояния гидрорежима Арая определяется непосредственно объемом стока Амударьи, при условии сохранения стока Амударьи в море (от 20 до 30 km^3 в год) его зеркало стабилизируется на отметке от 25,0 до 28 м абсолютной высоты (при норме слоя индикатора испарения 0,86 м год).

По нашим прогнозам, уровень моря к 2015 году при средних климатических условиях в зависимости от варианта водопотребления может упасть до отметки 20,0-22,0, а к 2020 году до 0,5-0,25 м абсолютной высоты. За счет колебаний климатических условий отклонения уровня от указанных средних отметок могут достигать в 2010-2020 гг. в интервале вероятностей превышения 5-95% (90%-доверительный интервал) ±0,5-1,0 м.

К 2015 г. соленость моря при средних климатических условиях может повыситься до 130-145‰. За счет климатических факторов отклонения солености от средних значений могут достигать (при 90% доверительном интервале) ±5,6-6,5‰.

К 2020 г. соленость моря может повыситься до 237-250‰, а отклонения от средних за счет колебаний климатических факторов (при 90% доверительном интервале) составляет ±10,7-13,0‰.

По нашим прогнозам, совместное осаждение солей будет происходить в течение длительного времени – до тех пор, пока к ним не присоединится сезонная (в холодное время года) салка мирабилита. На конечной стадии высыхания Аравийского моря образуется соляное озеро. Его твердую и жидкую фазы составят основная масса солей – около 9 млрд. т, т.е. практически все растворенные в воде современного Арая соли Na и Mg .

7. Проблема Аравийского моря и Приаралья в течение 50 лет превратился крупно- и макрорегионального масштаба, при этом негативные процессы дальнейшего усыхания моря и опустынивания дельтовых равнин приобретают прогрессивного характера. В течение указанного периода были благоприятные шансы для стабилизации уровня моря, в частности на отметках 40 м, 36 м, 33 м, которые позволяли бы сохранить Большого моря в нерасщепленном виде, если направили бы регулярно от 20 до 40 km^3 ежегодно (в зависимости от его уровня). Теперь эти шансы уже позади. Стабилизация зеркала моря на отметке 33 м абсолютной высоты не реально, так как в нынешних условиях дефицита речной воды Амударьи и Сырдарьи нельзя направить постоянно сток в объеме не менее 20 km^3 в год. Остается только один выход – сохранения моря в отдельных районах морской котловины (западной части и в Малом море), но при наличии не менее 10 km^3 для западной части и 5-7 km^3 для Малого моря.

Оптимизация природной среды Приаралья должна осуществляться регулярно на основе генеральной схемы и научно – обоснованной концепции по решению проблемы, рассчитанные на нескольких этапов, реализации основных мероприятий. В основных мероприятиях должны содержаться стратегии нормализации экологического равновесия, улучшения санитарно-гигиенической, медико-биологической и социально-экономической ситуации в регионе.

ЛИТЕРАТУРА

1. Каримов И.А. Узбекистан на пороге XXI века: угрозы безопасности, условия стабильности и гарантии прогресса. Ташкент: Узбекистан, 1997. с. 113-125.
2. Каримов И.А. Узбекистан по пути углубления экономических реформ. Ташкент: Узбекистан, 1995. с. 145-157.
3. Артыкова Ф.Я., Трофимов Г.Н. Вероятностная модель динамики уровня Аралия// Международная научно-практическая конференция «Инновация 2004»/ Сб. научных статей. Ташкент: ТГТУ, 2004. с. 295-297.
4. Асарин А.Е. Водный баланс и ожидаемые уровни Аральского моря. Тр. IV Всесоюзного гидрологического съезда. -Л.: Гидрометеоиздат, 1976. Т.4. с.199-207.
5. Бакум Т.А. Современные тенденции изменения биокомплексов Приаралья// Проблемы освоения пустыни. Алхабад. 1979. №2. с.34-40.
6. берг Л.С. Аральское море// Известия Туркестанского отделения Русского географического общества. М.: 1908 №9. с.569 с.
7. Берлинт А.М. Использование карт для целей прогноза. В кн.: Итоги науки и техники. М.: Картография, 1976. Т.7. с.22-36.
8. Блинов Л.К., и др. Гидрохимия Аральского моря. Л.: Гидрометеоиздат, 1956. с.252.
9. Бортник В.Н., и др. Современное состояние и возможное будущее Аральского моря// Известия СССР, сер.географ. М.: 1991. №4. с.62-68.
10. Володкин А.В. Проблема реконструкции рыбного хозяйства Аральского моря и современные задачи рыбохозяйственных исследований// Материалы режиму вод бассейна Аральского моря. М.: Каз. МОН, 1950. с.3-5.
11. Гельдиева Г.В. Степные и пустынные ландшафты равнинного Казахстана (систематика, тенденция развития в условиях современного землепользования): Автореф. докт. геогр. наук. Л.: ПУ, 1989. с.250.
12. Герасимов И.П. Конструктивная география: цели, методы, результат. М.: Наука, 1977. с.58.
13. Готтарев Н.П., и др. Влияние температурной стратификации приводного слоя атмосферы на скорость испарения. Тр. ГОИН. М.: Наука, 1970, вып. 98. с.148-155.
14. Звонкова Т.В. Принципы и методы регионального географического прогнозирования// Вестник МГУ, сер.геогр. М.: 1972. №4. с.19-25.
15. Звонкова Т.В. Методы географического прогноза изменений природной среды. София, 1975, с.25-90.
16. Звонкова Т.В. Географическое прогнозирование. М.: Высшая школа, 1987. с.192.
17. Иванова Л.В. Гидрологические аспекты проблемы Аральского моря// Водные ресурсы. М.: 1992. №2. с.39-49.
18. Исащенко А.Г. Методы прикладных ландшафтных исследований. Л.: Наука, 1980. с.222.
19. Искендеров Т. Некоторые уточнения методики вероятностного счета колебаний уровня замкнутых водоемов. Тр. ГГИ. Л.: Гидрометеоиздат, 1970, вып. 180. с.152-161.
20. Иланкулов М.Ш. Развитие природных комплексов обнажающегося дна Аральского моря. Теория и природные ресурсы. Ташкент: ФАН, 1985, №2. с.45-53.
21. Кесе А.С. и др. Прогноз солеобразующих процессов на осушаемую дне Аральского моря// Проблемы Арского моря и дельты Амуудары. Ташкент: Фан, 1984. с.90-101.
22. Кравцова В.И. Деградация Аралия и прилегающих территорий: особые явления, наблюдавшиеся по космическим снимкам. М.: МГУ, 2004. с.55-60.
23. Кринский С.Н., и др. Некоторые положения статистической теории колебаний уровней естественных водоемов и их применение к исследованию режима Каспийского моря. М.: Изд. АН СССР, 1946. с.76-96.
24. Курбанизов А.К. Возможности и характер управления природной средой Аралкум. Известия географического общества Узбекистана. Ташкент: Т.23. 2003. с.91-92.
25. Курбанизов А.К. Современное состояние изученности гидрологических условий обсухшего дна Аральского моря. Известия географического общества Узбекистана. Ташкент: Т.25. 2005. с.61-63.
26. Рафиков А.А. Проблема Аральского моря. Ташкент: Узбекистан, 1978. 140 с.
27. Рафиков А.А. Типизация природных комплексов и анализ влияния естественных факторов на мелиоративные условия на примере Южного Приаралья. Заключительный отчет Отдела географии АН РУЗ. Ташкент: 1980. с.142.
28. Рафиков А.А. и др. Снижение уровня Аральского моря и изменение природных условий низовьев Амуудары. Ташкент: ФАН, 1981. 200 с.
29. Рафиков А.А. Природные условия осушающегося южного побережья Аральского моря. Ташкент: ФАН, 1982. 148 с.
30. Рафиков А.А. Географик прогнозлаштириши асослари. Ташкент: ЎзМУ. 2003. 268 б.
31. Рафиков В.А. Новая пустыня Аралкум// Проблемы освоения пустынь. Алхабад. 2003. №4. с. 7-21.
32. Рафиков В.А. Араб: крик срели пустыни// Республика илмий-амалий анжумани материалари/ «География тарихи: хотира ва кадриятиар». Наманган: 2005. 25-26 б.
33. Рафиков В.А. Орол деңгизнинг куриган кисми: муаммо, ёчишлар ва таклифлар//Хозигри замон географияси: назария ва ямалий/ УзМУ. Кашкар олимий-амалий конференция материалы. Ташкент: 2006. 85-89 б.

34. Рафиков В.А. Прогноз изменений природных комплексов опустынивающей части дельты Амуудары, обсождного дна Аральского моря его состоянию до 2015 года. Заключительный отчет. Отдела географии АН РУз. Ташкент: 2007. с.175.
35. Рафиков В.А. Картографирование и о карте «Опустынивание аридной зоны Узбекистана»// Проблемы освоения пустынь. Алхабад. 2007. №4. с.21-25.
36. Рафиков В.А. Прогноз изменений геосистем обсождшей части дна Аральского моря до 2015 года// «Проблемы обеспечения водными ресурсами сельских населенных пунктов в маловодные годы и мероприятия по их решению»// Республикаанская научно-практическая конференция. Тезисы докладов Института ГИДРОИНГЕО. Ташкент: 2008. с.39-45.
37. Рафиков В.А. Прогноз изменений гидрологических и гидрохимических условий Аральского моря до 2015 г // Материалы Международной научной конференции ин-та Сейсмологии АН РУз. Ташкент: 2008. с.248-251.
38. Рафиков В.А. Значение научного предвидения будущего состояния природной среды и экологической ситуации// Известия ГО Узбекистана. Ташкент. 2009. №32. с.23-24.
39. Рафиков В.А. Прогноз изменений геосистем обсождшей части дна Аральского моря. Самарканда: 2009. с.41-45.
40. Рафиков В.А. Оценка состояния Аральского моря в интересах экологической безопасности// Международная научно-практическая конференция по проблемам снижения природных опасностей и рисков (Геориск-2009). Тезисы докладов. М.: РАН, 2009. с.205-209.
41. Рафиков В.А. Принцип и методика составления карты «Опустынивания аридной зоны Узбекистана»// «Ўзбекистон Миллий атласини яратишнинг илмий-услубий асослари». Международная научно-практическая конференция. Тезисы докладов НУУз. Ташкент: 2009. с.74-78.
42. Рубанов В.И. и др. Процессы соленакопления в акватории Аральского моря// Проблемы освоения пустынь. Алшабад. 1998. №3. с.31-37.
43. Рубинова Ф.Э. Влияние водных мелиораций на стоки гидрохимический режим бассейна Аральского моря. Тр.САННи. Ташкент: 1987, вып.124 (205). с.155-160.
44. Рубинова Ф.Э. и др. Водно-солевой баланс Аральского моря. В кн.: Тез. докладов участников 1-ой региональной конференции по миграции на территории Среднеазиатского региона. Ташкент: 1988. с.63-64.
45. Хомерики И.В., Гершкович М.И. Статистическое моделирование уровня замкнутых водоемов. В кн.: Гидроэнергетическое строительство в горных условиях. М.: Энергия. 1976, вып.4 (59). с.58-623.
46. Хомерики И.В. Моделирование водного баланса Аральского моря// Метеорология и гидрология. М.: 1978. №9. с.70-80.
47. Чембарисов Э.И., Насрулин А.Б., Жожумуратова Р.Т. Гидроэкологический мониторинг грунтовых и поверхностных вод Южного Приаралья с использованием ГИС-технологий// Современное состояние подземных вод: проблемы и решения// Материалы Международного научно-практической конференции. Ташкент: ГИДРОИНГЕО, 2008. с.38-39.
48. Черненко И.М. Приток подземных вод в Аральском море и его значение в решении проблемы Арала// Проблемы освоения пустынь. Алхабад. 1970. №4. с.28-38.
49. Чуб В.Е., Иванов Ю.Н. Современное состояние гидрометеорологической сети Центральной Азии// Проблемы бассейна Аральского моря (исследования, проекты, предложения). Тр. Междунарол. техн. встречи по проблемам бассейна Аральского моря. Ташкент: САНИГМИ, 1998. с.26-30.
50. Чуб В.Е., Осокина Т.А. Изменение климата и поверхностные водные ресурсы бассейна Аральского моря // Информация об исполнении Узбекистаном своих обязательств по Рамочной Конвенции ООН об изменении климата. Ташкент: САНИГМИ, Бюллетень № 3. 1999. с.5-14.
51. Шульц В.Л., Шалатова Л.И. Водный баланс Аральского моря. Труды ТашГУ. Сер. географ. науки. Ташкент: ТашГУ, 1964, вып.269. с.33-58.
52. Шульц В.Л. Водный баланс Аральского моря. Тр. САНИГМИ. Ташкент: САНИГМИ, 1975, вып.23. с.3-28.
53. Якубов М.А. Об ущербе продуктивности орошаемых земель от ухудшения качества воды в бассейнах рек Амуудары и Сырдарьи. Тр. Ити-да водных проблем АН РУз, 1995. с.152-156.
54. Якубов М.А., и др. Эколого-гидромелиоративные проблемы бассейна Аральского моря и пути их решения// Экологический вестник Узбекистана. 1995. №2/3. с.46-51.
55. Якубов, М.А., Курбанбаев Р.Е. Установление необходимого объема воды для поддержания экологического равновесия в дельте реки Амуудары// Центрально-Азиатская международная конференция. Алматы: Ылим, 2003. с.343-345.

СОДЕРЖАНИЕ

Введение		
1.	Прогнозирование изменений аридных геосистем в условиях продолжжающейся экологической дестабилизации в Приаралье	3
1.1.	Научное и практическое значение прогноза изменения геосистем Приаралья и гидрологического состояния Аральского моря	5
1.2.	Приаралье и Аральское море как классический регион по прогнозированию трансформации геосистем	7
1.3.	Научные принципы и методы прогнозирования изменения аридных геосистем Приаралья до 2020 г.	10
1.4.	Природные факторы прогнозирования изменения геосистем Приаралья	15
1.4.1.	Дренирующее влияние моря	16
1.4.2.	Устойчивое снижение уровня грунтовых вод и повышение степени их минерализации	17
1.4.3.	Развитие дефляционных и галогеохимических процессов	19
1.4.4.	Эрозионно-суффозионное явление	20
1.4.5.	Динамика почвообразовательных процессов и засоления почв	21
1.4.6.	Сукцессия растительных сообществ	22
1.5.	Антropогенные факторы прогнозирования изменения геосистем	23
1.5.1.	Техногенное расщепление или технозория	24
1.5.2.	Обводнение экосистем	26
1.5.3.	Подтопление и затопление	26
1.5.4.	Выпас и первылпас скота	27
1.5.5.	Рубка древесно-кустарниковых сообществ	28
1.5.6.	Сельскохозяйственное освоение земель	28
2.	Прогноз изменений геосистем опустынивающейся части дельты Амуударьи до 2020 г.	29
2.1.	История исследований прогнозирования и прогноза изменения Приаралья	29
2.2.	Ландшафтная основа прогноза	32
2.3.	Учет тенденции развития опустынивания в прогнозировании и прогноза изменения геосистем дельты Амуударьи	26
2.4.	Прогноз изменения геосистем опустынивающейся части дельты Амуударьи	29
3.	Прогноз изменений геосистем обсохшей части дна Аральского моря в пределах Узбекистана	55
3.1.	О приемах прогнозирования изменения геосистем осушки моря	55
3.2.	Методы прогнозирования изменения природных комплексов осушки моря	56
3.3.	Факторы прогнозирования изменения геосистем осушки дна Аральского моря	58
3.4.	Прогноз изменения геосистем обсохшей части дна Арала до 2020 г.	60
4.	Прогноз изменений гидрологических и гидрохимических условий Аральского моря до 2020 г.	70
4.1.	Гидрологические и гидрохимические условия Аральского моря до снижения его уровня	71
4.2.	Тенденция изменения гидрологических и гидрохимических условий Аральского моря с 1961 г. и их современное состояние	79
4.3.	Прогноз изменений гидрологических и гидрохимических условий Аральского моря до 2020 г.	96
5.	Заключение	103
	Литература	106

— 395 —



Доктор географических наук, профессор
В.А. Рафиков

**СОСТОЯНИЕ
АРАЛЬСКОГО МОРЯ И ПРИАРАЛЬЯ
ДО 2020 ГОДА**

Формат 60x84 1/16. Гарнитура «Times New Roman».
Печать, ризо. Усл. печ.л.7. Изд. печ.л.7. Тираж 100. Заказ № 1726619

Отпечатано в типографии ООО «Munis design group»
Ташкент, ул. И.Муминова-13.